

# 小型ベローズ内圧座屈試験( I )成果報告書

1986年12月

動力炉・核燃料開発事業団  
大洗工学センター

複製又はこの資料の入手については、下記にお問い合わせください。

〒311-13 茨城県東茨城郡大洗町成田町4002

動力炉・核燃料開発事業団

大洗工学センター システム開発推進部・技術管理室

Enquires about copyright and reproduction should be addressed to: Technology Management Section O-arai Engineering Center, Power Reactor and Nuclear Fuel Development Corporation 4002 Narita-cho, O-arai-machi, Higashi-Ibaraki, Ibaraki-ken, 311-13, Japan

動力炉・核燃料開発事業団 (Power Reactor and Nuclear Fuel Development Corporation)

## 小型ベローズ内圧座屈試験(Ⅰ)成果報告書

月森和之\*，岩田耕司\*，今津彰\*  
大岡裕二\*\*，公江茂樹\*\*，島川貴司\*\*

### 要 旨

FBR大型炉のコスト低減方策のひとつとして、主冷却系配管に配管用ベローズ継手を適用することが考えられている。現在、FBR配管用ベローズ継手の成立性の検討が事業団を中心として進められているが、その中の検討課題のひとつにベローズの内圧座屈強度がある。事業団では、大洗工学センターにおいて実寸大( $42^B$ )ベローズの座屈試験を行っている他、座屈解析手法及び評価手法の確立を目指して座屈挙動に及ぼす山数や形状の影響を小型ベローズを用いてパラメトリックに試験を実施中である。

本報告書は、昭和59年度及び60年度に一連の小型ベローズ( $20^B$ ,  $12^B$ )を用いて実施した内圧座屈挙動試験結果をとりまとめたものである。得られた成果の概要は以下の通りである。

- (1) 試験結果は、板厚及び山数と座屈圧力の関係において、スクワームを表わすEJMA standardの式及びルートバルジを表わすRI社の式による評価と定性的によい対応を示した。このことから、基本的には既存の評価式をベースにベローズ内圧座屈の評価手法を策定できる見通しが得られた。
- (2) ベローズの座屈圧力に及ぼす初期曲げ変形の影響は、スクワーム座屈の場合には現われ、座屈圧は低下するが、ルートバルジタイプの座屈ではほとんど認められなかった。従って、スクワーム座屈の場合、ベローズの変形を考慮した評価が必要となる。

---

\* 動力炉、核燃料開発事業団大洗工学センター構造工学室

\*\* 川崎重工業株

## Sub-scale Bellows Internal Pressure Buckling Test (I) Report

Kazuyuki Tsukimori\*, Koji Iwata\*,  
Akira Imazu\*, Yuji Ohoka\*\*,  
Shigeki Kohe\*\* and Takashi Shimakawa\*\*

### Abstract

There is an idea of the application of piping expansion joints to main piping systems of Large-scale FBRs as one of the cost reduction measures. The FBR piping expansion joints feasibility study is going in PNC, and the pressure buckling test of bellows is one of the important items of the study. In PNC the internal pressure buckling test is going on with full-scale bellows test specimens (42B) at Oarai Engineering Center, and on the other hand with sub-scale bellows (20B, 12B) in other place in order to establish the analytical method and rules for the internal pressure buckling of bellows.

In this report the result of the series of the sub-scale bellows internal buckling tests is described, which was carried out during 1984FY and 1985FY. The following is the main result.

- (1) In the relation among the thickness, the number of convolutions and the buckling pressure, the test data characteristic was similar to the estimated limit — EJMA standard for the squirm and the equations by RI Ltd. for the root bulge. This result made it certain that the pressure limit for bellows buckling could be constructed on the basis of existing evaluation methods.
- (2) Initial bending angle of bellows badly effected on the limit of bellows buckling pressure only in the case of the squirm. The pressure limit for the bellows buckling must be estimated taking the bellows displacements into consideration.

---

\* Structural Engineering Section, Oarai Engineering Center,  
PNC.

\*\* Kawasaki Heavy Industries, Ltd.

## 目 次

1. 緒 言 .....	1
2. 試験の概要 .....	2
2.1 試験体及び試験パラメータ .....	2
2.2 試験実施項目 .....	2
3. 試験方法 .....	3
3.1 座屈試験 .....	3
3.2 形状測定 .....	4
3.3 バネ定数測定試験 .....	4
3.4 ベローズ材引張試験 .....	5
4. 試験結果 .....	7
4.1 座屈試験結果 .....	7
4.2 形状測定結果 .....	9
4.3 バネ定数測定試験結果 .....	9
4.4 ベローズ材引張試験結果 .....	14
5. 検討・考察 .....	15
5.1 座屈試験データと簡易評価法との比較 .....	15
5.2 形状測定 .....	20
5.3 バネ定数測定試験 .....	20
5.4 ベローズ材引張試験 .....	21
6. 結 言 .....	22
参考文献 .....	23
付 錄 データシート	

## Table List

Tab. 2-1 Specification of Tested Bellows and Test Parameters .....	24
試験体及び試験パラメータ一覧	
Tab. 2-2 Test Items for each Bellows .....	25
試験実施項目一覧表	
Tab. 2-3 Test Schedule .....	26
工程表	
Tab. 3-1 Specification of Electro Hydraulic Type Pressurizing Unit .....	27
電気油圧サーボ式内圧負荷装置の主要目表	
Tab. 3-2 Specification of Three Dimensional Bellows Configuration Measuring Equipment .....	28
三次元測定機主要目	
Tab. 3-3 Applied Deformation of Bellows Spring Constants Evaluation Test .....	29
負荷変位量(目標値)	
Tab. 4-1 Results of Buckling Test .....	30
座屈試験結果	
Tab. 4-2 Axial Spring Rate .....	31
軸バネ定数	
Tab. 4-3 Bending Spring Rate .....	32
曲げバネ定数	
Tab. 4-4 Lateral Spring Rate .....	33
剪断バネ定数	
Tab. 4-5 Results of Tensile Tests .....	34
ペローズ材引張試験結果	
Tab. 4-6 Material Properties .....	35
ペローズ素材の材料特性	

Tab. 5-1 Comparison of Measured Spring Rate and Calculation .....	36
バネ定数測定結果と計算結果の比較	

## Figure List

Fig. 2-1 21 <sup>B</sup> Bellows Test Assembly .....	37
21 <sup>B</sup> ベローズ試験体(550φ)	
Fig. 2-2 12 <sup>B</sup> Bellows Test Assembly .....	38
12 <sup>B</sup> ベローズ試験体(300φ)	
Fig. 3-1 Schematic of Strain Gage and Clip Gage Locations (BB21-1-2) .....	39
ひずみゲージ貼付位置とクリップゲージ取付位置(12山ベローズ, BB21-1-2)	
Fig. 3-2 Schematic of Strain Gage and Clip Gage Locations (BB21-2-2) .....	40
ひずみゲージ貼付位置とクリップゲージ取付位置(20山ベローズ, BB21-2-2)	
Fig. 3-3 12 <sup>B</sup> Bellows Setup for Pressurized Test .....	41
12 <sup>B</sup> ベローズ試験体取付方法	
Fig. 3-4 Air Type Pressurizing Unit .....	42
内圧負荷ユニット	
Fig. 3-5 Schematic of Strain Gage and Clip Gage Locations (BB12-1-1, BB12-4-1, BB12-5-1) ...	43
ひずみゲージ貼付位置とクリップゲージ取付位置 (7山ベローズ, BB12-1-1, BB12-4-1, BB12-5-1)	
Fig. 3-6 Schematic of Strain Gage and Clip Gage Locations (BB12-1-2) .....	44
ひずみゲージ貼付位置とクリップゲージ取付位置 (7山ベローズ, BB12-1-2)	
Fig. 3-7 Schematic of Strain Gage and Clip Gage Locations (BB12-2-1) .....	45
ひずみゲージ貼付位置とクリップゲージ取付位置 (20山ベローズ, BB12-2-1)	

Fig. 3-8 Schematic of Strain Gage and Clip Gage Locations (BB12-2-2) .....	46
ひずみゲージ貼付位置とクリップゲージ取付位置 (20山ベローズ, BB12-2-2)	
Fig. 3-9 Schematic of Strain Gage and Clip Gage Locations (BB12-3-1) .....	47
ひずみゲージ貼付位置とクリップゲージ取付位置 (30山ベローズ, BB12-3-1)	
Fig. 3-10(1) Three Dimensional Configuration Measuring Equipment .....	48
三次元形状測定要領	
Fig. 3-10(2) Three Dimensional Configuration Measuring.	49
三次元形状測定状況	
Fig. 3-11 Schematic of Three Dimensional Configuration Measuring Locations .....	50
計測点の概要	
Fig. 3-12(1) Schematic of Lateral Spring Constant Test .....	51
剪断バネ定数の測定要領	
Fig. 3-12(2) Lateral Spring Constant Test .....	52
剪断バネ定数測定状況	
Fig. 3-13 Specimen of Material Tensile Test .....	53
ベローズ材引張試験試験片形状	
Fig. 4-1-1 Deformation Mode (BB21-1-1) .....	54
座屈モード(12山ベローズ, BB21-1-1)	
Fig. 4-1-2 Schematic Drawing of Deformation Mode (BB21-1-1) .....	56
座屈モード(12山ベローズ, BB21-1-1)	
Fig. 4-2-1 Deformation Mode (BB21-1-2) .....	57
座屈モード(12山ベローズ, BB21-1-2)	

Fig. 4-2-2	Schematic Drawing of Deformation Mode (BB21-1-2, BB21-2-1, BB21-2-2) .....	59
	座屈モード (BB21-1-2, BB21-2-1, BB21-2-2)	
Fig. 4-2-3	Strains vs Pressure (BB21-1-2) .....	60
	ひずみと圧力の関係 (BB21-1-2)	
Fig. 4-3	Deformation Mode (BB21-2-1) .....	61
	座屈モード (20山ペローズ, BB21-2-1)	
Fig. 4-4-1	Deformation Mode (BB21-2-2) .....	63
	座屈モード (BB21-2-2)	
Fig. 4-4-2	Strains vs Pressure (BB21-2-2) .....	64
	ひずみと圧力の関係 (BB21-2-2)	
Fig. 4-5	Deformation Mode (BB12-1-1) .....	65
	座屈モード (BB12-1-1)	
Fig. 4-6	Strains vs Pressure (BB12-1-1) .....	67
	ひずみと圧力の関係 (BB12-1-1)	
Fig. 4-7	Deformation Mode (BB12-1-2) .....	68
	座屈モード (BB12-1-2)	
Fig. 4-8	Strains vs Pressure (BB12-1-2) .....	69
	ひずみと圧力の関係 (BB12-1-2)	
Fig. 4-9	Lateral Displacement vs Pressure (BB12-1-2) ..	70
	変位と圧力の関係 (BB12-1-2)	
Fig. 4-10	Deformation Mode (BB12-2-1) .....	71
	座屈モード (BB12-2-1)	
Fig. 4-11	Strains vs Pressure (BB12-2-1) .....	72
	ひずみと圧力の関係 (BB12-2-1)	
Fig. 4-12	Deformation Mode (BB12-2-2) .....	73
	座屈モード (BB12-2-2)	
Fig. 4-13	Strains vs Pressure (BB12-2-2) .....	74
	ひずみと圧力の関係 (BB12-2-2)	

Fig. 4-14	Lateral Displacement vs Pressure (BB12-2-2)	75
	変位と圧力の関係 (BB12-2-2)	
Fig. 4-15	Deformation Mode (BB12-3-1)	76
	座屈モード (BB12-3-1)	
Fig. 4-16	Strains vs Pressure (BB12-3-1)	77
	ひずみと圧力の関係 (BB12-3-1)	
Fig. 4-17	Deformation Mode (BB12-4-1)	78
	座屈モード (BB12-4-1)	
Fig. 4-18	Strains vs Pressure (BB12-4-1)	79
	ひずみと圧力の関係 (BB12-4-1)	
Fig. 4-19	Deformation Mode (BB12-5-1)	80
	座屈モード (BB12-5-1)	
Fig. 4-20	Strains vs Pressure (BB12-5-1)	81
	ひずみと圧力の関係 (BB12-5-1)	
Fig. 4-21	BB12-1-1 Results of Three Dimensional Configuration Measuring (Before Test)	82
	BB12-1-1 形状測定結果 (試験前)	
Fig. 4-22	BB12-1-1 Results of Three Dimensional Configuration Measuring (After Test)	83
	BB12-1-1 形状測定結果 (試験後)	
Fig. 4-23	BB12-2-1 Results of Three Dimensional Configuration Measuring (Before Test)	84
(1/2~2/2)	BB12-2-1 形状測定結果 (試験前)	
Fig. 4-24	BB12-2-1 Results of Three Dimensional Configuration Measuring (After Test)	86
	BB12-2-1 形状測定結果 (試験後)	
Fig. 4-25	BB12-1-1 Results of Detailed Three Dimensional Configuration Measuring	87
	BB12-1-1 詳細形状測定結果	

Fig. 4-26 Stress-Strain Curve of the Material (with Heat Treatment) .....	88
ベローズ素材引張試験結果(熱処理あり)	
Fig. 5-1 Element Subdivision and Boundary Condition ..	89
要素分割及び境界条件	
Fig. 5-2 Pressure vs Convolution Disp. ( $21^B$ Bellows) ..	90
圧力-コンボリューション変位関係( $21^B$ ベローズ)	
Fig. 5-3 Pressure vs Spring Rate ( $21^B$ Bellows) .....	91
圧力-ばね定数関係図( $21^B$ ベローズ)	
Fig. 5-4 Pressure vs Convolution Disp. ( $12^B$ Bellows, $t=0.5\text{mm}$ ) .....	92
圧力-変位関係図( $12^B$ ベローズ, $t = 0.5\text{ mm}$ )	
Fig. 5-5 Pressure vs Bellows Spring Rate ( $12^B$ Bellows, $t=0.5\text{mm}$ ) .....	93
圧力-ばね定数関係図( $12^B$ ベローズ, $t = 0.5\text{ mm}$ )	
Fig. 5-6 Pressure vs Convolution Disp. ( $12^B$ Bellows, $t=0.8\text{mm}$ ) .....	94
圧力-変位関係図( $12^B$ ベローズ, $t = 0.8\text{ mm}$ )	
Fig. 5-7 Pressure vs Bellows Spring Rate ( $12^B$ Bellows, $t=0.8\text{mm}$ ) .....	95
圧力-ばね定数関係図( $12^B$ ベローズ, $t = 0.8\text{ mm}$ )	
Fig. 5-8 Pressure vs Convolution Disp. ( $12^B$ Bellows, $t=1.0\text{mm}$ ) .....	96
圧力-変位関係図( $12^B$ ベローズ, $t = 1.0\text{ mm}$ )	
Fig. 5-9 Pressure vs Bellows Spring Rate ( $12^B$ Bellows, $t=1.0\text{mm}$ ) .....	97
圧力-ばね定数関係図( $12^B$ ベローズ, $t = 1.0\text{ mm}$ )	
Fig. 5-10 Number of Convolutions vs Buckling Pressure ( $21^B$ Bellows $t=1.0\text{mm}$ ) .....	98
ベローズの山数と座屈圧力( $21^B$ ベローズ, $t = 1.0\text{ mm}$ )	

- Fig. 5-11 Number of Convolution vs Buckling Pressure  
( $12^B$  Bellows,  $t=0.5\text{mm}$ ) ..... 99  
ベローズの山数と座屈圧力 ( $12^B$  ベローズ,  $t = 0.5 \text{ mm}$ )
- Fig. 5-12 Number of Convolutions vs Buckling Pressure  
( $12^B$  Bellows,  $t=0.8\text{mm}$ ) ..... 100  
ベローズの山数と座屈圧力 ( $12^B$  ベローズ,  $t = 0.8 \text{ mm}$ )
- Fig. 5-13 Number of Convolutions vs Buckling Pressure  
( $12^B$  Bellows,  $t=1.0\text{mm}$ ) ..... 101  
ベローズの山数と座屈圧力 ( $12^B$  ベローズ,  $t = 1.0 \text{ mm}$ )
- Fig. 5-14 Ratio of Thickness and Pitch vs Buckling  
Pressure ..... 102  
ベローズの板厚・ピッチ比と座屈圧力

## 1. 緒 言

高速増殖炉・大型炉においては、建設費の低減を図るべく、種々のプラント概念の検討や機器開発が進められている。

このうち、配管用ベローズ継手は、従来の配管引き廻しにて吸収していた熱膨張変位をベローズにて行ない、単純でコンパクトな機器・配管の配置を可能にするとともに、格納容器の縮小を達成し建設費の低減に寄与しうる機器として取り上げられ、開発が進められている。主要な開発課題の1つに高速炉に適した信頼性の高いベローズの構造設計手法の確立が上げられており、色々な試験・研究が開始されている。本試験は、これらの研究のうち、ベローズの内圧座屈挙動に関するものである。

ベローズの内圧座屈は、局部塑性不安定による座屈（ルートバルジ）とオイラーの式で表わしうる柱モードの座屈（スクワーム）が存在するとされ、それぞれについて評価式も提案されているが<sup>(1)(2)</sup>、山数の影響や形状制限等に関し不明な点も多い。また、これらの評価式に対応した試験例も少なく<sup>(2)(3)</sup>、基礎的な試験データの蓄積が必要である。

本報告書はベローズの座屈解析手法や評価手法の確立に資する基礎的なデータの集収を目的として行った合計11体の内圧座屈試験結果をまとめたものである。

## 2. 試験の概要

### 2.1 試験体及び試験パラメータ

試験は Fig.2-1 に示す公称口径  $21^B$  ( $550\text{mm}$ ) の試験体 4 体と Fig.2-2 に示す公称口径  $12^B$  ( $300\text{mm}$ ) の試験体 7 体の合計 11 体について内圧座屈試験を実施した。

試験パラメータは試験体の形状・寸法と初期不整としての曲げ変位の有無であり、その一覧を試験体番号とともに Table 2-1 に示す。 $21^B$  ベローズの試験は  $12^B$  ベローズとの比較による寸法効果の検討とともに、試験の再現性の検討を目的とするものである。

$12^B$  ベローズ試験体は Table 2-1 に示す様に山数 3 レベル、板厚 3 レベルの組合せと初期曲げ変位の有無をパラメータとし、座屈挙動の山数依存性、板厚依存性及び初期曲げ変位の影響の把握を目的としている。

初期曲げ変位角は、ベローズの子午線方向応力が降伏応力に達する変位角とし、ベローズ材の引張試験によって得られた降伏応力と E J M A の応力計算式より定めた。

### 2.2 試験実施項目

上記、試験パラメータによるベローズ内圧座屈試験に加えて、試験体の具体的な特性の把握を目的として、形状測定、バネ定数の測定及びベローズ相当材の引張り試験を実施した。

これらの試験と試験体との対応を Table 2-2 に示す。

なお、試験の実施工程表を Table 2-3 に示す。

### 3. 試験方法

#### 3.1 座屈試験

##### (1) 21B ベローズ試験\*

###### ① 内圧負荷方法

Fig.2-1に示す試験体に電気油圧サーボ式内圧負荷ユニットにより内圧(油圧)を負荷した。内圧負荷ユニットの主要目をTable 3-1に示す。

###### ② 昇圧方法と計測要領

別途定める座屈予想圧力の80%まで $0.5 \text{ kg/cm}^2/\text{g}$  ひずみにて昇圧し、各ステップごとに計測を行った。

その後、 $0.2\sim0.3 \text{ kg/cm}^2/\text{g}$ (目標)の昇圧により、約5分の保持時間を取りつつ計測を行った。

圧力保持時間の間にひずみ又は変形が進行する段階からは適宜計測を繰返し、試験体の変形状況に応じ緊急圧力開放を行った。

###### ③ 計測項目

(i) ひずみ 48点～99点(2軸ゲージ)

(ii) 山間変位 BB21-1-2 44点

BB21-2-2 40点

詳細はFig.3-1及びFig.3-2に示す。

(iii) 圧力

(iv) ビデオ記録

##### (2) 12B ベローズ試験\*\*

###### ① 内圧負荷方法

試験体をFig.3-3に示す様にベローズ疲労試験装置に固定支持し、Fig.3-4に示す新設の内圧負荷ユニットより空気圧にて手動で内圧を負荷した。Fig.3-3(a)は初期曲げ変位なしの場合であり、Fig.3-3(b)は初期曲げ変位有りの場合を示す。

###### ② 昇圧方法と計測要領

昇圧方法とその間の計測要領は3.1(1), ②に示す21Bベローズ試験体と同一とした。

###### ③ 計測項目

(i) ひずみ 48点

(ii) 山間変位 BB12-1, BB12-4-1, BB12-5-1 24点

\* 川崎重工業株川崎工場において実施

\*\* 川崎重工業株明石技術研究所において実施。

BB12-2-1	37点
BB12-3-1	32点

各試験体の計測位置の詳細を Fig.3-5 から Fig.3-9 に示す。

- (iii) 圧 力
- (iv) ビデオ記録

### 3.2 形状測定

#### (1) 測定方法

測定はモータ駆動形三次元測定機（MITUTOYO製、マイクロコードA511形）を用い、Fig.3-10に示す様に測定テーブル上に設置した試験体上の1点を基準点とし試験体各部の3次元座標の測定値より、試験体の形状を測定した。装置の主要部を Fig.3-2 に示す。

#### (2) 対象試験体

座屈モードの異なる7山と20山の試験体BB12-1-1及びBB12-2-1の2体について試験前及び試験後の合計4回の計測を行った。

#### (3) 測定点

測定点は Fig.3-11 に示す様に周上 45° 每の 8 ライン（A から H）の測定線上の各山谷頂点及びディスク部とし、山谷の頂点では頂点を狙う目的で 3 点の計測を行った。

また、変形後同一計測点のデータを得る様に、Fig.3-11 中に示す代表点はマーキングを行い、座屈試験後の測定を一致させた。<sup>注</sup>

BB12-1-1 及び BB12-2-1 それぞれの測定点数は次の通りである。

\* 試験体 BB12-1-1 : 472 点

$$\{ (7\text{山} + 8\text{谷}) \times 3\text{ヶ所} + 14\text{ディスク} \times 1\text{ヶ所} \} \times 8\text{ライン} = 472$$

\* 試験体 BB12-2-1 : 1304 点

$$\{ (20\text{山} + 21\text{谷}) \times 3\text{ヶ所} + 40\text{ディスク} \times 1\text{ヶ所} \} \times 8\text{ライン} = 1304$$

### 3.3 バネ定数測定試験

#### (1) 軸バネ定数測定

- ① Fig.3-3(a)に示す様にベローズ試験装置に試験体を組込み、軸負荷用アクチュエータにより、変位を負荷した。
- ② 負荷変位量は Table 3-3 に示す。
- ③ 測定は試験装置に組込まれたロードセルと変位計により行う。データは X-Y プロットに

<sup>注</sup> 7 山試験体である BB12-1-1 のライン A については 3 次元測定機の形状表現の有効性を確認するために、定点測定ではなく可能なかぎり細かいピッチでのランダム測定を行った。

より荷重-変位曲線として出力させた。

(2) 曲げバネ定数測定

- ① Fig.3-3(b)に示す様にベローズ試験装置に試験体を上部固定として組込み、下部は試験装置付属曲げヒンジに固定する。曲げ負荷は曲げ変位用アクチュエータにより負荷した。
- ② 負荷変位量は Table 3-3 に示す。
- ③ 測定は試験装置に組込まれたロードセルと変位計により行った。データは X-Y プロッターにより荷重-変位曲線として出力させた。

なお 20 山及び 30 山のベローズは Fig.3-3 に示す曲げヒンジの回転中心にずれがあり、バネ定数の読み取りには荷重・変位関係の補正が必要である。ずれ量や補正方法の詳細は第 4 章 試験結果の項に示す。

(3) 剪断バネ定数測定

- ① Fig.3-12 に示す様に定盤上に V ブロックと M 20 × 4 本の固定ボルトを介して試験体を拘束し、試験体の中間をワイヤーにて天井ホイストクレーンを用いて索引し、剪断変形を加えた。
- ② 負荷変位量は Table.3-3 に示す。
- ③ 測定は索引ワイヤー中に組込んだロードセルと試験体に直接取付けたダイヤルゲージ (1 / 1000) により行った。

データはロードセル出力とダイヤルゲージの読み取り値を記録した。なお、曲げの影響が含まれる本試験データから剪断バネ定数の読み取り方法の詳細は第 4 章の試験結果の項に示す。

### 3.4 ベローズ材引張試験

(1) 試験方法

「JIS G 0567 鉄鋼材料及び耐熱合金の高温引張試験」

(2) 試験温度

室温

(3) 試験片形状

Fig.3-13 に示す。

(4) 試験パラメータ

ベローズ材の板厚の違い (4 ケース) と熱処理の有無<sup>(注)</sup>の違いによる組合せによる合計 8 ケースについて実施した。

21B ベローズ試験体用       $t = 1.0 \text{ mm}$

(注) 热処理無しとは冷間圧延ロール材そのままの試験片である。热処理材とはベローズ試験体と同時に溶体化熱処理を行った試験片であり、ベローズ加工の影響は加えられていない。

12B ベローズ試験体用  $\left\{ \begin{array}{l} t = 1.0 \text{ mm} \\ t = 0.8 \text{ mm} \\ t = 0.5 \text{ mm} \end{array} \right.$

## 4. 試験結果

### 4.1 座屈試験結果

座屈試験結果を Table. 4-1 に示す。また、各試験での特性を以下に述べる。

#### (1) 21B, 12山試験体

BB21-1-1 は、 $10.2 \text{ kg/cm}^2\text{g}$  で座屈し、座屈モードは Fig. 4-1-1 の通りである。座屈モードは径方向変位を周方向に見ると、およそ 2 周期のサイン型で中央谷部を境に  $90^\circ$  位相のずれた非軸対称なモードを示し、軸方向に見るとおよそ 1 周期となり、複雑なシェル型座屈を呈している。コンボリューション間隔は、張出し側で拡がっており、くぼみ側で縮まっている。この座屈モードを図式化するとおよそ Fig. 4-1-2 の様になる。

BB21-1-2 は  $11.4 \text{ kg/cm}^2\text{g}$  で座屈し、座屈モードは Fig. 4-1-1 の通りである。座屈モードは、BB21-1-1 と異なり、図式化するとおよそ Fig. 4-2-2 の様になる。代表点のひずみと圧力の関係を Fig. 4-2-3 に示す。

BB21-1-2 の座屈圧力 ( $11.4 \text{ kg/cm}^2\text{g}$ ) は、BB21-1-1 ( $10.2 \text{ kg/cm}^2\text{g}$ ) に比べ約 10 % 高めになった。

#### (2) 21B, 20山試験体

BB21-2-1 は  $7.3 \text{ kg/cm}^2\text{g}$  で座屈し、座屈モードは Fig. 4-3 の通りである。

BB21-2-2 は、 $8.4 \text{ kg/cm}^2\text{g}$  で座屈し、座屈モードは Fig. 4-4-1 の通りである。

20山ベローズの座屈モードは、オイラーのコラム型座屈を示しており、スクワームとの判定できる 12 山ベローズ同様、座屈モードを図式化すると、およそ Fig. 4-2-2 の様になる。

BB21-2-2 の代表点のひずみと圧力の関係を Fig. 4-4-2 に示す。 $8.4 \text{ kg/cm}^2\text{g}$  で 5 分間保持したデータを採取した直後に変形が急速に進行し、加圧を停止した。BB21-2-2 の座屈圧 ( $8.4 \text{ kg/cm}^2\text{g}$ ) は BB21-2-1 の座屈圧力 ( $7.3 \text{ kg/cm}^2\text{g}$ ) に比べ約 10 % 高めになり、12 山ベローズ試験体 (BB21-1-1, BB21-1-2) の関係と同一傾向になっている。座屈モードもほぼ同様であった。

#### (3) BB12-1-1

BB12-1-1 は  $8.8 \text{ kg/cm}^2\text{g}$  で座屈し、座屈モードはルートバルジタイプであった。座屈モードを Fig. 4-5 に、代表点のひずみと圧力の関係を Fig. 4-6 に示す。

試験体の初期据付時、試験体と試験機に約 2 mm の偏心があった。加圧初期は変形が増大する傾向にあったが、圧力が大きくなると影響は小さくなかった。また、座屈モードと初期取付時の変形との関連も見られなかった。

#### (4) BB12-1-2

BB12-1-2 は  $8.8 \text{ kg/cm}^2\text{g}$  で座屈し、座屈モードはルートバルジタイプであった。座屈モードを Fig. 4-7 に、代表点のひずみと圧力の関係を Fig. 4-8 に示す。BB12-1-2 は、

1.85度の初期曲げ変形を与えており、加圧によるコンボリューションの張り出しを測定した。結果をFig. 4-9に示す。

$8.0 \text{ kg}/\text{cm}^2\text{g}$  では完全な座屈モードを示し、Dライン谷④のひずみが最大であったが、 $8.4 \text{ kg}/\text{cm}^2\text{g}$  で進行しなくなり、他の場所のひずみが進むようになった。初期曲げ変形を与えてい るにもかかわらず非常に安定した変形であった。

(5) BB12-2-1

BB12-2-1は $5.4 \text{ kg}/\text{cm}^2\text{g}$ で座屈し、座屈モードはスクワームタイプであった。座屈モードをFig. 4-11に示す。

$5.4 \text{ kg}/\text{cm}^2\text{g}$ に昇圧後、データ採取中に突然大きな音を発生して座屈した。最終計測ひずみは約 $10000 \mu$ であり、非常に小さなひずみの状態から座屈に至った。

(6) BB12-2-2

BB12-2-2は $3.6 \text{ kg}/\text{cm}^2\text{g}$ で座屈し、座屈モードはスクワームタイプであった。座屈モードをFig. 4-12に、代表点のひずみと圧力の関係をFig. 4-13に示す。BB12-2-1は、5.29度の初期曲げ変形を与えており、加圧によるコンボリューションの張り出しを測定した。結果をFig. 4-14に示す。

$3.6 \text{ kg}/\text{cm}^2\text{g}$ で最大ひずみ $12500 \mu$ が発生し、2分間の加圧保持中に約 $3000 \mu$ 進行した。その後、昇圧操作に入ってすぐに座屈した。BB12-2-1とモードは同一であった。

(7) BB12-3-1

BB12-3-1は $3.0 \text{ kg}/\text{cm}^2\text{g}$ で座屈し、座屈モードはスクワームタイプであった。座屈モードをFig. 4-15に、代表点のひずみと圧力の関係をFig. 4-16に示す。

$3.0 \text{ kg}/\text{cm}^2\text{g}$ のステップで最大ひずみ $2365 \mu$ が発生し、2分間の加圧保持中に約 $600 \mu$ のひずみの進行があった。 $3.0 \text{ kg}/\text{cm}^2\text{g}$ から $3.1 \text{ kg}/\text{cm}^2\text{g}$ へ向けて昇圧途中、圧力変動が激しくなり、突然座屈した。座屈モードはBB12-2-1、BB12-2-2と同様であった。

(8) BB12-4-1

BB12-4-1は $20.2 \text{ kg}/\text{cm}^2\text{g}$ で座屈し、座屈モードはルートバルジタイプであった。座屈モードをFig. 4-17に、代表点のひずみと圧力の関係をFig. 4-18に示す。

$20.2 \text{ kg}/\text{cm}^2\text{g}$ 昇圧直後に徐々にひずみが進行し、座屈に至った。 $20.0 \text{ kg}/\text{cm}^2\text{g}$ で圧力保持中に、2分間で約 $4000 \mu$ のひずみの進行があった。

座屈モードは、BB12-1-1、BB12-1-2と同様であったが、中央のコンボリューションが移動しない上下対称形である点が異なっていた。

(9) BB12-5-1

BB12-5-1は $32.0 \text{ kg}/\text{cm}^2\text{g}$ で座屈し、座屈モードはルートバルジタイプであった。座屈モードをFig. 4-19に、代表点のひずみと圧力の関係をFig. 4-20に示す。座屈モード、座屈挙動とも、他のルートバルジタイプの座屈をした試験体と同様であった。

#### 4.2 形状測定結果

座屈試験の前後に実施した形状測定の結果をFig. 4-21からFig. 4-25に示す。測定を行なった試験体は $\phi 300$ , 7山のBB12-1-1及び $\phi 300$ , 20山のBB12-2-1の2体である。

Fig. 4-21及びFig. 4-22はBB12-2-1の試験前後, Fig. 4-23及びFig. 4-24はBB12-2-1の試験前後の形状を示している。いずれの図も表示スケールは形状と変形を同一スケールとしており, BB12-1-1はルートバルジ座屈, BB12-2-1はスクワーム座屈のモードを示したものである。

Fig. 4-25はBB12-1-1のラインAについて、詳細な形状測定を行った結果を示している。

#### 4.3 バネ定数測定試験結果

##### (1) 試験結果の一覧

バネ定数測定試験の結果の一覧をTable. 4-2からTable. 4-4に示す。

試験データである反力と変位より、バネ定数の算出においては、試験装置や試験状況に応じた補正が必要であり、それぞれ次の補正を加えている。なお、補正の考え方については、次項に示している。

- ① 曲げバネ測定における曲げ治具重量効果
- ② 曲げバネ測定における曲げ中心のずれの効果  
BB12-2-2及びBB12-3-1試験体
- ③ 剪断バネ測定における支持部変形の効果
- ④ 剪断バネ定数における曲げ変位の効果

##### (2) バネ定数測定における各種効果の補正方法

###### ① 曲げバネ測定における曲げ治具重量効果

曲げバネの測定では、曲げ治具の重量

がベローズの見かけの剛性を増している。

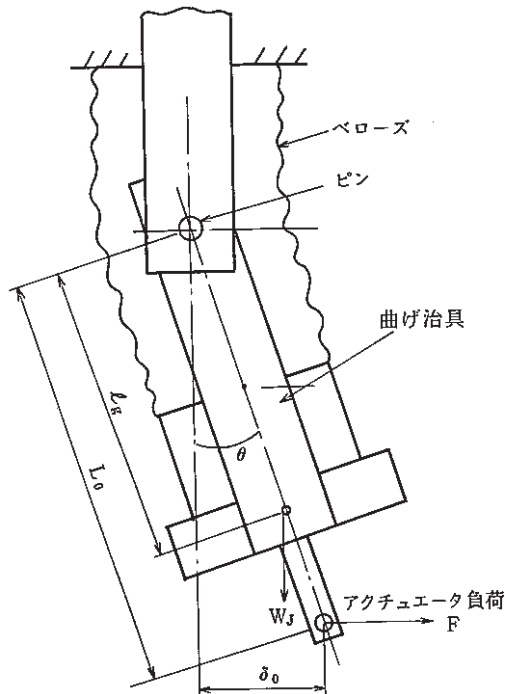
この影響を以下の式により除く。

$$\theta = \frac{\delta_0}{L_0}$$

$$K = -\frac{PL_0}{\theta} = -\frac{PL_0^2}{\delta_0}$$

$$= -\frac{FL_0 - W_J \ell_g \theta}{\theta}$$

$$= -\frac{FL_0}{\theta} - W_J \ell_g$$



P : ベローズの曲げ負荷に寄与する荷重

$L_0$  : 曲げ治具の長さ (800 mm)

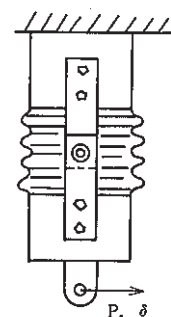
$\delta_0$  : アフチュエータ変位

$W_J$  : 曲げ治具重量 (693.6 kg)

$\ell_g$  : 曲げ治具重心位置 (572.5 mm)

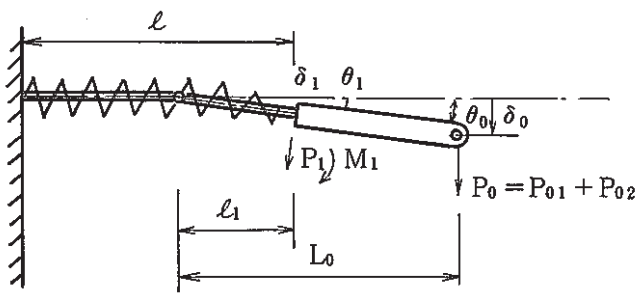
## ② 曲げバネ測定における曲げ中心のずれの効果

ベローズの曲げバネ定数は右図のように測定した。山数の多いベローズについてはヒンジの回転部分がベローズの中央に来ないので正しい曲げバネ定数が測定されるかどうか疑問である。そこで梁理論による検討を行って  $P - \delta$  関係と曲げバネ定数との関係を調べた。



次のような梁モデルを考える。

はり (WW) の端にはたらく荷重は  $P_1$  と  $M_1$  であり、これは  $P_0$  によって生じる。 $P_0$  を



$$P_{01} + P_{02} \text{ とおくと, } P_{01} = \frac{\ell_1}{L_0} P_1, \\ (\text{軸})(\text{曲げ})$$

$$P_{02} = \frac{M_1}{L_0} \text{ と表せる。}$$

いま、長さ  $\ell$  の梁の端に  $P_1$ ,  $M_1$  が負荷された時の変位と傾きを求めると、

$$\frac{d^2 y}{dx^2} = -\frac{M}{EI} \quad \text{より}$$

$$\left\{ \begin{array}{l} \frac{1}{2} P_1 \ell^2 + M_1 \ell = EI \frac{\delta_1}{\ell_1} \\ \frac{1}{3} P_1 \ell^3 + \frac{1}{2} M_1 \ell^2 = EI \delta_1 \end{array} \right. \quad \text{整理して} \quad \left\{ \begin{array}{l} P_1 \ell^2 + 2M_1 \ell = 2EI \frac{\delta_1}{\ell_1} \\ 2P_1 \ell^3 + 3M_1 \ell^2 = 6EI \delta_1 \end{array} \right.$$

これより、 $P_1$  と  $M_1$  を求めると次のようになる。

$$P_1 = \frac{6EI\delta_1}{\ell^3} \left( 2 - \frac{\ell}{\ell_1} \right)$$

$$M_1 = \frac{EI\delta_1}{\ell^2} \left( \frac{4\ell}{\ell_1} - 6 \right)$$

$M_1 = P_{02} L_0$  であるから

$$P_{02} = \frac{EI \delta_1}{\ell^2 L_0} \left( \frac{4\ell}{\ell_1} - 6 \right) \quad \text{また, } P_{01} = \frac{\ell_1}{L_0} P_1 = \frac{6EI \delta_1 \ell_1}{L_0 \ell^2} \left( 2 - \frac{\ell}{\ell_1} \right)$$

$$\begin{aligned} P_0 &= P_{01} + P_{02} = \frac{EI \delta_1}{\ell^3 L_0} \left\{ (12\ell_1 - 6\ell) + \left( \frac{4\ell^2}{\ell_1} - 6\ell \right) \right\} \\ &= \frac{EI \delta_1}{\ell^3 L_0} \left\{ 12\ell_1 - 12\ell + \frac{4\ell^2}{\ell_1} \right\} \end{aligned}$$

$$\frac{\delta_1}{\ell_1} = \frac{\delta_0}{L_0} \quad \text{であるから}$$

$$P_0 = \frac{EI \ell_1 \delta_0}{L_0^2 \ell^3} \left\{ 12\ell_1 - 12\ell + \frac{4\ell^2}{\ell_1} \right\}$$

梁に純曲げがかかるのは、 $\ell_1 = \frac{\ell}{2}$  のときである。このとき

$$P_0 = \frac{EI \frac{\ell}{2} \delta_0}{L_0^2 \ell^3} \{ 6\ell - 12\ell + 8\ell \} = \frac{EI \delta_0}{2L_0^2 \ell^2} \times 2\ell = \frac{EI \delta_0}{L_0^2 \ell}$$

$$\frac{P_0}{\delta_0} = \frac{EI}{L_0^2 \ell}$$

曲げバネ定数

$$k_b = \frac{M}{\theta} = \frac{P_0 L_0}{\delta_0 / L_0} = \frac{P_0 L_0^2}{\delta_0} = \frac{EI}{\ell}$$

$\ell_1 = \frac{\ell}{2}$  のときのみかけの曲げバネ定数  $k_b'$  と  $k_b$  の比は次のようになる。

$$\begin{aligned} k_b' &= \frac{M'}{\theta'} = -\frac{P_0' L_0}{\delta_0' / L_0} = \frac{P_0'}{\delta_0'} L_0^2 = \frac{EI \ell_1 L_0^2}{L_0^2 \ell^3} \left\{ 12\ell_1 - 12\ell + \frac{4\ell^2}{\ell_1} \right\} \\ &= \frac{EI \ell_1}{\ell^3} \left( 12\ell_1 - 12\ell + \frac{4\ell^2}{\ell_1} \right) \text{ であるから} \end{aligned}$$

$$\text{比 } k_b' / k_b = \frac{EI \ell_1}{\ell^3} \left( 12\ell_1 - 12\ell + \frac{4\ell^2}{\ell_1} \right) / \left( \frac{EI}{\ell} \right)$$

$$= \frac{\ell_1}{\ell^2} \left( 12\ell_1 - 12\ell + \frac{4\ell^2}{\ell_1} \right)$$

$$= \frac{12\ell_1^2}{\ell^2} - \frac{12\ell_1}{\ell} + 4$$

## ◎ 30山のベローズに対して

$\ell = 480, \ell_1 = 56, L_0 = 800$  であるから

$$\text{比} = \frac{12 \times 56^2}{480^2} - \frac{12 \times 56}{480} + 4 = 0.163 - 1.4 + 4 = \underline{\underline{2.76}}$$

従って、本実験で測定した曲げばね定数は実際よりも 2.76 倍硬く測定されていることになる。正しい曲げばね定数は実測値を 2.76 で割ることにより得られる。

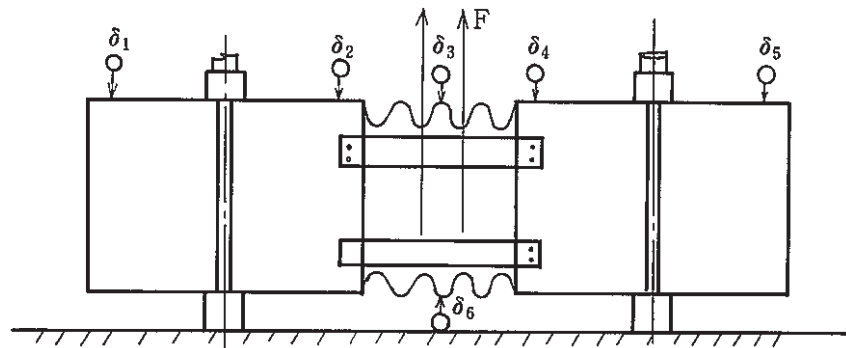
## ◎ 20山のベローズに対しては次のようになる。

$\ell = 320, \ell_1 = 56, L_0 = 800$

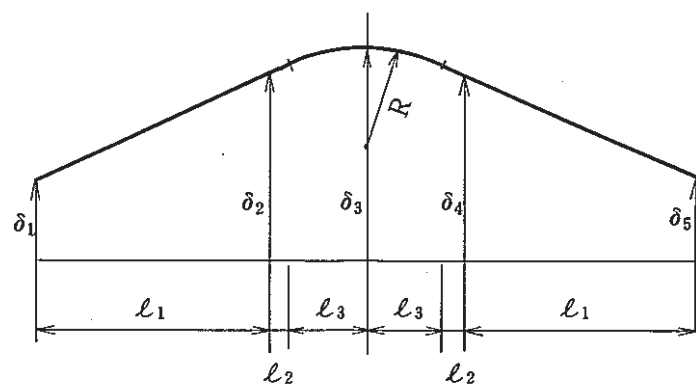
$$\text{比} = \frac{12 \times 56^2}{320^2} - \frac{12 \times 56}{320} + 4 = 0.368 - 2.1 + 4 = \underline{\underline{2.27}}$$

## ③ 剪断ばね測定における支持部変形の効果

ベローズの固定方法は下図の通りである。



固定部分の剛さが低いと下図のような変形をし、中央部の変位  $\delta_3$  にはベローズ自体の変形以外に支持部が傾くことによる変位が追加される。

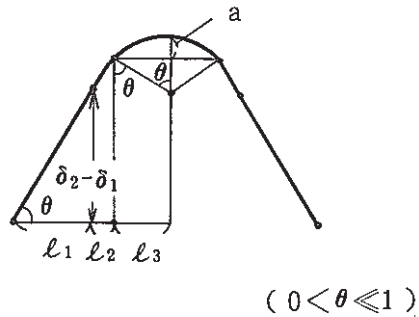


この傾きによる変位はベローズ部が曲率半径R一定であるとし、左右の傾きが対称であるとすると、次のように求められる。

$$\sin \theta = \frac{\ell_2}{R} = \frac{\delta_2 - \delta_1}{\sqrt{\ell_1^2 + (\delta_2 - \delta_1)^2}}$$

$$a = R - R \cos \theta = \frac{\ell_3 (\delta_2 - \delta_1)}{\sqrt{\ell_1^2 + (\delta_2 - \delta_1)^2} + \ell_1}$$

$$= \frac{\ell_3 (\delta_2 - \delta_1)}{2 \ell_1}$$



よって中央点の変位  $\delta_3'$  は次式で表される。

$$\delta_3' = \delta_1 + (\delta_2 - \delta_1) \times \frac{\ell_1 + \ell_2}{\ell_1} + a = \delta_1 + \left( \frac{\ell_2 + \ell_1}{\ell_1} + \frac{\ell_3}{2 \ell_1} \right) (\delta_2 - \delta_1)$$

$$= \delta_1 + \frac{2(\ell_1 + \ell_2 - \ell_3)}{2 \ell_1} (\delta_2 - \delta_1)$$

$$\delta_3' = \delta_1 + \frac{2 \times (298 + 36) + 56}{2 \times 298} (\delta_2 - \delta_1) = \delta_1 + 1.21 (\delta_2 - \delta_1)$$

#### ④ 剪断バネ定数の算出方法

ベローズの曲げ剛性 ( $EI_b$ )<sub>b</sub> は、次式であらわされる。

$$(EI)_b = \frac{1}{8} k \cdot \ell \cdot D_p^2$$

$$= \frac{1}{8} K \cdot L \cdot D_p^2$$

$k$  : 1 山当りの軸方向バネ定数

$\ell$  : ベローズのピッチ

$K$  : ベローズ全体の軸方向バネ定数

$L$  : ベローズ全長 =  $n \cdot \ell$

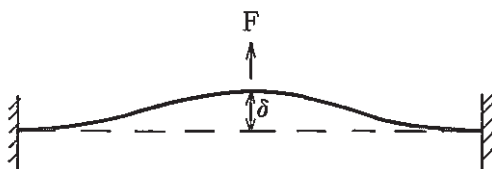
$n$  : 山 数

ベローズの曲げバネ定数 ( $K_b$ ) は次式となる。

$$K_b = \frac{(EI)_b}{L} = \frac{1}{8} \cdot K \cdot D_p^2$$

ベローズ 1 山当たりの剪断バネ定数を  $k_\tau$  とする。

下図のベローズの  $F$  と  $\delta$  の関係は次式となる。



$$\begin{aligned}\delta &= \frac{L^3}{192 \cdot (EI)_b} \cdot F + \frac{n}{2k_\tau} \cdot \frac{F}{2} \\ &= \frac{L^2}{24KD_p^2} \cdot F + \frac{n}{2k_\tau} \cdot \frac{F}{2}\end{aligned}$$

$k_\tau$  は次式で求まる。

$$k_\tau = \frac{n}{4} \cdot \left( \frac{\delta}{F} - \frac{L^2}{24KD_p^2} \right)^{-1} \text{ or } = \frac{n}{4} \cdot \left( \frac{\delta}{F} - \frac{L^2}{192K_b} \right)^{-1}$$

#### 4.4 ベローズ材引張試験結果

合計 15 体について実施したベローズ材の引張試験の結果 Table 4-5 に示す。

また、BB21-1-1 及び BB21-2-1 の熱処理後の素材について行った引張試験結果を Fig. 4-26 に、これに基づく構成関係を Table 4-6 に示す。

## 5. 検討・考察

### 5.1 座屈試験データと簡易評価法との比較

座屈試験の結果を参考文献(1)に示される弾性コラムタイプ座屈、文献(2)に示されるルートバルジの簡易式、及び文献(4)の弾塑性コラムタイプ座屈の式で評価を試みる。

但し、寸法は公称値、降伏応力  $\sigma_y$  を  $21 \text{ kg/mm}^2$ 、ヤング率 E を  $1.99 \times 10^4 \text{ kg/mm}^2$  とする。

文献(1)の弾性コラムタイプ座屈の評価式は次式で表わされる。

$$p_{cr} = \frac{\alpha \cdot \pi f_{iu}}{N^2 q} \quad \dots \dots \dots \quad (5-1)$$

$$\alpha = \begin{cases} 0.5 & : \text{両端単純支持} \\ 2.0 & : \text{両端固定} \end{cases}$$

$f_{iu}$  : 1山当りの軸方向バネ定数

N : 山 数

q : ピッチ

文献(2)のルートバルジを評価する3点ヒンジ式な次式で表わされる。

$$p_1 = \frac{4 t^2}{q^2} \sigma_y \quad (1 \text{ ピッチ } 3 \text{ 点ヒンジ}) \quad \dots \dots \dots \quad (5-2)$$

$$p_2 = \frac{16 t^2}{4H^2 + q^2} \sigma_y \quad (\text{半ピッチ } 3 \text{ 点ヒンジ}) \quad \dots \dots \dots \quad (5-3)$$

t は板厚、H は山高

弾塑性コラムタイプ座屈評価式の詳細は文献(4)に譲るが、この方法では、ベローズ半山についての軸対称大変形解析が必要となる。

解析の仕様は次の通りである。

#### 1) 形状・寸法(公称ベース) mm

・ 谷 内 径	$D_i$	:	545	300
・ 山 高	H	:	30	18
・ ピッヂ	q	:	25	16
・ 板 厚	t	:	1	0.5, 0.8, 1.0

#### 2) 材料データ

SUS316熱処理材の引張試験データ(室温)

(Table 4-6 参照)

3) 使用プログラム

FINAS

4) 使用要素

軸対称シェル要素 (CONIC 2)

5) 解析の種類

大変形弾塑性解析

6) 要素分割 (解析は半山)

30要素 (曲がり部, 平行部をそれぞれ10要素ずつ)

(Fig. 5-1 参照)

7) 境界条件

谷軸方向, 山谷回転を拘束 (Fig. 5-1 参照)

8) 負荷条件

一定圧力下で軸方向変位を負荷する。

次に解析結果を示す。

a) 21Bベローズ (BB21-1-1, -2, BB21-2-1, -2)• FEMによる  $f_{iu}$ 

$$f_{iu} = 460 \text{ kg/mm} \quad \dots \quad (5-4)$$

• 式(5-1)

$$p = 0.12566 \frac{\alpha f_{iu}(p)}{N^2} \quad (\text{kg/mm}^2) \quad \dots \quad (5-5)$$

• FEM解析結果

圧力-コンボリューション変位関係 (Fig. 5-2)

$$p_{cr} = 18.8 \text{ kg/cm}^2 \quad \dots \quad (5-6)$$

• 弹塑性座屈圧力

圧力-バネ定数関係図 (Fig. 5-3)

$$f_{iu}(p) = -37.4 \times 10^2 p (\text{kg/mm}^2) + 703.1 \quad \dots \quad (5-7)$$

式(5-5), 式(5-7)から  $f_{iu}(p)$  を消去して,

※ 弹性域では、式(5-4), 式(5-5)より

b) 12Bベローズ,  $t = 0.5$  (BB12-1-1, BB12-2-1, B12-3-1)

- EJMA スタンダードによる  $f_{iu}$

$f_{in} = 1 \ 3 \ 9.7 \text{ kg/mm}$  ..... ( 5 - 10 )

$$\left( C_f = 1.52, \frac{q}{2H} = 0.444, \frac{q}{2.2\sqrt{d_p t_p}} = 0.584 \right)$$

- 式(5-1)

- ### • FEM解析結果

### 圧力-コンボリューション変位関係 (Fig. 5-4)

$$p_{cr} = 16.0 \text{ kg/cm}^2 \quad \dots \dots \dots \quad (5-12)$$

- #### • 弹塑性座屈压力

圧力-バネ定数関係図 (Fig. 5-5)

式(5-11), 式(5-13)から  $f_{iu}(p)$  を消去して,

※ 弹性域では、式(5-10), 式(5-11)から、

c) 1 2 B ベローズ, t = 0.8 mm ( BB12-4-1 )

- E J M A スタンダードによる  $f_{iu}$

$$f_{iu} = 545.4 \text{ kg/mm} \quad \dots \quad (5-16)$$

$$(C_f = 1.6, q/2H = 0.444, \frac{q}{2.2\sqrt{d_p t_p}} = 0.462)$$

- 式(5-1)

$$p = 0.19635 \frac{\alpha f_{iu}(p)}{N^2} \quad \dots \quad (5-17)$$

- F E M 解析結果

圧力-コンポリューション変位関係 (Fig. 5-6)

$$p_{cr} = 41.2 \text{ kg/cm}^2 \quad \dots \quad (5-18)$$

- 弹塑性座屈圧力

圧力-バネ定数関係図 (Fig. 5-7)

$$f_{iu}(p) = -18.3 \times 10^2 p + 753.9 \quad \dots \quad (5-19)$$

式(5-17), 式(5-19)から  $f_{iu}(p)$  を消去して,

$$p_{cr} = \frac{1.480 \times 10^4}{N^2 / \alpha + 359.3} \text{ (kg/cm}^2\text{)} \quad \dots \quad (5-20)$$

※ 弹性域では、式(5-16), 式(5-17)から,

$$p_{cr} = \frac{107.1 \times 10^2 \alpha}{N^2} \text{ (kg/cm}^2\text{)} \quad \dots \quad (5-21)$$

d) 1 2 B ベローズ, t = 1.0 mm ( BB12-5-1 )

- E J M A スタンダードによる  $f_{iu}$

$$f_{iu} = 1056.5 \text{ (kg/mm)} \quad \dots \quad (5-22)$$

$$(C_f = 1.6, q/2H = 0.444, \frac{q}{2.2\sqrt{d_p t_p}} = 0.4138)$$

## • 式(5-1)

$$p = 0.19635 \frac{\alpha f_{iu}(p)}{N^2} \quad (5-23)$$

## • FEM解析結果

圧力-コンボリューション変位関係 (Fig. 5-8)

$$p_{cr} = 62.8 \text{ (kg/cm²)} \quad (5-24)$$

## • 弹塑性座屈圧力

圧力-バネ定数関係図 (Fig. 5-9)

$$f_{iu}(p) = -22.82 \times 10^2 p + 1433 \quad (5-25)$$

式(5-23), 式(5-25)から  $f_{iu}(p)$  を消去して,

$$p_{cr} = \frac{2.814 \times 10^4}{N^2 / \alpha + 448.1} \text{ (kg/cm²)} \quad (5-26)$$

※ 弹性域では、式(5-22), 式(5-23)から,

$$p_{cr} = \frac{207.4 \times 10^2 \alpha}{N^2} \text{ (kg/cm²)} \quad (5-27)$$

以上の式をもとに、山数と座屈圧力の関係を描き、試験結果をプロットしたものが Fig. 5-13 である。また、7 山、12 山ベローズについて、板厚・ピッチ比と座屈圧力の関係を示したものが Fig. 5-14 である。

図から、次のことが言える。

## ① 21B ベローズ (再現性試験)

Fig. 5-10

12 山、両者とも、BB21-1-1, BB21-2-1 の方がそれぞれ BB21-1-2, BB21-2-2 よりも座屈は 10% 程度低い。これについては、素材の材料特性の違い、素材の板厚の違い等が考えられる。

但し、0.2% 耐力の違いは 5% 以下。

## ② 山数と座屈圧の関係

Fig. 5-11

ベローズの場合、山数によって座屈形態が異なるが、前述のように、弾性コラムタイプ座屈 弹塑性コラムタイプ座屈、及びルートバルジの 3 つの領域に分けて評価することを試みた。試験結果と傾向が一致することが確認できた。

## ③ 初期曲げ変位の影響

Fig. 5-11

試験では、12B,  $t = 0.5 \text{ mm}$  の7山と20山ベローズについて、EJMAベローズの計算で0.2%ひずみ発生相当の曲げ変位を与えて圧力を負荷して、初期変位なしのベローズと比較した。その結果から、ルートバルジ領域では、曲げ変位の影響は現われないが、スクワーム領域では、座屈圧が低下するようである。

## ④ ルートバルジ領域における板厚と座屈圧の相関 Fig. 5-14

ルートバルジ域に含まれる7山、12山ベローズについて、座屈圧と板厚・ピッチ比の相関を調べた結果、座屈圧はほぼ板厚の2乗に比例することがわかった。1ピッチ3点ヒンジ式によく一致する。

## ⑤ その他

ルードバルジ型の座屈において、両端の山の変形はいずれの試験体でも見られず、端部の拘束により耐圧強度は中間部よりむしろ強い様である。

以上の評価は、公称寸法ベースで行った。

## 5.2 形状測定

4.2節に示した形状測定結果は、Fig. 4-21～Fig. 4-25の様に、7山試験体、20山試験体ともに、山高、ピッチ等はほぼ公称寸法通りに仕上がっているが、山自体がいずれかの方向にたおれ込む傾向が見られる。しかしながら、これらの形状と座屈モードとの相関は明確ではない。

## 5.3 バネ定数測定試験

Table 5-1にバネ定数の測定結果とEJMAの計算式を基本に算出した計算結果の比較を示す。

このTable 5-1より次の事がいえる。

- ① 軸バネ定数は0.9～1.1倍の精度でEJMAによる計算値と一致した。
- ② 曲げバネ定数は曲げ中心のずれの補正が必要ないBB12-4-1及びBB12-5-1では軸バネ定数と同様の約0.9倍の範囲で計算値と一致した。同様に曲げ中心のずれの補正の必要のないBB12-1-2で計算値の1.8倍と硬めに評価した理由は、BB12-1-2の板厚が薄くバネ定数が低いため、曲げ治具の重量や、ヒンジ部のマサツ抵抗力の相対的な影響が大きく寄与したものと考えられる。

曲げ中心のずれの補正を行ったBB12-2-2とBB12-3-1は約2倍曲げバネ定数を硬く評価しており、補正が不十分かあるいは試験自体の精度が悪くなっているためと考えられる。

- ③ 剪断バネ定数については、今後、詳細な解析等も行いながら簡易的な評価手法の確立が必要である。

#### 5.4 ベローズ材引張試験結果

ベローズ材の引張強度特性は J I S 規格値内にあり、バラツキも小さく、一般的なデータといえる。

## 6. 結 言

ベローズの内圧座屈に関する基礎的な特性の把握を目的として、合計7種類11体のベローズの内圧座屈試験を行った。

また、その性状を検討する上で参考となると考えられる座屈試験前後の形状測定、バネ定数測定及びベローズ材の引張試験も同等に実施した。

これらの試験によって得られた主要な結果は次の通りである。

- ① E J M A又はR I 社のスクワーム型、又はルートバルジ型の座屈モードに対応した座屈圧評価式及び弾塑性座屈評価式は定性的に試験結果と良い対応を示した。
- ② 上記、簡易式に含まれていないベローズの初期曲げ変形の影響は、スクワーム型のモードでは現われ座屈圧は低下するが、ルートバルジ型のモードでは有意な差は現われなかった。

## 参考文献

- (1) STANDARDS OF THE EXPANSION JOINT MANUFACTURERS ASSOCIATION, Inc.
- (2) C. Becht, "ROOT BULGE OF BELLOWES" PVP-Vol. 51, Jun. 1981
- (3) 小畠, 他: 「高速増殖炉主冷却系配管ベローズの内圧座屈試験と解析」川崎重工技報, 第91号, 1986年1月
- (4) 配管用ベローズ継手設計基準ワーキンググループ 昭和60年度成果報告書 (PNC SN9420 86-001)

Table 2-1 Specification of Tested Bellows and Test Parameters  
試験体及び試験パラメータ一覧

試験体形式	21Bベローズ		12Bベローズ							
	BB21- 1-1-2	BB21- 2-1-2	BB12- 1-1	BB12- 1-2	BB12- 2-1	BB12- 2-2	BB12- 3-1	BB12- 4-1	BB12- 5-1	
試験体番号										
谷内径 (mm)	545	545	301	301	301	301	301	300.4	300	
板厚 (mm)	1	1	0.5	0.5	0.5	0.5	0.5	0.8	1	
山高 (mm)	30	30	18	18	18	18	18	18	18	
ピッチ (mm)	25	25	16	16	16	16	16	16	16	
層数	1	1	1	1	1	1	1	1	1	
山数	12	20	7	7	20	20	30	7	7	
初期変位	-	-	-	1.85°	-	5.29°	-	-	-	
材質	SUS316									

Table 2-2 Test Items for each Bellows  
試験実施項目一覧表

試験体番号	試験体仕様	形状測定		バネ定数測定			座屈試験	引張試験
		座屈前	座屈後	軸	曲げ	剪断		
BB21-1-1 -2	500φ×1t ×12山	-	-	-	-	-	○	
BB21-2-1 -2	500φ×1t ×20山	-	-	-	-	-	○	
BB12-1-1	300φ×0.5t ×7山	○	○	-	-	-	○	
BB12-1-2	300φ×0.5t ×7山	-	-	○	○	○	○	
BB12-2-1	300φ×0.5t ×20山	○	○	-	-	-	○	
BB12-2-2	300φ×0.5t ×20山	-	-	○	○	○	○	
BB12-3-1	300φ×0.5t ×30山	-	-	○	○	○	○	
BB12-4-1	300φ×0.8t ×7山	-	-	○	○	○	○	○
BB12-5-1	300φ×1.0t ×7山	-	-	○	○	○	○	○

Table 2-3 Test Schedule

### 工 程 表

1980

Dec. 1 2 3

Jan. 1 2 3

Feb. 1 2 3

March 1 2

**Renew of Bellows Assembly**

BB12-1-2

Measurement of Convolution Configuration

BB12-1-1

Bending Spring Constant Test

BB12-1-2  
BB12-2-2  
BB12-4-1  
BB12-5-1

Lateral Spring Constant Test\*

Bonding of Strain Gauges

BB12-2-1

\* BB12-1-2  
BB12-2-2  
BB12-4-1  
BB12-5-1

Measurement of Post buckling Convoltion Configuration

BB12-1-1, BB12-2-1

Spring Constant Test for BB12-3-1

BB12-4-1  
BB12-5-1

BB12-3-1  
BB12-1-2

BB12-2-2

BB21-1-1 & BB21-2-1 were tested in FY1979.

A horizontal diagram with four items connected by arrows. 
 1. "Bonding of Strain Gauges" has a double-headed arrow pointing to "Preparation". 
 2. "Preparation" has a single-headed arrow pointing to "Buckling Test". 
 3. "Preparation" has a single-headed arrow pointing to "Other Backup Test". 
 4. "Buckling Test" has a single-headed arrow pointing to "Other Backup Test".

Table 3-1 Specification of Electro Hydraulic Type Pressurizing Unit

電気油圧サーボ式内圧負荷装置の主要目表

	主 要 目
内圧負荷の流体	タービン油
最 高 負 荷 壓 力	500kg/cm <sup>2</sup> g
内 圧 制 御 方 式	電気サーボ式
精 度	設定値の±1%以内
試 験 溫 度	室 温
雰 囲 気	大 気

Table 3-2 Specification of Three Dimensional Bellows Configuration Measuring Equipment  
三次元測定機主要目

## (1) 測定範囲

X 2500 mm

Y 1600 mm

Z 800 mm

## (2) 測長ユニット

反射形リニアエンコーダ

## (3) 精 度

## (i) 各軸の指示精度

$$\left. \begin{array}{l} X \ 50 \mu\text{m} \\ Y \ 40 \mu\text{m} \\ Z \ 24 \mu\text{m} \end{array} \right\} \begin{array}{l} \text{測定範囲全領域について} \\ (\text{万能タッチ信号プローブによる}) \end{array}$$

ただし、狭範囲精度は各軸とも 100 mm ピッチで上記値の 1/2 以下とする。

(ii) 各軸の繰返し精度（標準偏差： $\sigma$ ） $\sigma = 5 \mu\text{m}$  (万能タッチ信号プローブによる)

## (4) 形式・駆動方式

## (i) 形 式

門形、コラム独立形、定盤別置方式

## (ii) 駆動方式

各軸とも DC サーボモータによる駆動方式で、ジョイスティックで各軸の動きを制御

速度（一軸につき）

- 早送り最大速度 100 mm/sec
- 低速最大速度 20 mm/sec

## (5) 使用プローブ

万能タッチ信号プローブ

## (6) 測定テーブル（石定盤）

(i) 大 き さ 2500 mm × 1600 mm × 300 mm

(ii) 材 質 はんれい岩

(iii) 質 量 3600 kg

(iv) 測定物固定方式 M8ねじ穴 22 個

(v) レベリング方式 3点支持 (3点補助)

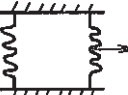
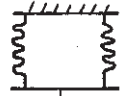
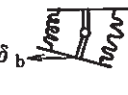
(vi) 平 面 度 AA 級 15  $\mu\text{m}$ 

## (7) 測 定 物

(i) 最大高さ 1160 mm

(ii) 最大質量 5000 kg

Table 3-3 Applied Deformation of Bellows Spring Constants Evaluation Test  
負荷変位量(目標値)

計測項目	制御値	BB12-1-1	BB12-2-1	BB12-3-1	BB12-4-1	BB12-5-1
せん断バネ定数 	変位 $\delta$ (mm)	0.035	0.282	0.634	0.021	0.017
	荷重 $P$ (kg)	127.46	44.61	29.74	316.68	482.09
軸バネ定数 	変位 $\delta$ (mm)	2.34	6.66	9.98	1.43	1.13
	荷重 $P$ (kg)	44.47	44.47	44.47	110.12	167.09
曲げバネ定数 	変位 $\delta_b$ (mm)	11.72	16.74	25.12	7.21	5.68

(注) 負荷変位量の設定は、ベローズの子午線方向応力が  $10\text{kg/mm}^2$  に達する変位とし、  
EJMA式より定めた。

Table 4-1 Results of Buckling Test

## 座屈試験結果

試験体形式	21Bベローズ				12Bベローズ						
	BB21-1 -1	BB21-1 -2	BB21-2 -1	BB21-2 -2	BB12-1 -1	BB12-1 -2	BB12-2 -1	BB12-2 -2	BB12-3 -1	BB12-4 -1	BB12-5 -1
初期変位	-	-	-	-	-	曲げ1.85度	-	曲げ5.29度	-	-	-
座屈圧力 (kg/cm <sup>2</sup> g)	10.2	11.4	7.3	8.4	8.8	8.8	5.4	3.6	3.0	20.2	32.0
座屈モード	ルートバルジ	スクワーム	スクワーム	スクワーム	ルートバルジ	ルートバルジ	スクワーム	スクワーム	スクワーム	ルートバルジ	ルートバルジ

Table 4-2 Axial Spring Rate

軸バネ定数

試験体 No.	山数 N	肉厚 t (mm)	変位範囲 荷重範囲	$k = \rho / \delta$ (kg/mm)	一山の バネ定数 (kg/mm)
BB12-1-2	7	0.5	±2 mm 118~52 kg	17.0	119
BB12-2-2	20	0.5	±5 mm 118~48 kg	7.12	142
BB12-3-1	30	0.5	±8 mm 30~32 kg	4.02	121
BB12-4-1	7	0.8	±1 mm 24~108 kg	68.0	476
BB12-5-1	7	1.0	±1 mm 162~138 kg	149.0	1043

Table 4-3 Bending Spring Rate

曲げバネ定数

試験体 No.	山 数	肉 厚 (mm)	変位範囲 荷重範囲	$P / \delta$ (kg/mm)	曲げバネ定数 (みかけの) (kg·mm/rad)	曲げ治具重量 の効果を補正 (kg·mm/rad)	曲げ中心ずれ の効果を補正 (kg·mm/rad)
BB12-1-2	7	0.5	±7.5mm 8.8~1.2kg	0.687	$4.40 \times 10^5$	$4.26 \times 10^4$	—
BB12-2-2	20	0.5	±15mm 11.2~9.8kg	0.647	$4.14 \times 10^5$	$1.70 \times 10^4$	$1.82 \times 10^5*$ $0.75 \times 10^4**$
BB12-3-1	30	0.5	±12mm 5.8~5.6kg	0.480	$3.07 \times 10^5$	$-8.99 \times 10^4$	$1.11 \times 10^5*$ $-3.26 \times 10^5**$
BB12-4-1	7	0.8	±6mm 8.4~8.8kg	1.46	$9.34 \times 10^5$	$5.37 \times 10^5$	—
BB12-5-1	7	1.0	±4.5mm 27.2~4.4kg	2.51	$1.61 \times 10^6$	$1.21 \times 10^6$	—

\* みかけのバネ定数を補正したもの。

\*\* 曲げ治具重量の効果を補正したものを補正したもの。

Table 4-4 Lateral Spring Rate  
剪断バネ定数

試験体 No.	荷重 F (kg)	最大変位 $\delta_3$ ( $\mu\text{m}$ )		バネ定数 (kg/mm)			左欄(計算)と軸バネ定数から算出した剪断バネ定数** kg/mm
		測定	修正	測定	修正*	計算	
BB12-1-2	100	42	38	2,320	2,560	3,690	$-5.62 \times 10^4$
BB12-2-2	20	150	—	132	—	158	$1.14 \times 10^4$
BB12-3-1	15	365	—	40.7	—	46.9	$-3.50 \times 10^3$
BB12-4-1	200	31	13	6,200	14,900	14,900	$-2.08 \times 10^5$
BB12-5-1	200	26	7	9,200	44,000	28,600	$3.54 \times 10^6$

\* 支持部変形の効果

\*\* 曲げ変位の効果

Table 4-5 Results of Tensile Tests

ベローズ材引張試験結果

試験 体	板厚 (mm)	試験片*	0.2%耐力 (kg/mm <sup>2</sup> )	引張強さ (kg/mm <sup>2</sup> )	伸び (%)	絞り (%)
21B ベ ロ ー ズ**	1.0	A-1	29.2	72.2	45.6	49.4
		A <sup>L</sup> -1	27.8	72.3	45.0	61.0
		A-1R	24.3	66.9	50.6	55.3
		A <sup>L</sup> -1R	24.2	66.5	50.6	54.2
12B ベ ロ ー ズ	0.5	B-1	28.5	70.3	44.5	51.9
		B-1R	22.2	61.8	48.3	43.0
		B <sup>L</sup> -1R	22.0	62.2	44.7	37.3
	0.8	B-4	27.7	67.7	43.5	68.3
	1.0	B <sup>L</sup> -4	27.5	67.9	44.1	49.4
		B-4R	22.4	61.5	48.5	53.1
		B <sup>L</sup> -4R	22.1	61.4	47.8	50.4
		B-5	29.6	71.9	46.0	53.0
		B <sup>L</sup> -5	27.8	72.0	45.6	54.4
		B-5R	23.9	66.9	50.6	50.0
		B <sup>L</sup> -5R	23.8	66.8	51.5	59.3

\* Rは熱処理をした試験片であることを示す。

'は'のないものと同一条件である。

\*\* 表中の21Bベローズの試験片は、BB21-1-2及び  
BB21-2-2の素材から採取したものである。

Table 4-6 Material Properties  
ベローズ素材の材料特性

塑性ひずみ $\epsilon_p$ (%)	加工硬化係数 $d\sigma/d\epsilon_p$ (kg/mm <sup>2</sup> )
縦弾性係数	$E = 19,900 \text{ kg/mm}^2$
ポアソン比	$\nu = 0.3$
比例限応力	$\sigma_y = 20.0 \text{ kg/mm}^2$
0.0	5751
0.0586	3421
0.108	1320
0.247	605
0.538	395
0.766	326
1.051	309
1.355	269
1.715	192
2.245	287
2.583	250
2.987	211

Table 5-1 Comparison of Measured Spring Rate and Calculation  
バネ定数測定結果と計算結果の比較

試験体		BB12-1-2	BB12-2-2	BB12-3-1	BB12-4-1	BB12-5-1
測定結果	軸バネ定数 (kg/mm)	17.0	7.12	4.02	68.0	149.0
	曲げバネ定数* (kg·mm/rad)	$4.40 \times 10^5$	$1.82 \times 10^5$	$1.11 \times 10^5$	$9.34 \times 10^5$	$1.61 \times 10^6$
	剪断バネ** (kg/mm)	3690	158	46.9	14900	28600
計算値	1山当り軸バネ (kg/mm)	133.64	133.64	133.64	538.02	1035.7
	軸バネ定数 (kg/mm)	19.10	6.68	4.45	76.86	147.96
	曲げバネ定数 (kg·mm/rad)	$2.43 \times 10^5$	$8.50 \times 10^4$	$5.66 \times 10^4$	$9.78 \times 10^5$	$1.88 \times 10^6$

\* 曲げ治具重量の効果の補正は行っていない。

\*\* 曲げバネによる変形も含んだバネ定数

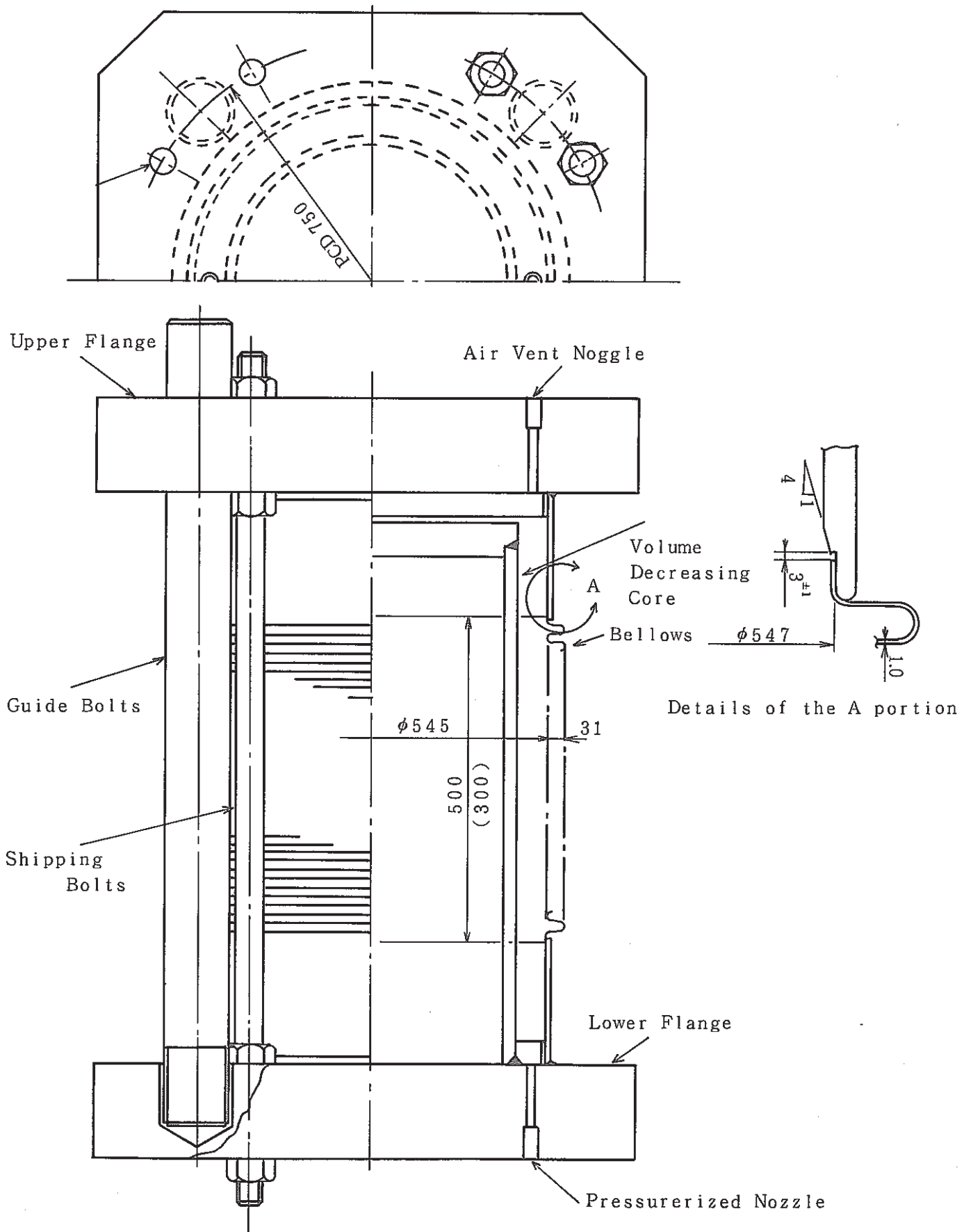
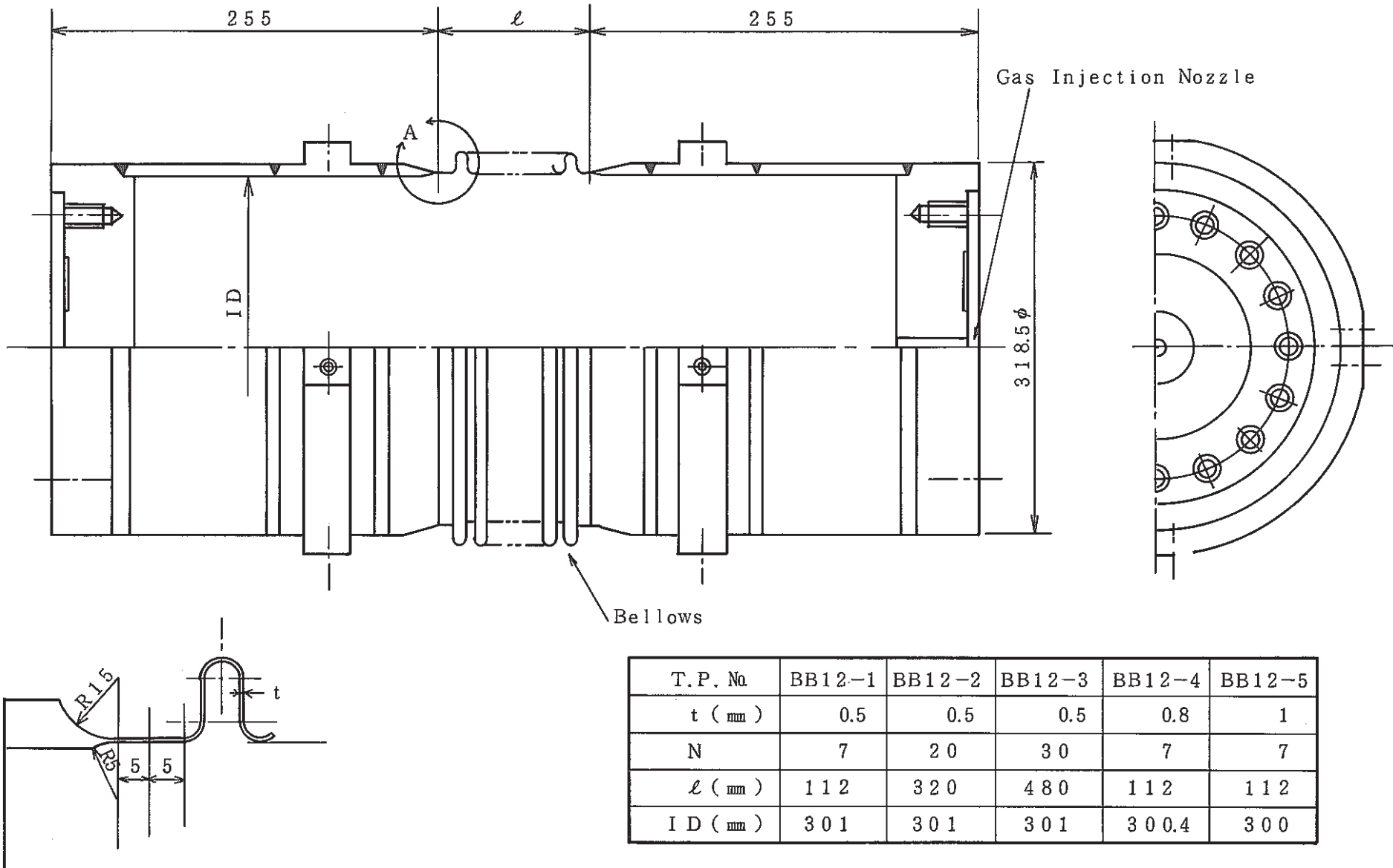


Fig. 2-1 21B Bellows Test Assembly

21B ベローズ試験体 ( $550\phi$ )

-38-



Details of the A portion

Fig. 2-2 12B Bellows Test Assembly

12B ベローズ試験体(300φ)

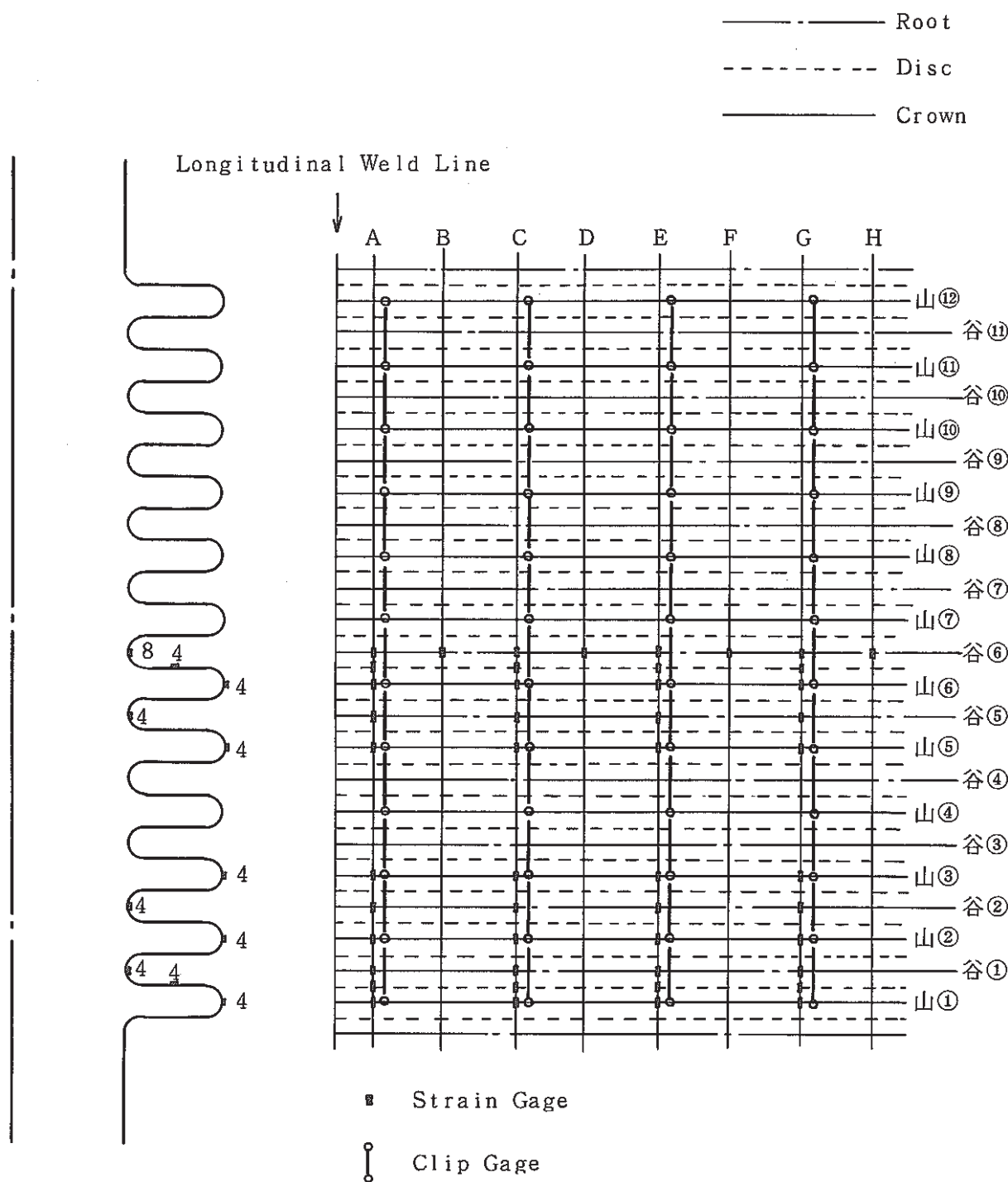


Fig. 3-1 Schematic of Strain Gage and Clip Gage Locations (BB21-1-2)

ひずみゲージ貼付位置とクリップゲージ取付位置  
( 12 山ベルローズ, BB21-1-2 試験体 )

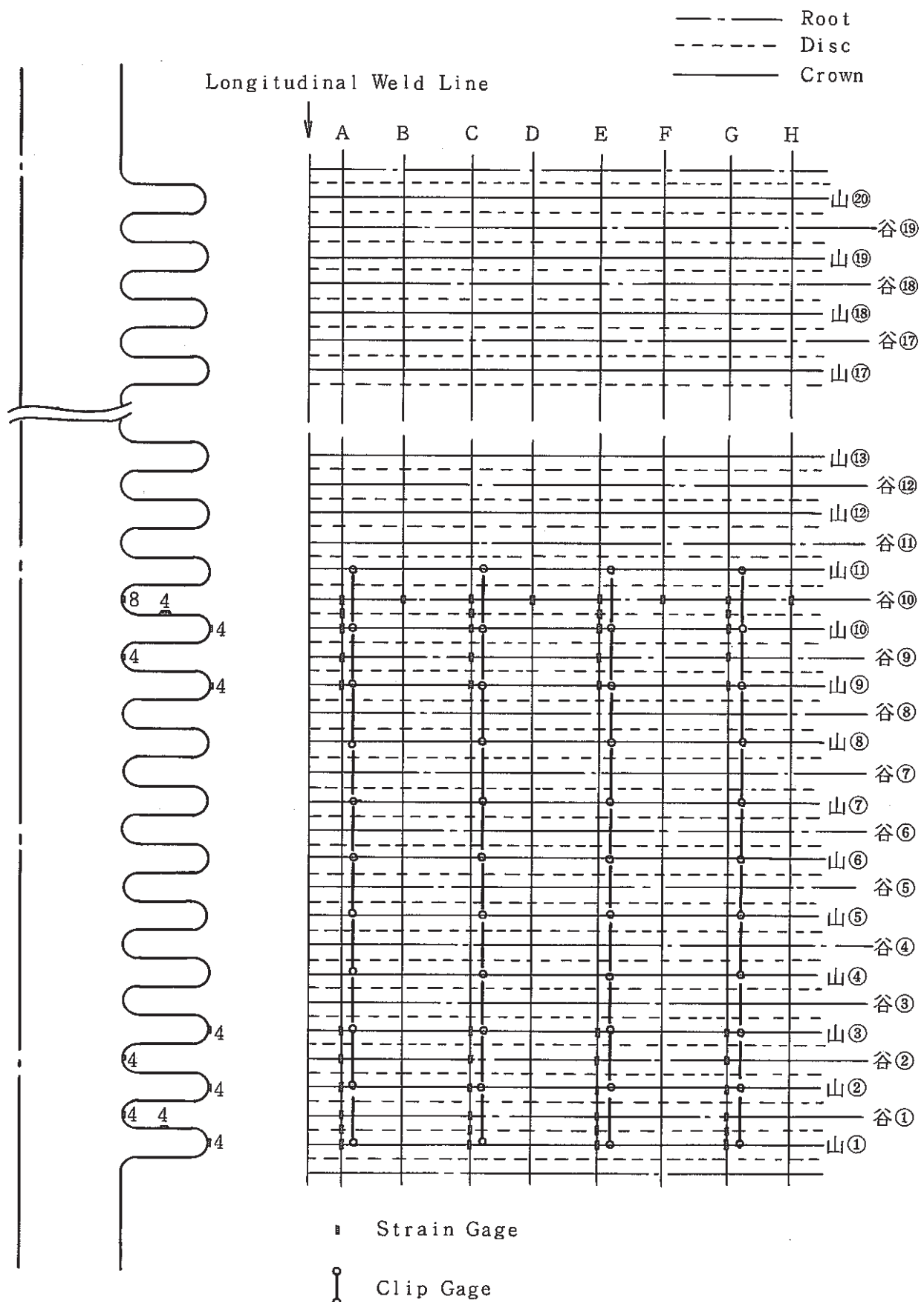
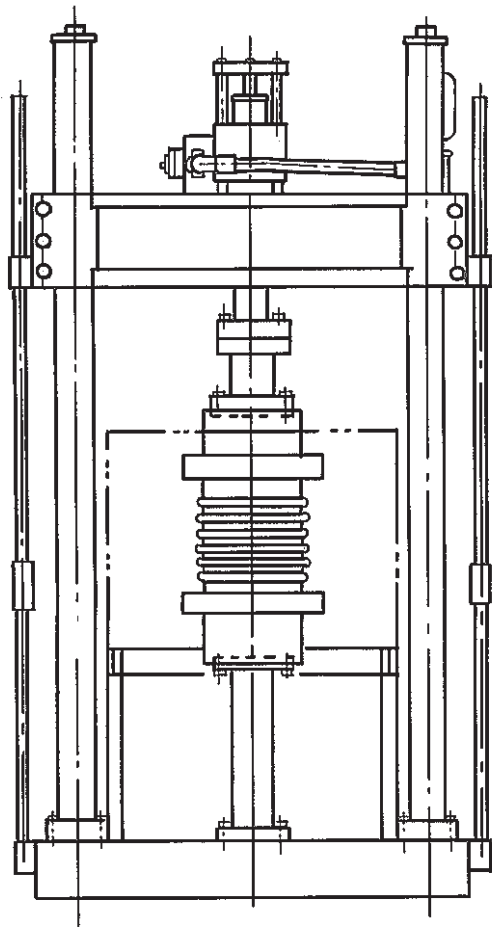


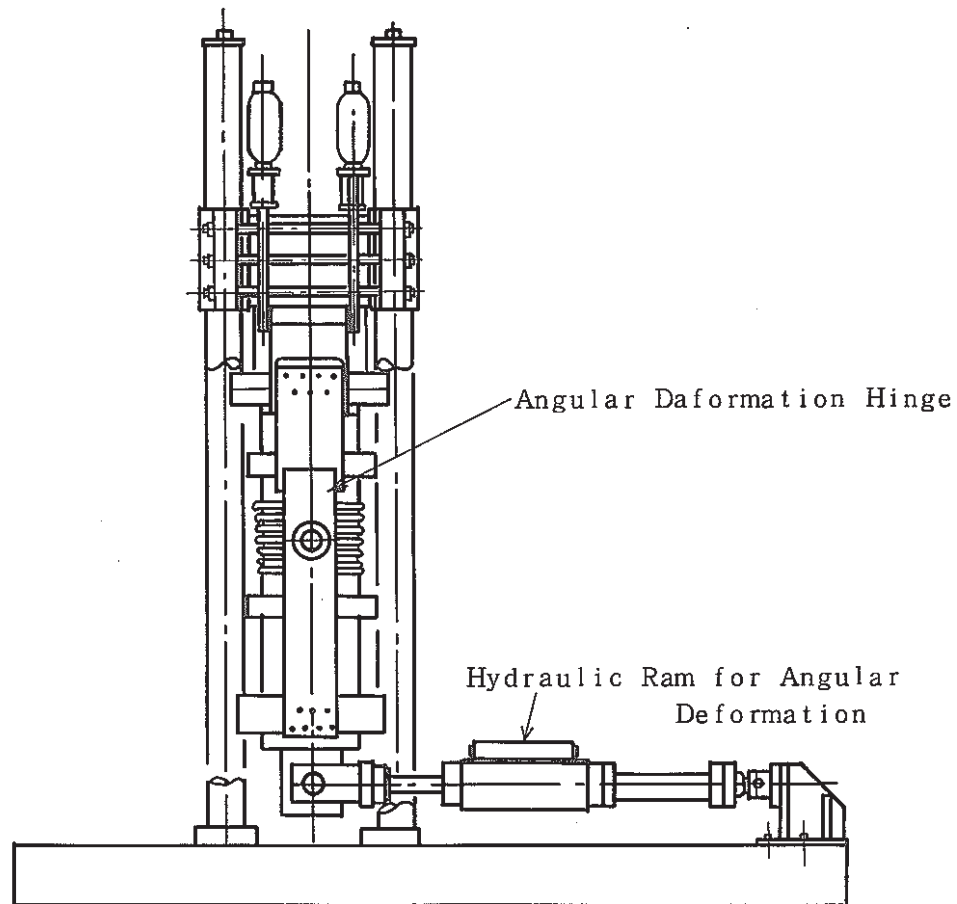
Fig.3-2 Schematic of Strain Gage and Clip Gage Locations  
(BB21-2-2)

ひずみゲージ貼付位置とクリップゲージ取付位置  
(20山ベローズ, BB21-2-2試験体)

-41-



(a) Without Initial Angular Deformation



(b) With Initial Angular Deformation

Fig. 3-3 12B Bellows Setup for Pressurized Test  
12B ベローズ試験体、取付方法

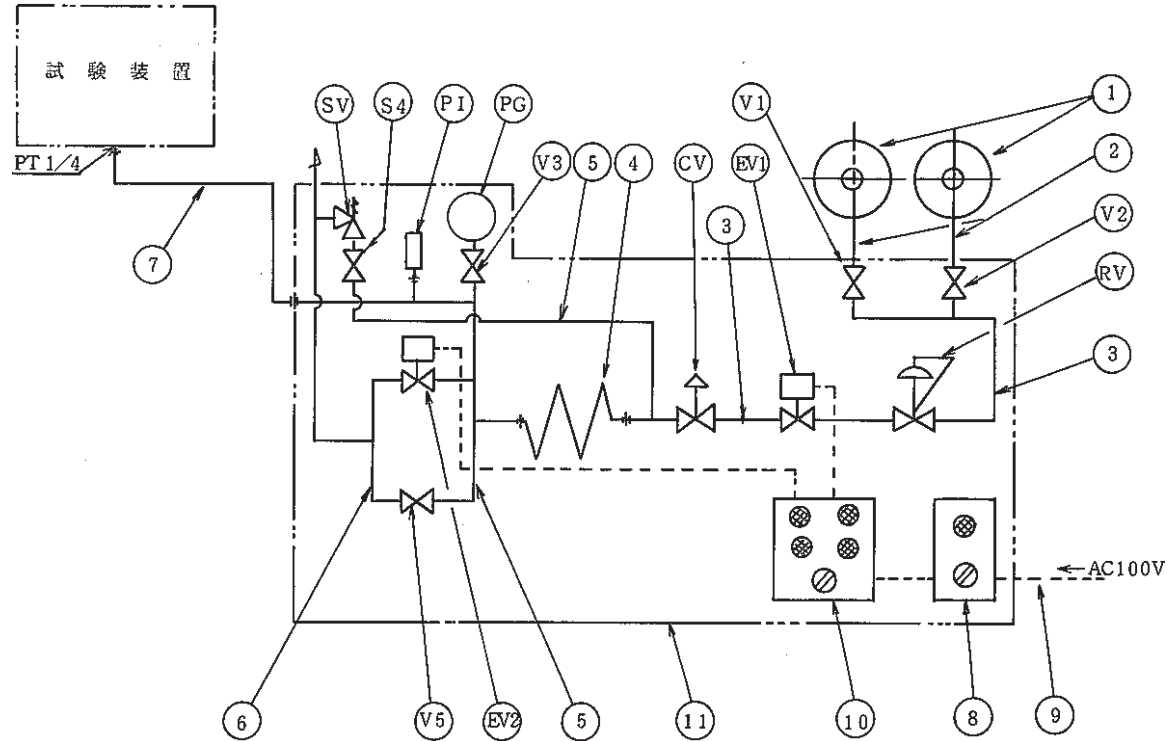


Fig.3-4 Air Type Pressurizing Unit  
内圧負荷ユニット

符号	名 称	材 質	数 量	備 考
11	架 台	SS 41		t 4×50×50L鋼
10	電磁弁制御盤		1	
9	電源コード		1	5M000ℓ
8	電 源 盤		1	
7	現 場 配 管	C1220T		φ10×t2
6	放 出 配 管	C1220T		15A(φ1588)
5	銅 管 配 管	C1220T		φ10×t2
4	銅 管 配 管	C1220T		φ5 ×t1
3	銅 管 配 管	C1220T		φ8 ×t2
2	容 器 連 絡 管	C1220T	2	φ8 ×t2
1	圧 縮 空 気 容 器		2	
SV	安全弁 (60kg/ セット)	C3604B	1	LPR-670-S 認定品(官入ハルア)
PI	圧 力 セン サ -		1	PG-100kV 100kg/ (共和電業)
PG	圧 力 計	C3604B	1	φ150×150kAU
CV	流量調整用ニードル弁	SUS304	1	UE-18P6 (フジキン)
EV2	圧力放出用電磁弁	C3602B相当	1	8262C95 (アスコ+バン)
EV1	圧力遮断用電磁弁	C3602B相当	1	8262C95 (アスコ+バン)
RV	減 壓 調 整 器	C3771B	1	MR-100 認定品(千代田)
V5	手 動 放 出 弁	C3771B	1	KV-250-C-1-S 認定品(千代田)
V4	安 全 弁 元 弁	C3771B	1	KV-250-A 認定品(千代田)
V3	圧 力 計 元 弁	"	1	"
V2	容 器 元 弁 B	"	1	"
V1	容 器 元 弁 A	C3771B	1	KV-250-A 認定品(千代田)

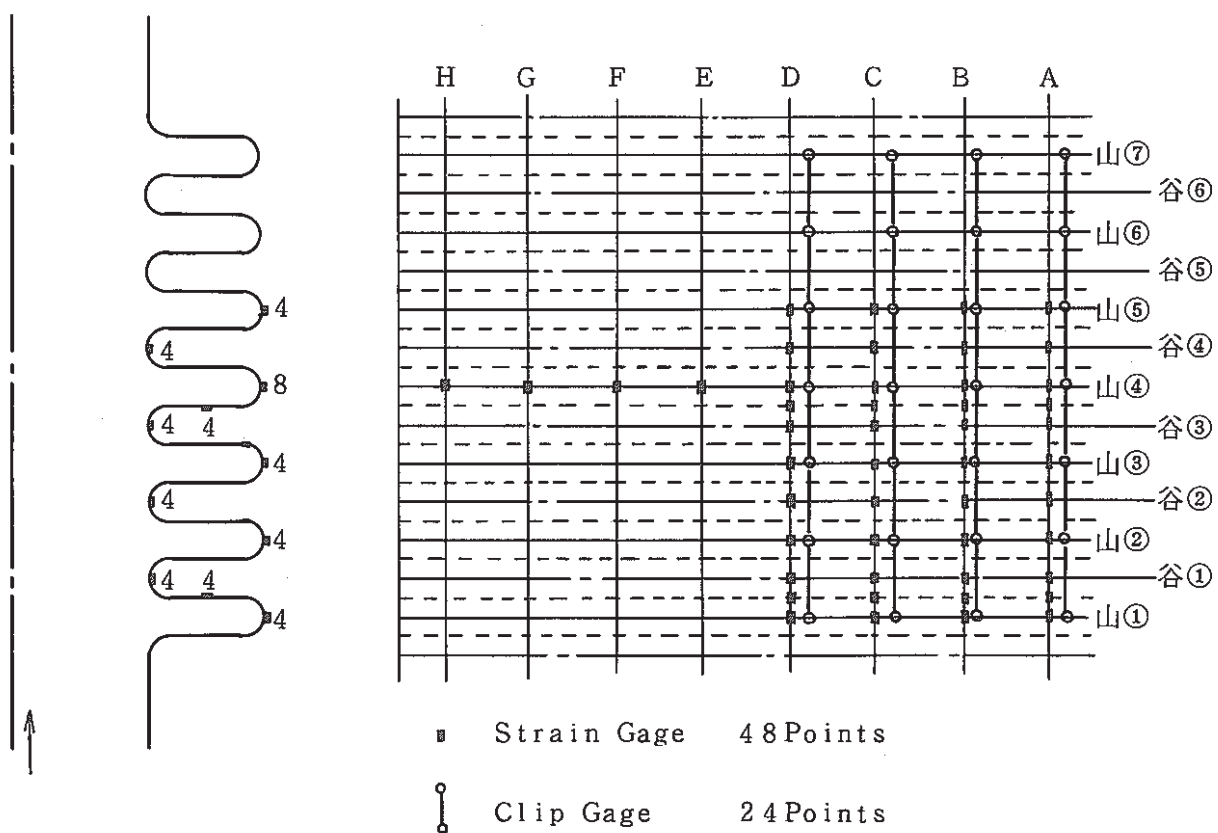
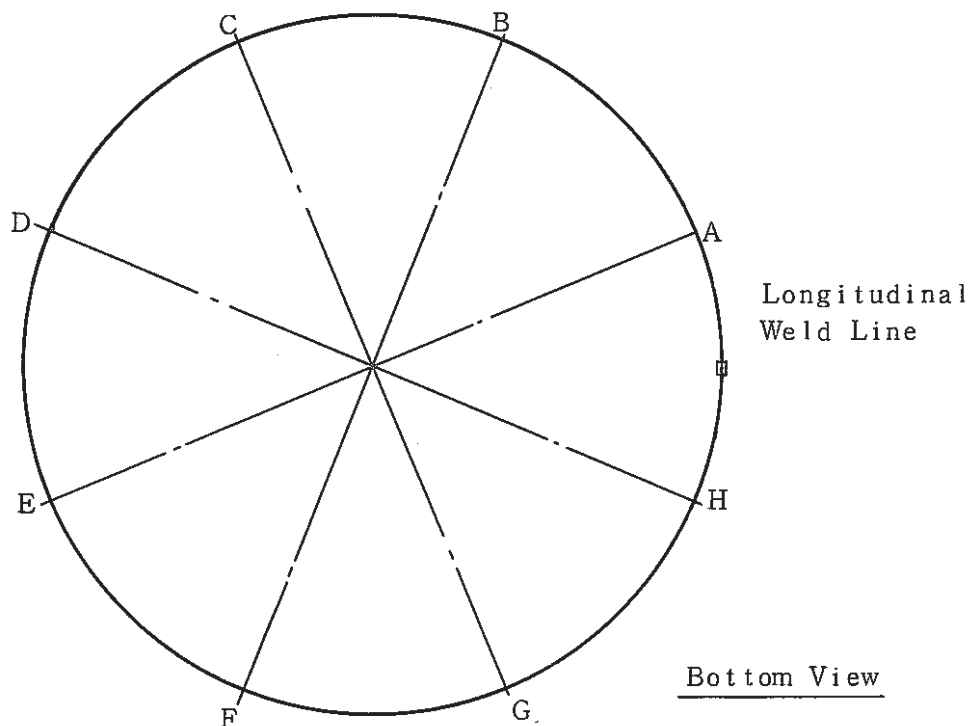


Fig.3-5 Schematic of Strain Gage and Clip Gage Locations(BB12-1-1, BB12-4-1, BB12-5-1)

ひずみゲージ貼付位置とクリップゲージ取付位置  
(7山ペローズ, BB12-1-1, BB12-4-1, BB12-5-1)

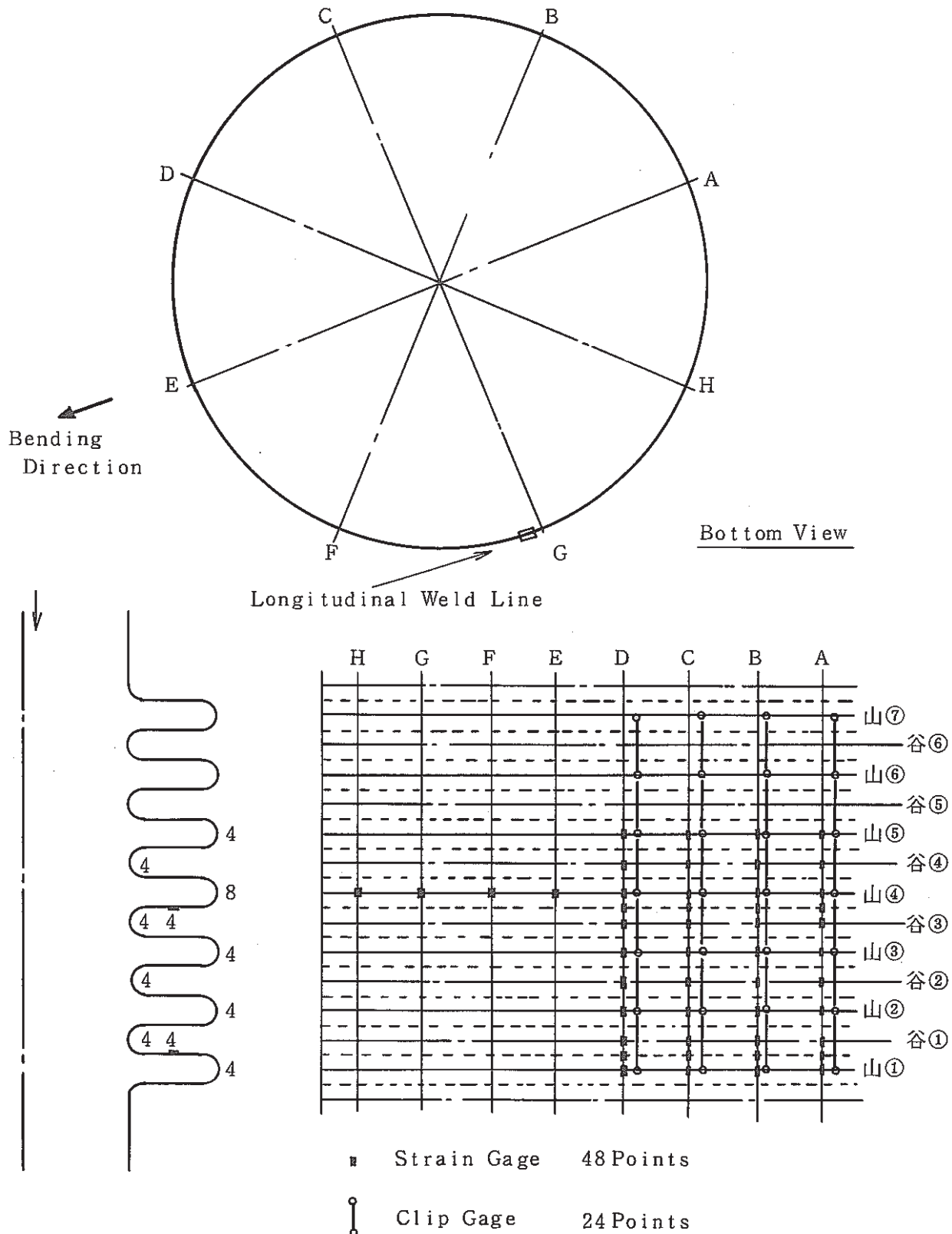
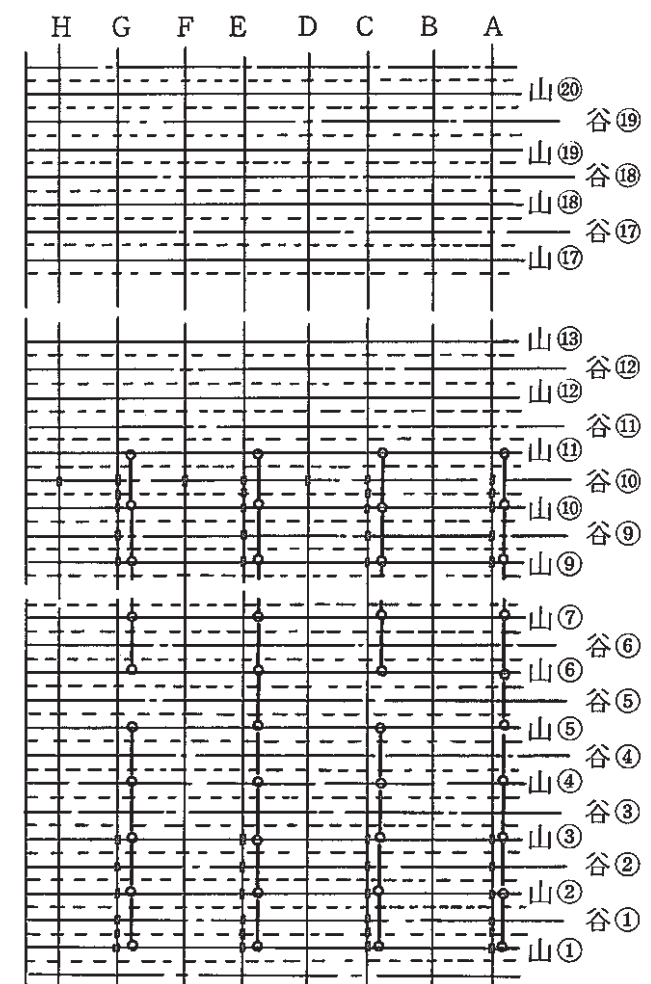
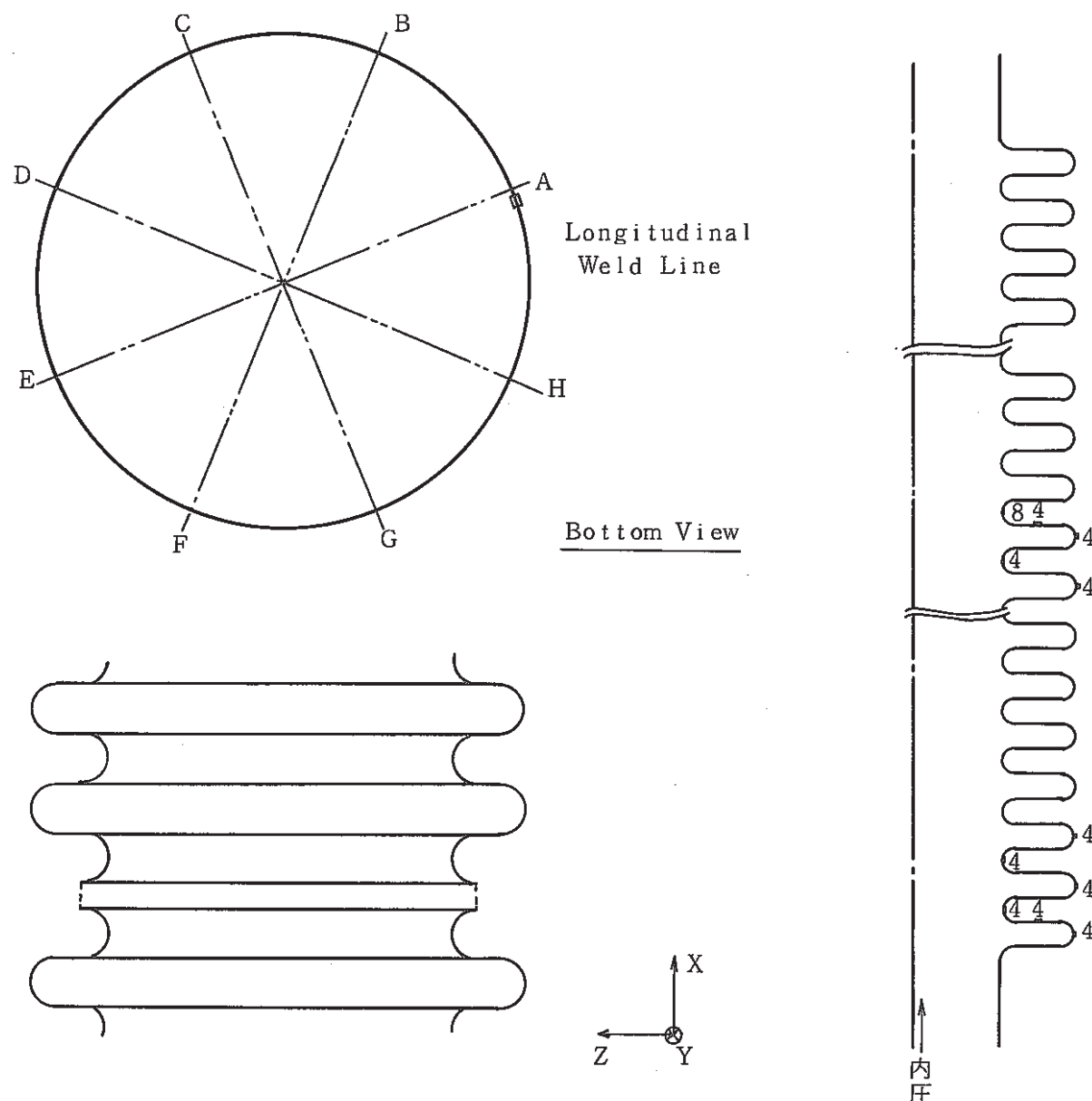


Fig. 3-6 Schematic of Strain Gage and Clip Gage Locations  
(BB12-1-2)

ひずみゲージ貼付位置とクリップゲージ取付位置  
(7山ペローズ, BB12-1-2)

- 45 -



• Strain Gage 48 Points  
○ Clip Gage 38 Points

Fig. 3-7 Schematic of Strain Gage and Clip Gage Locations (BB12-2-1)

ひずみゲージ貼付位置とクリップゲージ取付位置 (20山ベルローズ, BB12-2-1)

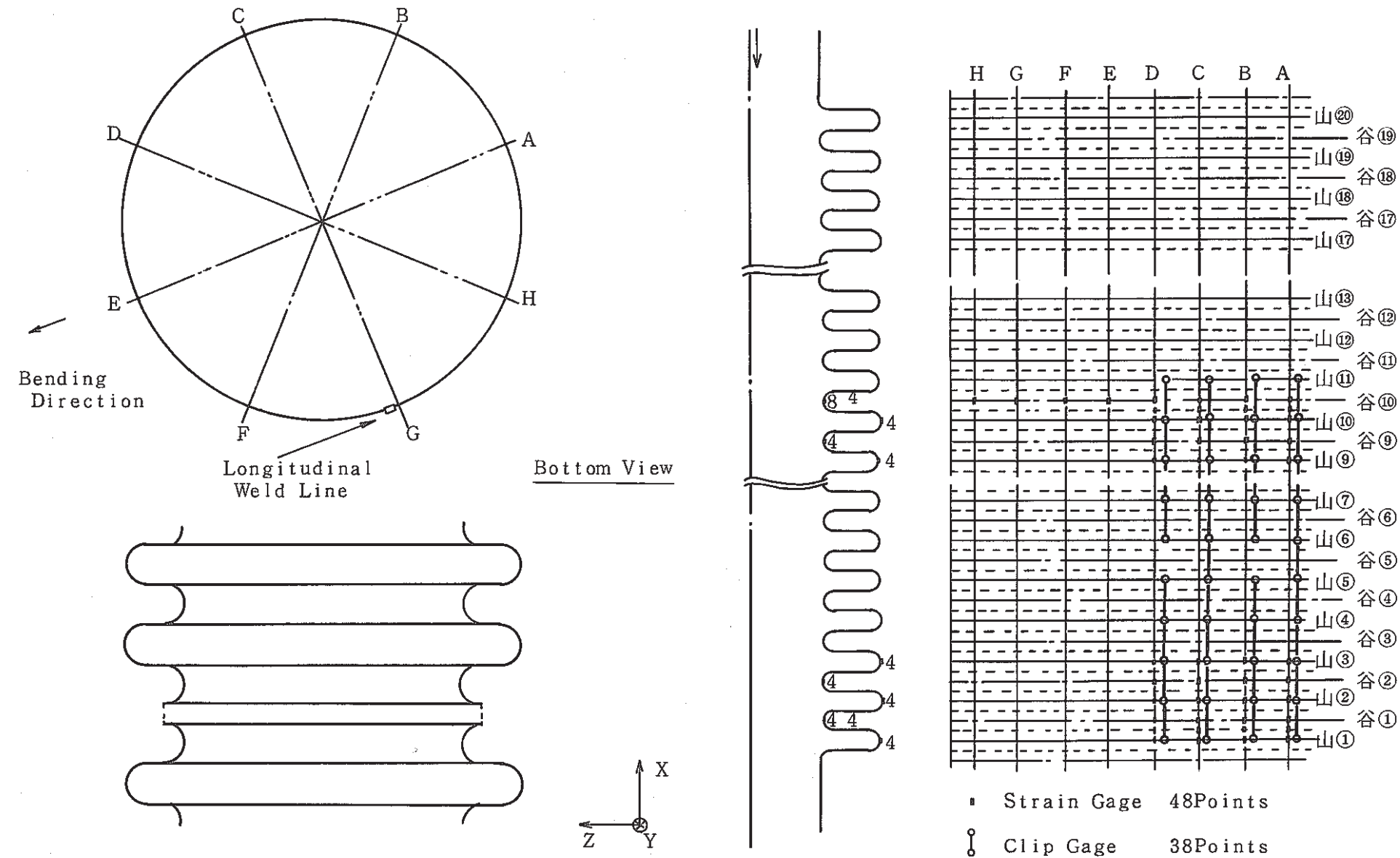


Fig.3-8 Schematic of Strain Gage and Clip Gage Locations (BB12-2-2)

ひずみゲージ貼付位置とクリップゲージ取付位置 (20山ベルローズ, BB12-2-2)

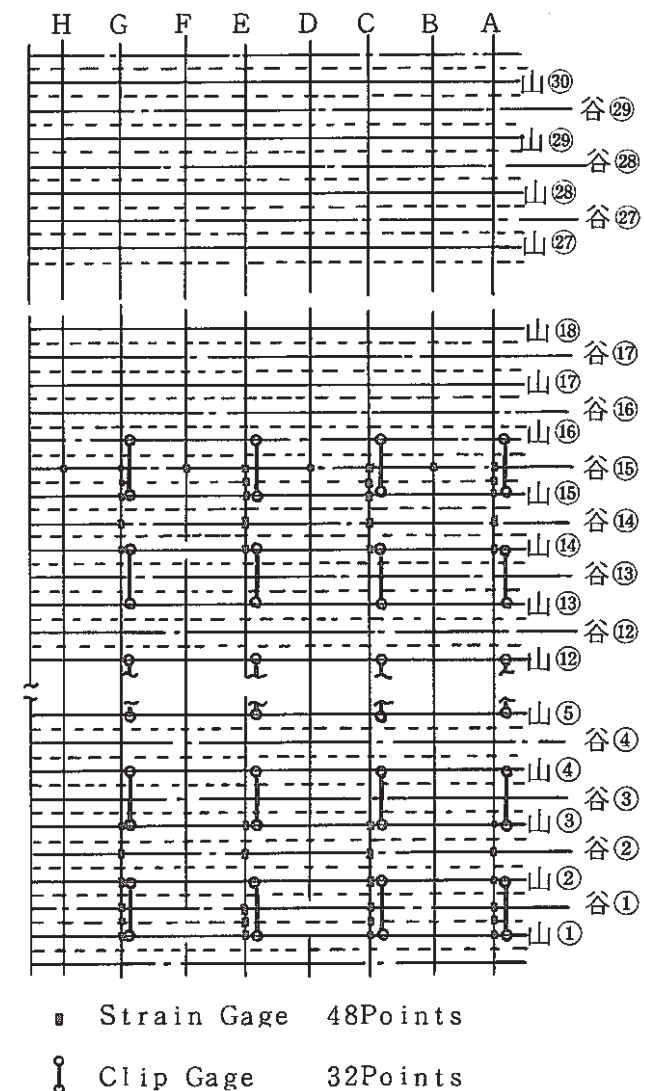
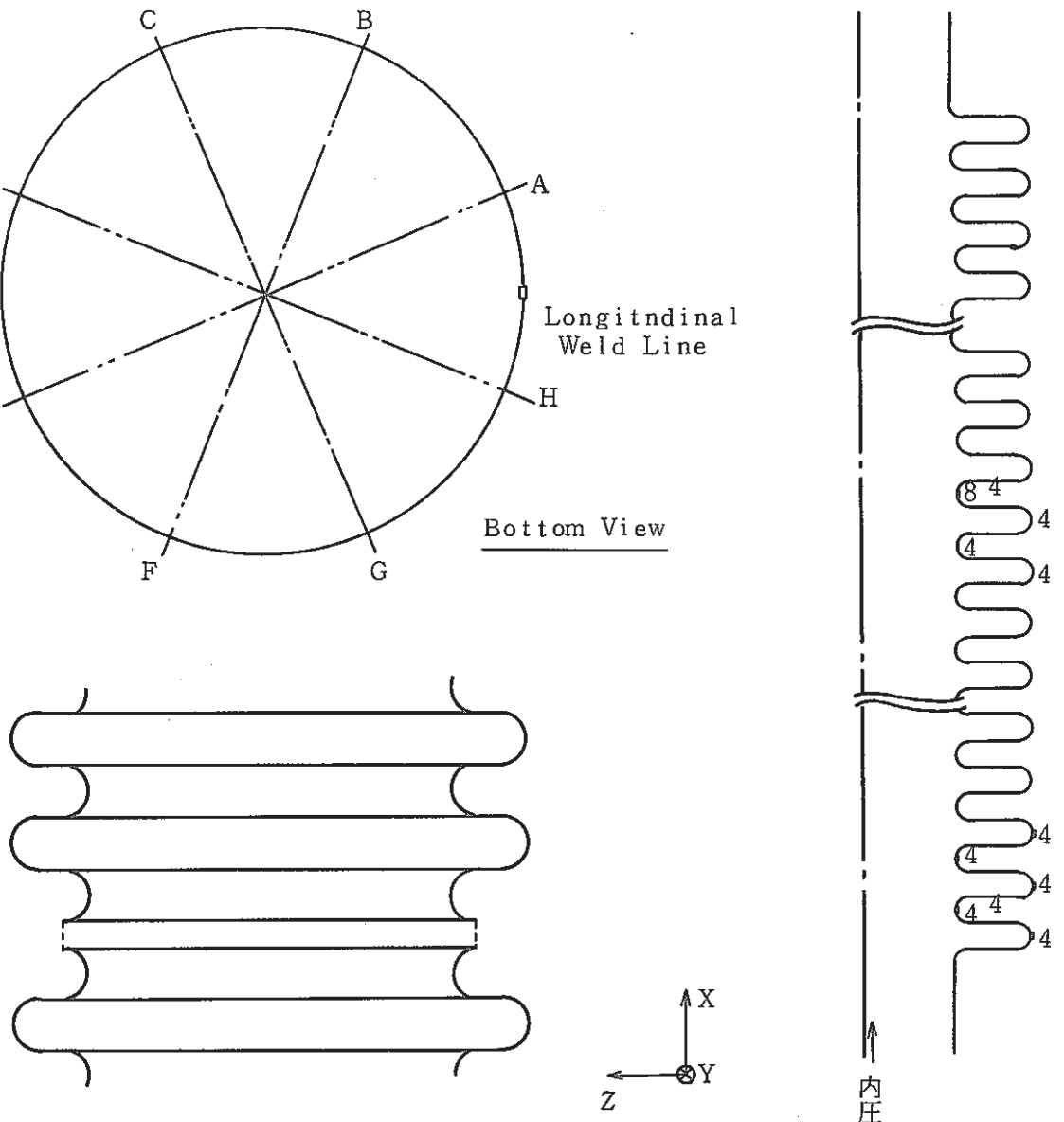


Fig.3-9 Schematic of Strain Gage and Clip Gage Locations (BB12-3-1)

ひずみゲージ貼付位置とクリップゲージ取付位置 (30山ベローズ, BB12-3-1.)

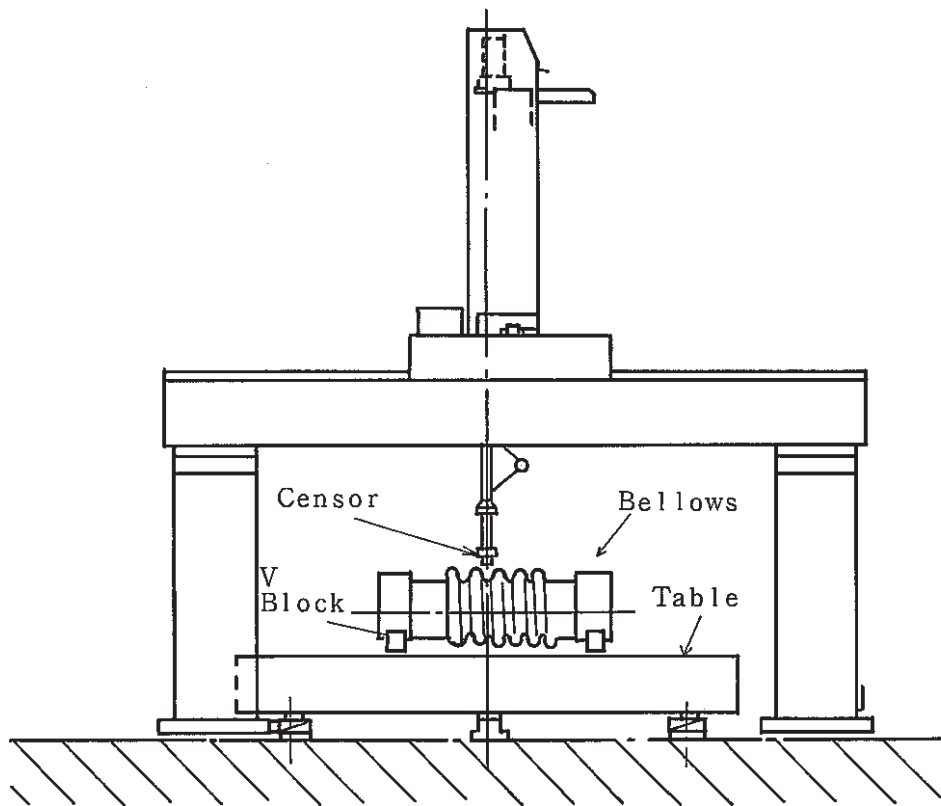


Fig.3-10(1) Three Dimensional Configuration  
Measuring Equipment  
三次元形状測定要領

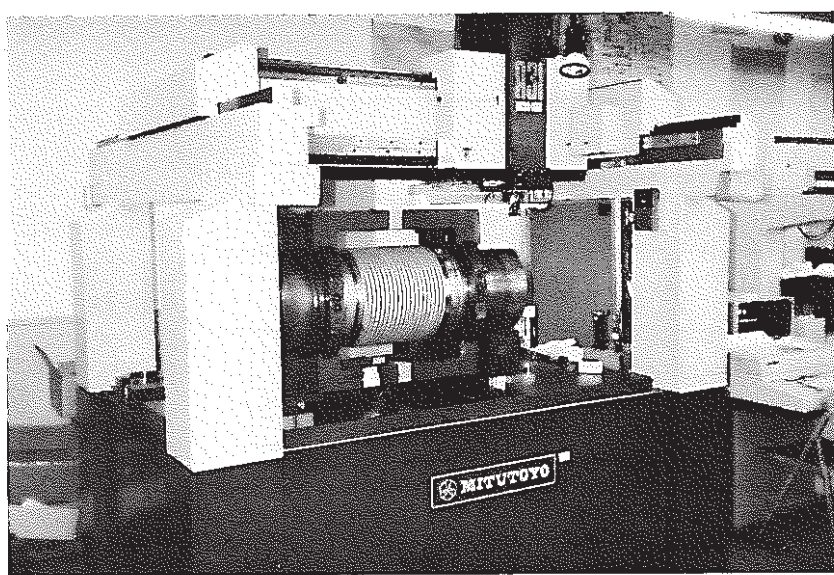
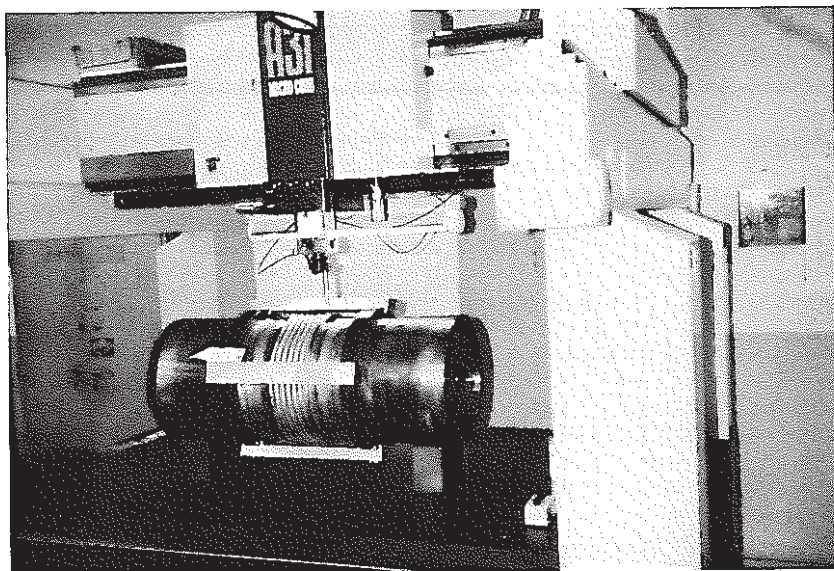
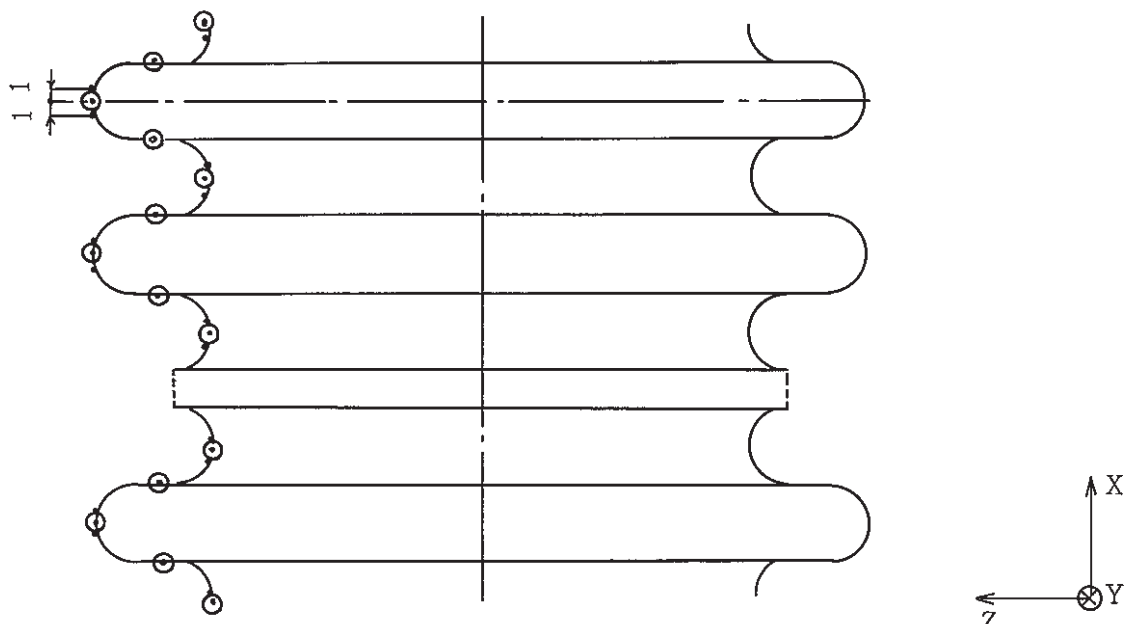
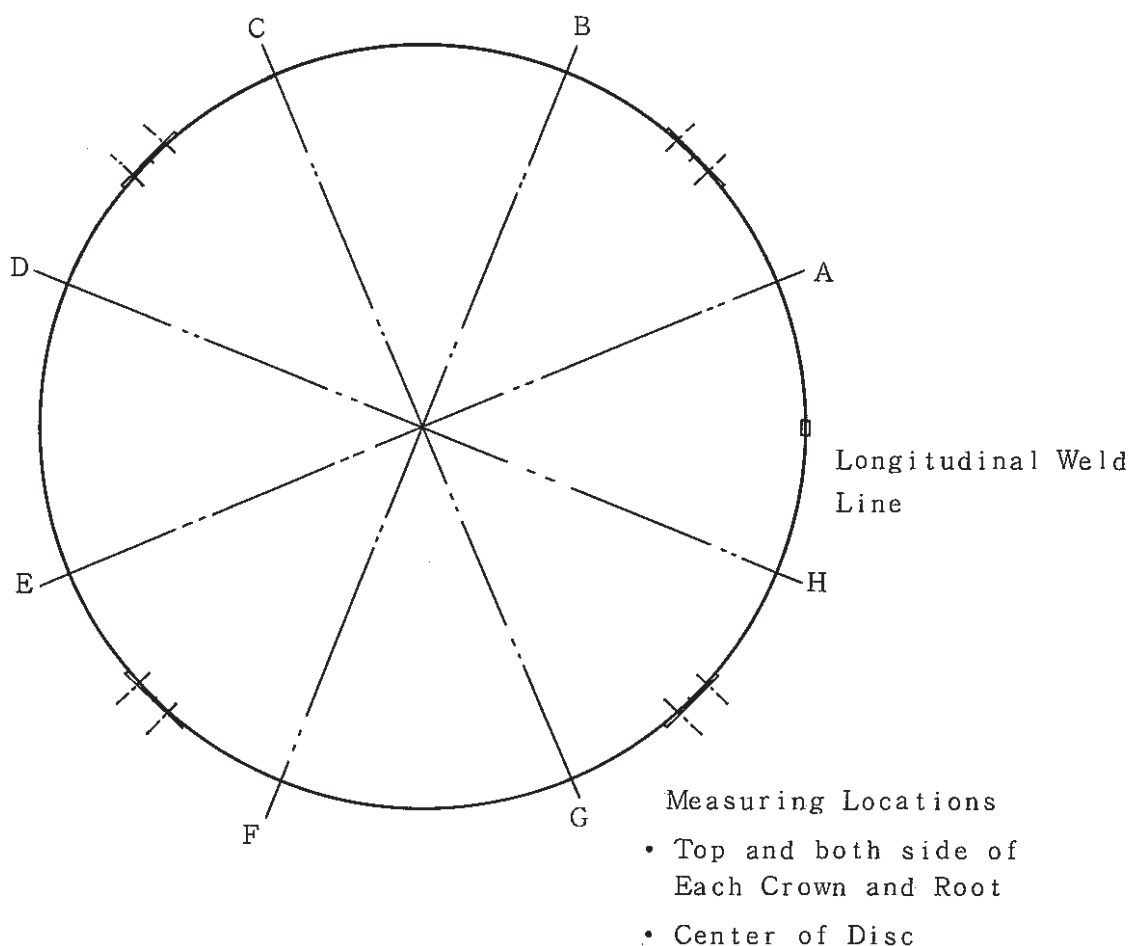


Fig.3-10(2) Three Dimensional Configuration  
Measuring  
三次元形状測定状况



- Floating Measuring Location without Marking
- ◎ Fixed Measuring Locations with Marking

Fig. 3-11 Schematic of Three Dimensional Configuration  
Measuring Locations

計測点の概要

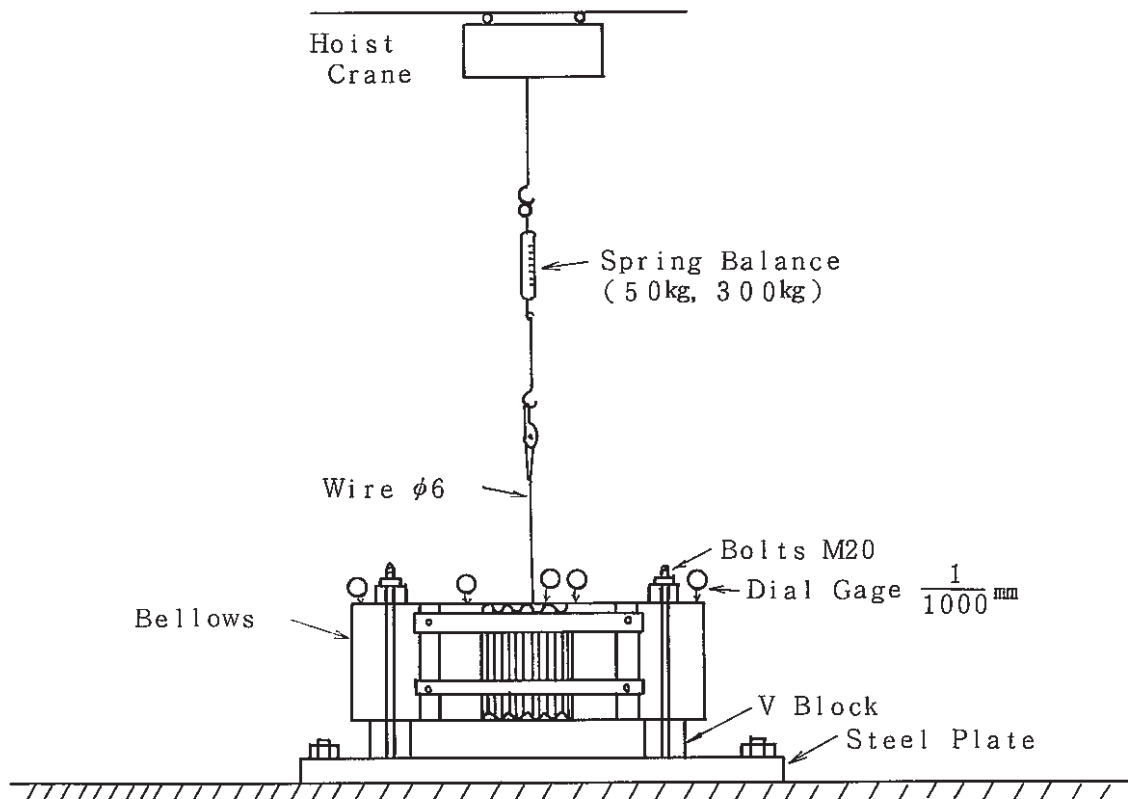


Fig.3-12(1) Schematic of Lateral Spring Constant Test  
剪断バネ定数の測定要領

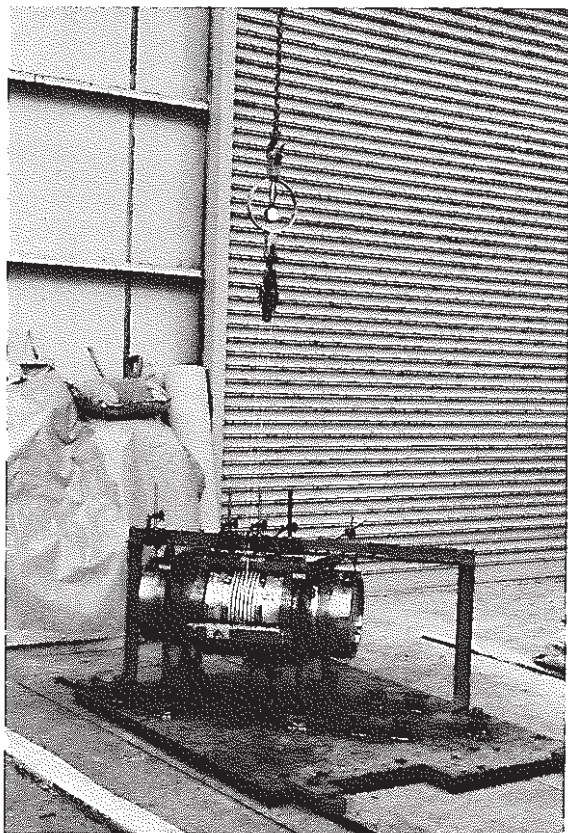


Fig. 3-12(2) Lateral Spring Constant Test  
剪断バネ定数測定状況

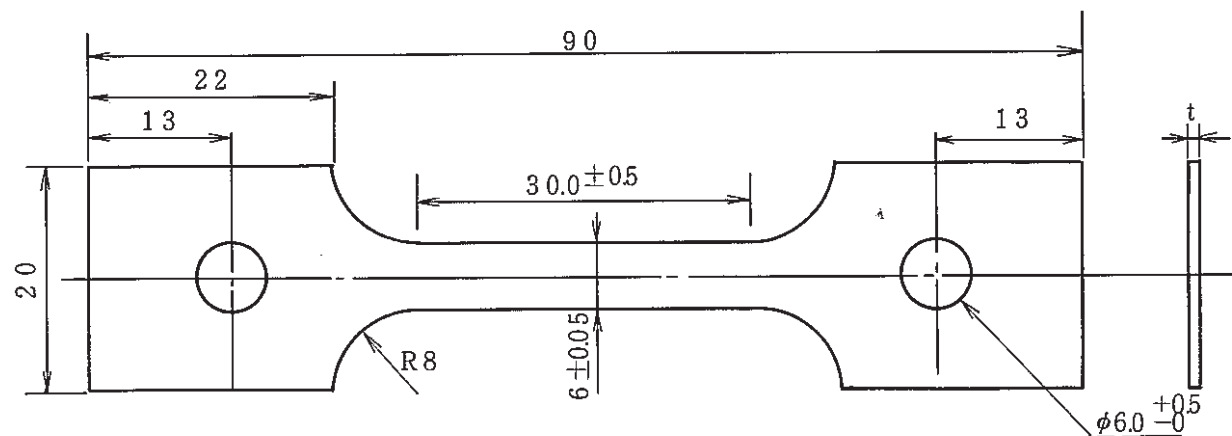
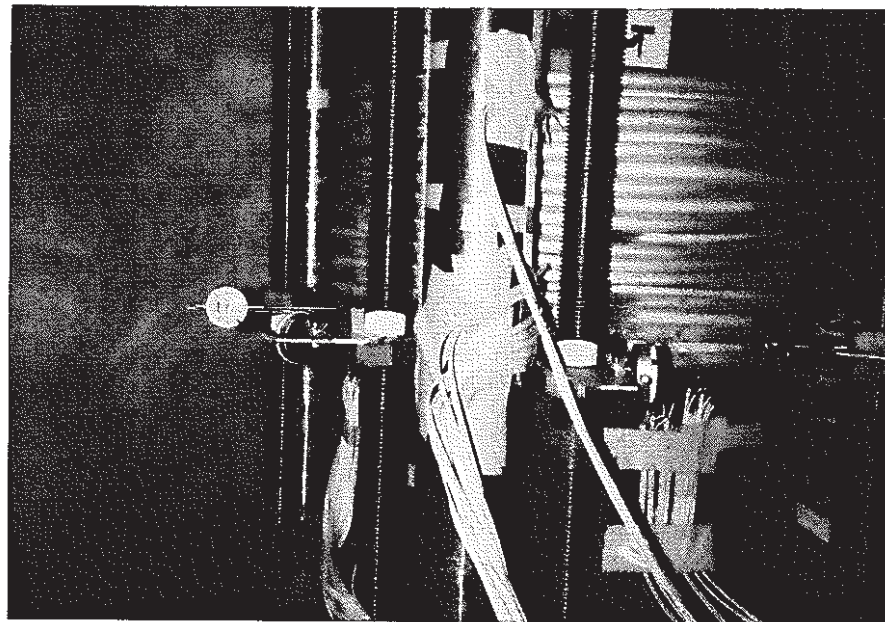
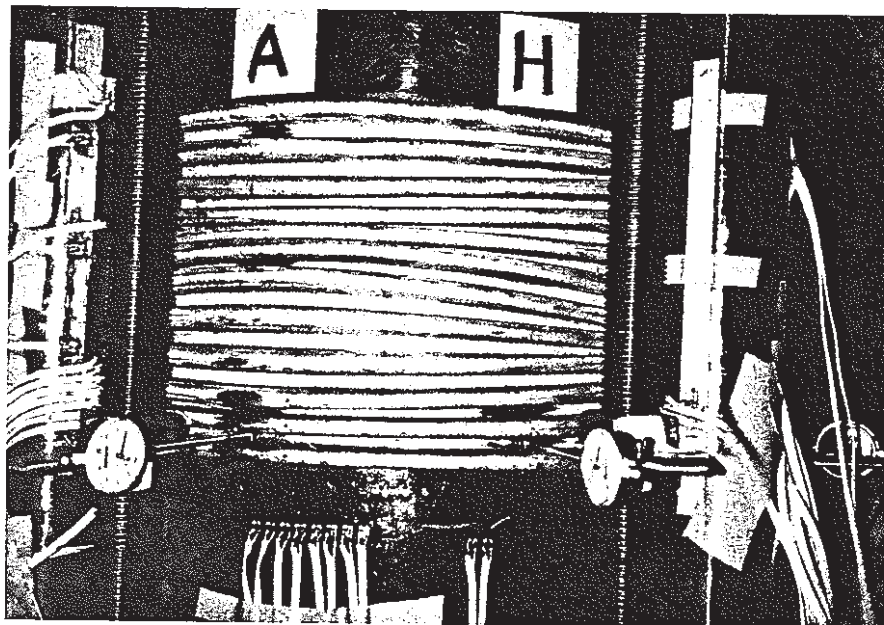


Fig. 3-13 Specimen of Material Tensile Test

ベローズ材引張試験試験片形状



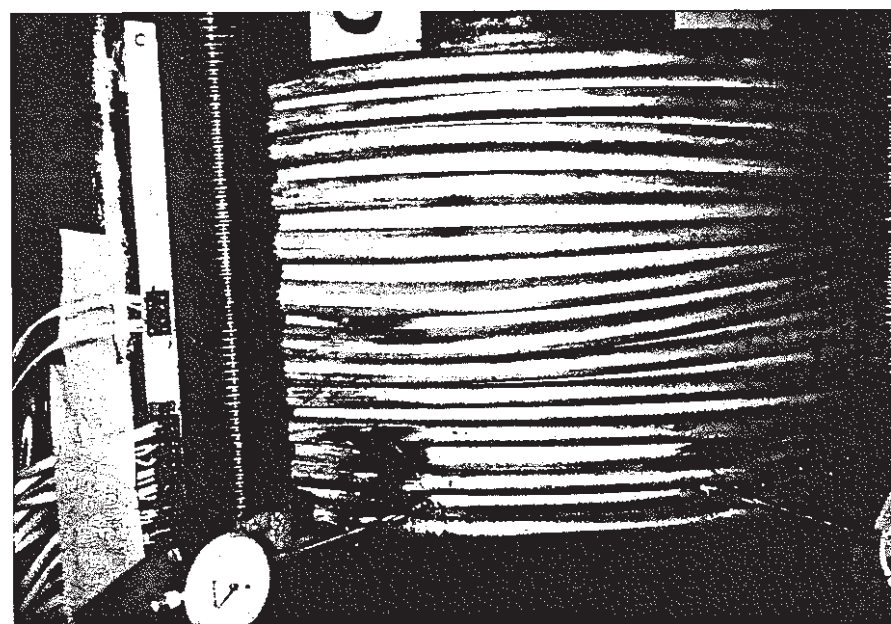
( a )



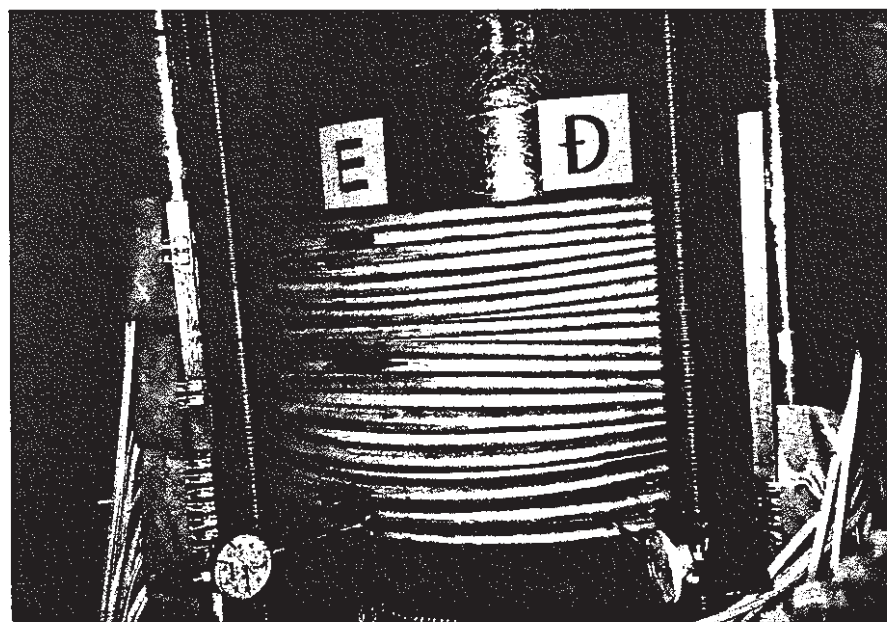
( b )

Fig. 4-1-1 ( 1 / 3 ) Deformation Mode ( BB21-1-1 )

座屈モード ( 12 山ペローズ, BB21-1-1 )

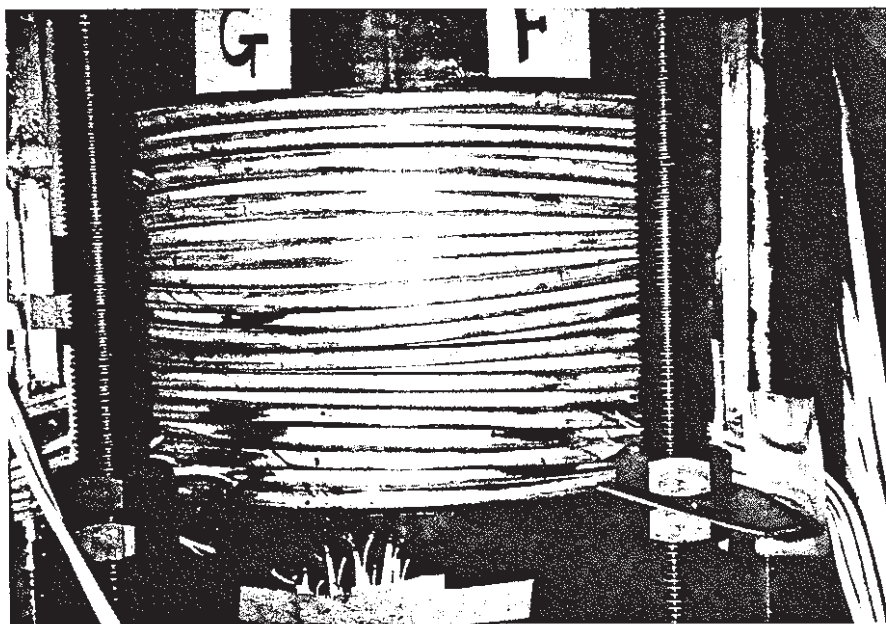


( c )



( d )

Fig. 4-1-1( 2/3 ) Deformation Mode ( BB21-1-1 )  
座屈モード ( 12 山ペローズ, BB21-1-1 )



(e)

Fig. 4-1-1 (3/3) Deformation Mode (BB21-1-1)  
座屈モード(12山ペローズ, BB21-1-1)

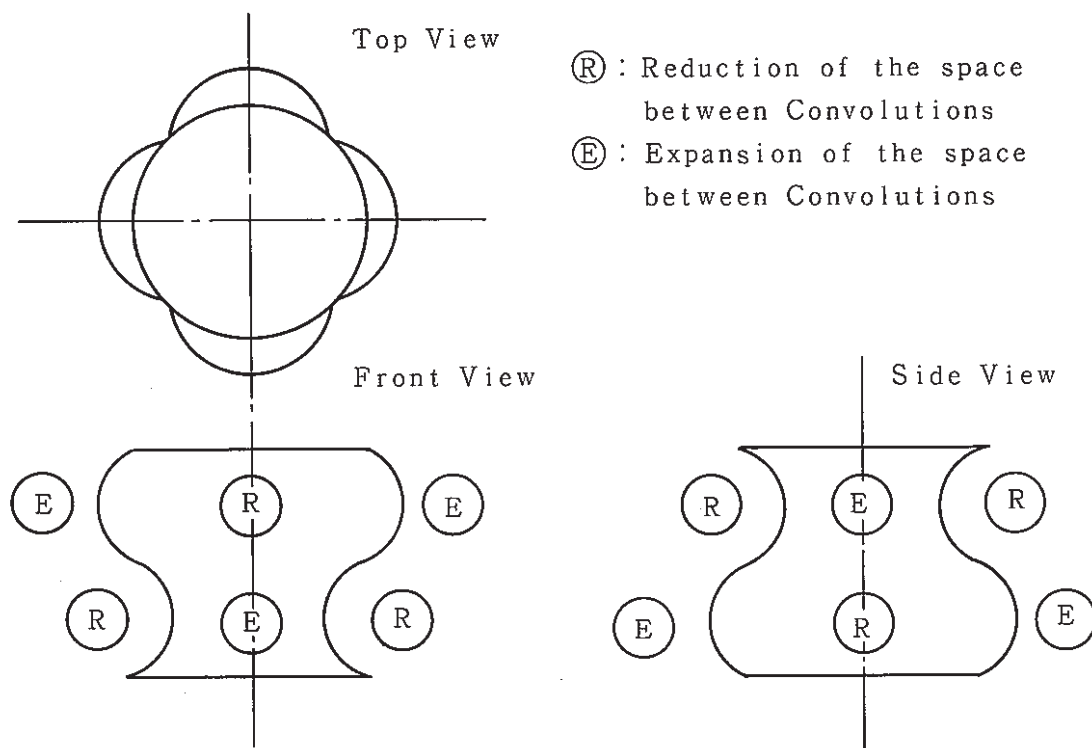
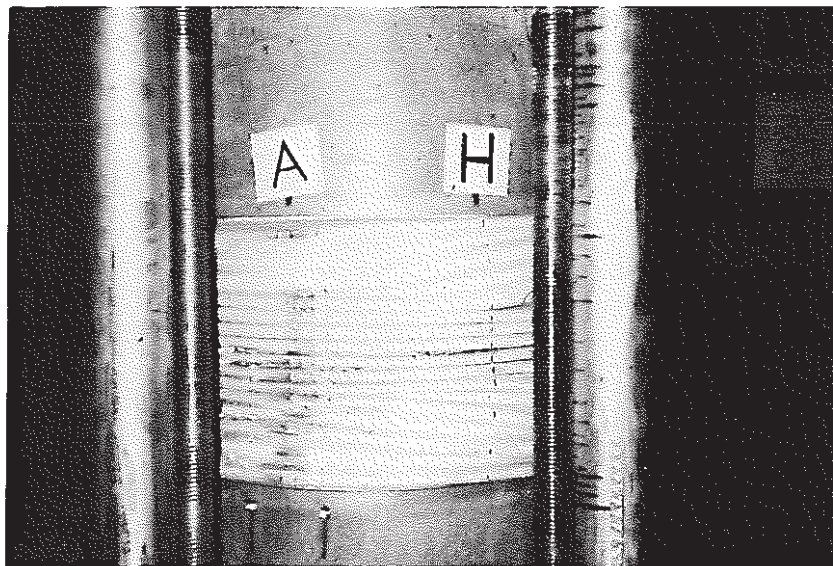
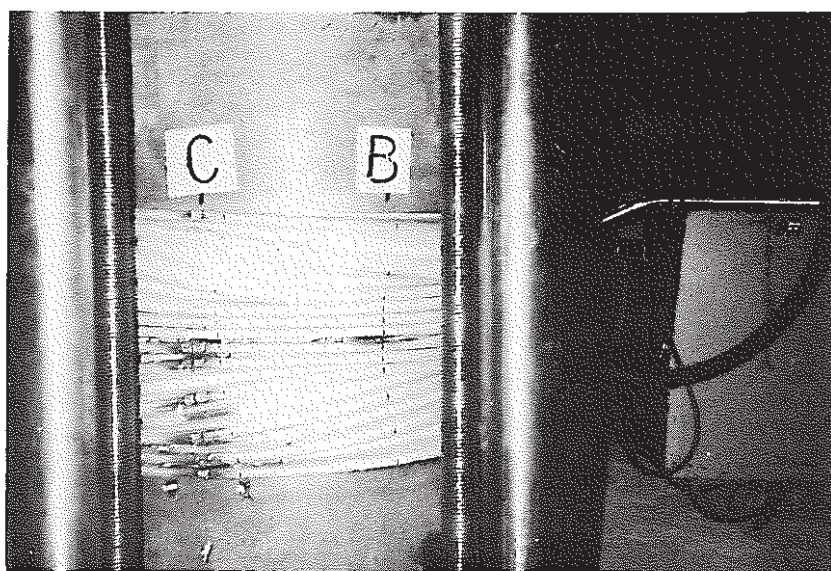


Fig. 4-1-2 Schematic Drawing of Deformation Mode (BB21-1-1)  
座屈モード(12山ペローズ, BB21-1-1)



( a )



( b )

Fig. 4-2-1(1/2) Deformation Mode (BB21-1-2)  
座屈モード (BB21-1-2)



( c )



( d )

Fig. 4-2-1 ( 2/2 ) Deformation Mode ( BB21-1-2 )  
座屈モード ( BB21-1-2 )

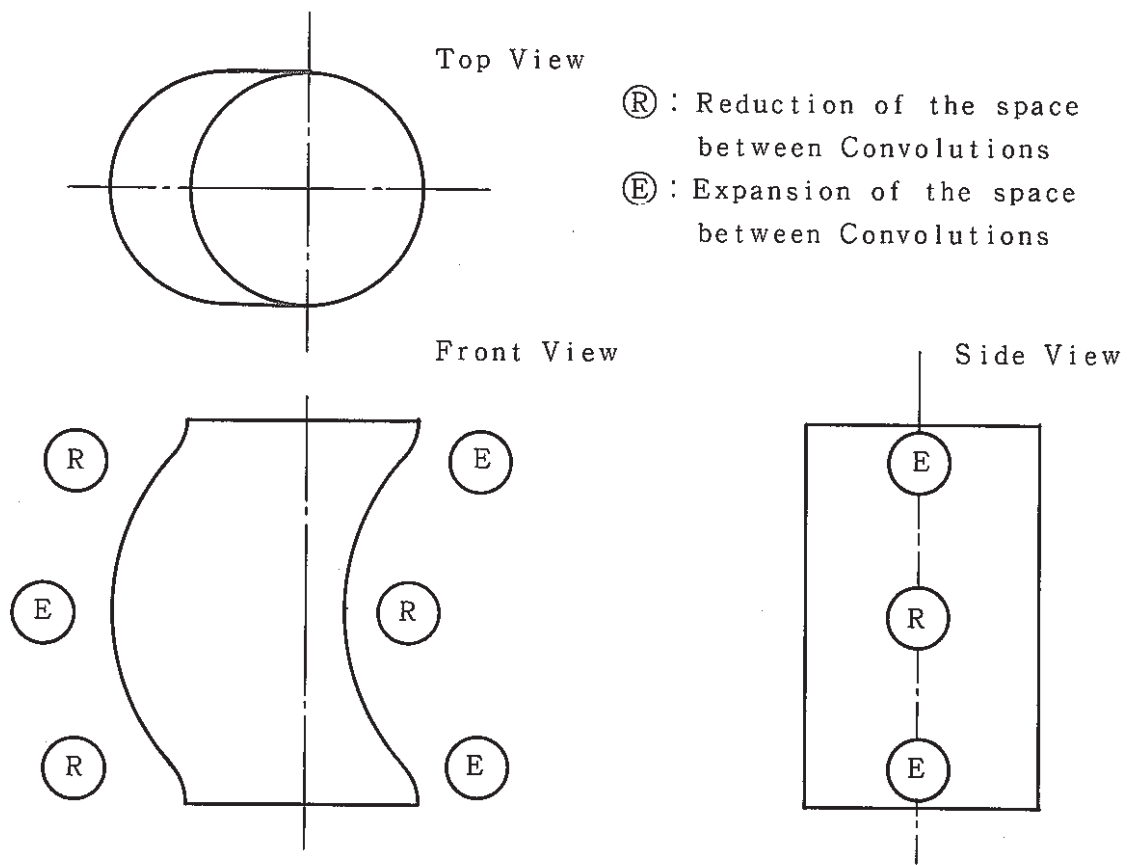


Fig. 4-2-2 Schematic Drawing of Deformation Mode  
(BB21-1-2, BB21-2-1, BB21-2-2)

座屈モード (BB21-1-2, BB21-2-1, BB21-2-2)

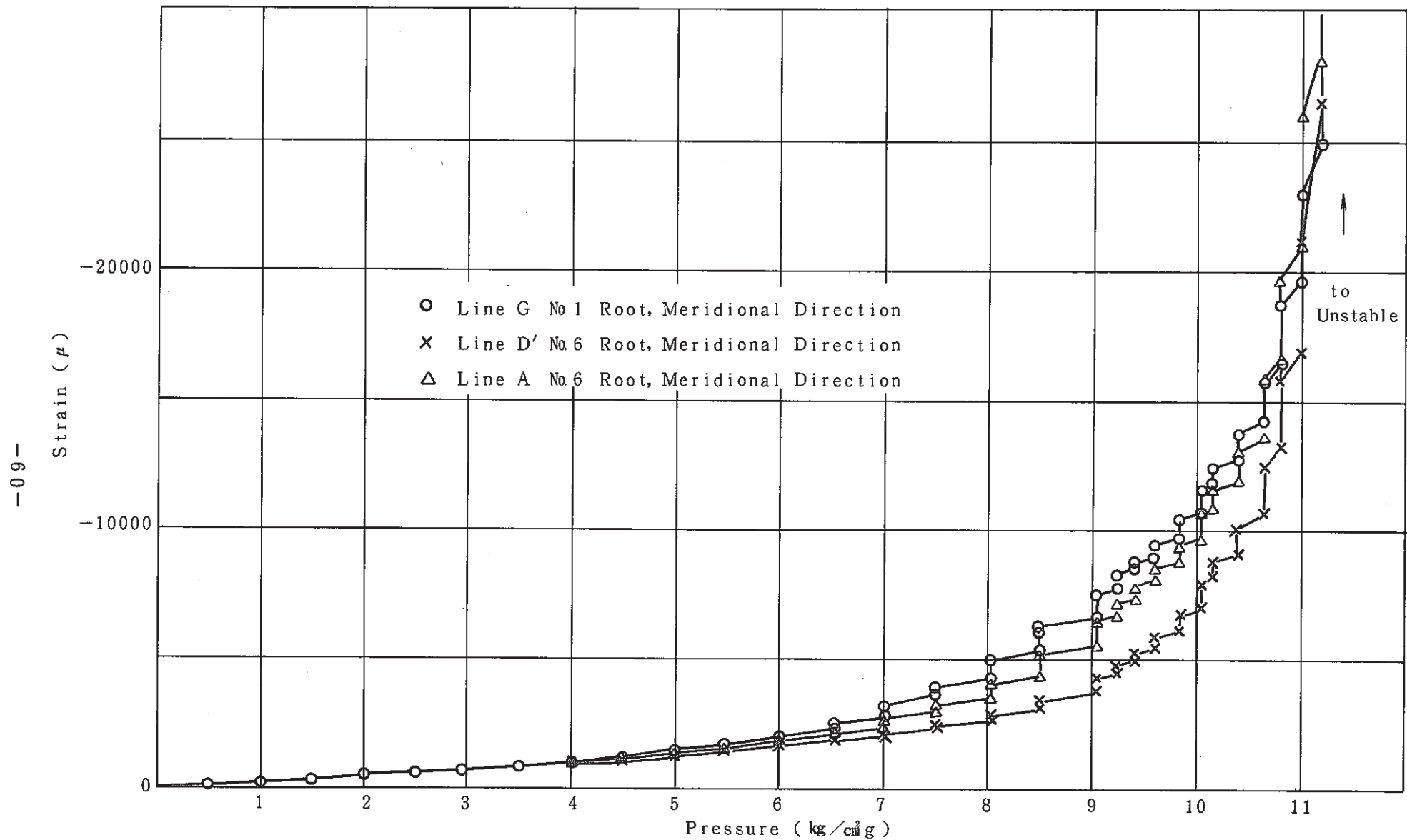
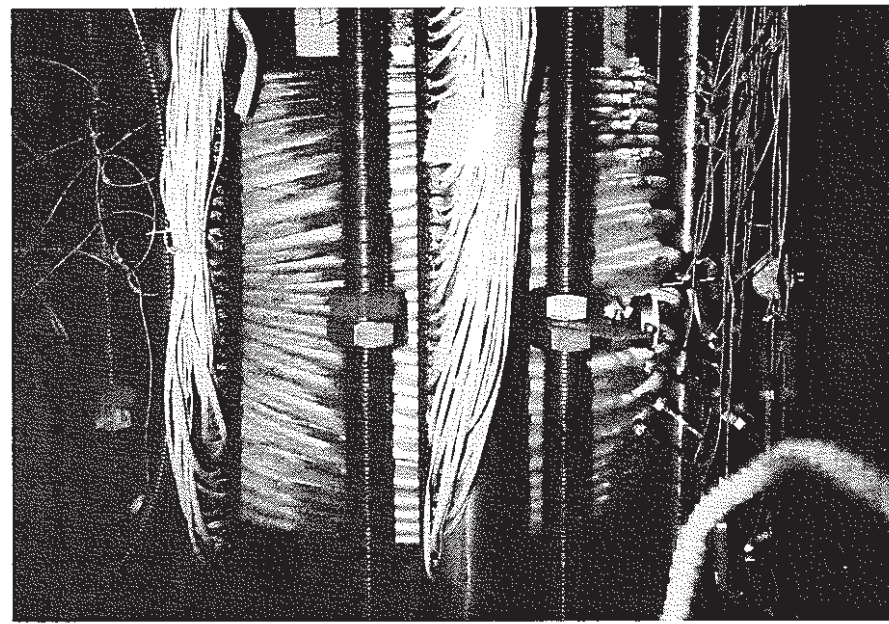


Fig. 4-2-3 Strains VS Pressure (BB21-1-2)  
ひずみと圧力の関係 (BB21-1-2)

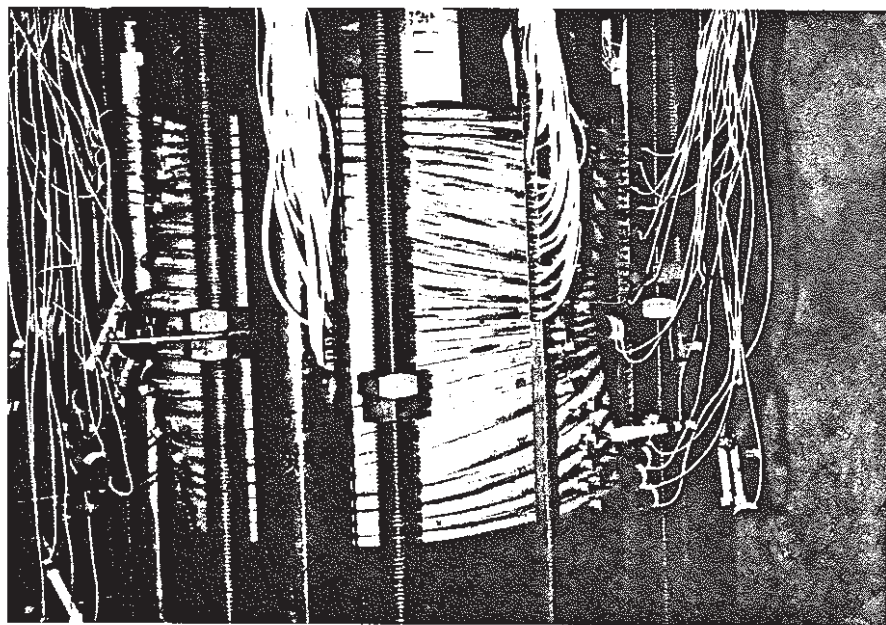


( a )



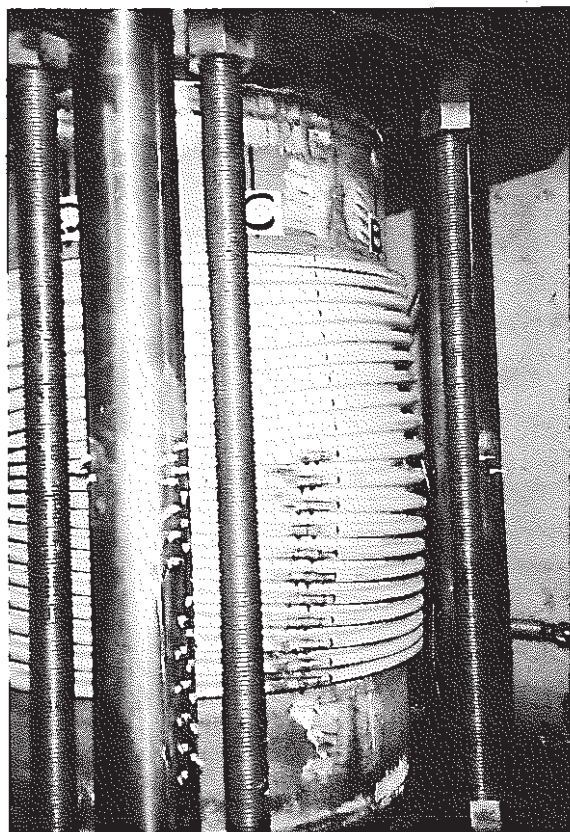
( b )

Fig. 4-3 ( 1/2 ) Deformation Mode ( BB21-2-1 )  
座屈モード ( 20 山ベローズ, BB21-2-1 )

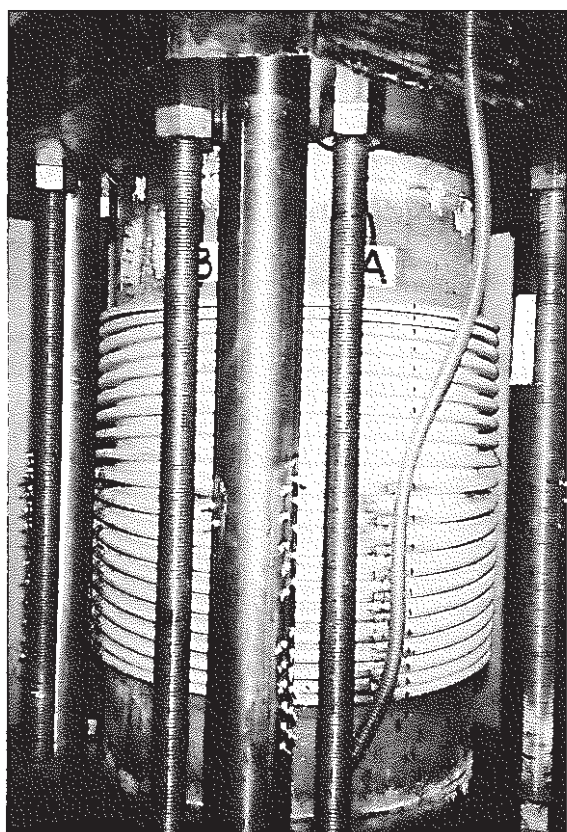


(c)

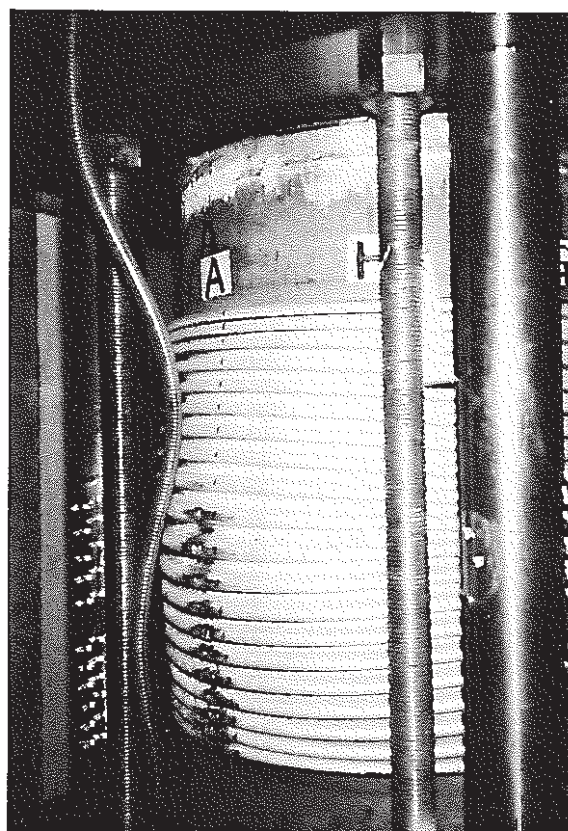
Fig. 4-3 (2/2) Deformation Mode (BB21-2-1)  
座屈モード(20山ベローズ, BB21-2-1)



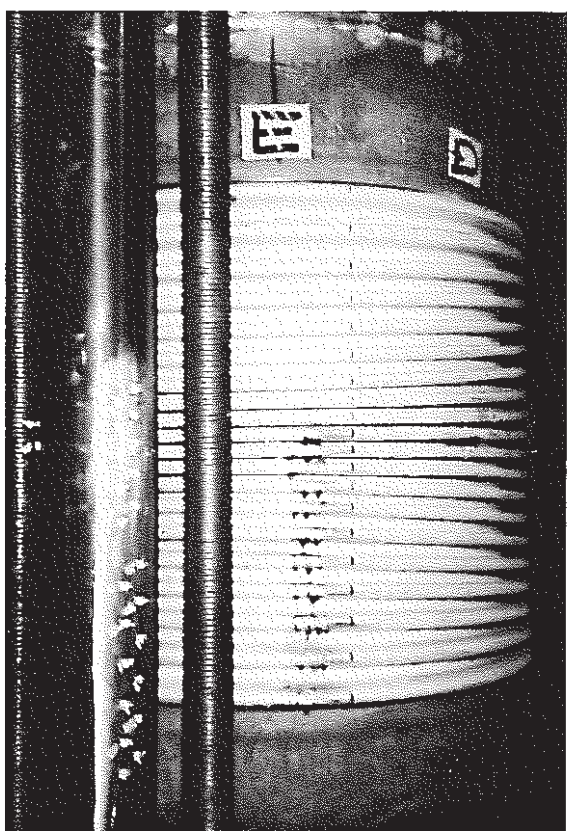
( a )



( b )



( c )



( d )

Fig. 4-4-1 Deformation Mode (BB21-2-2)  
座屈モード (BB21-2-2)

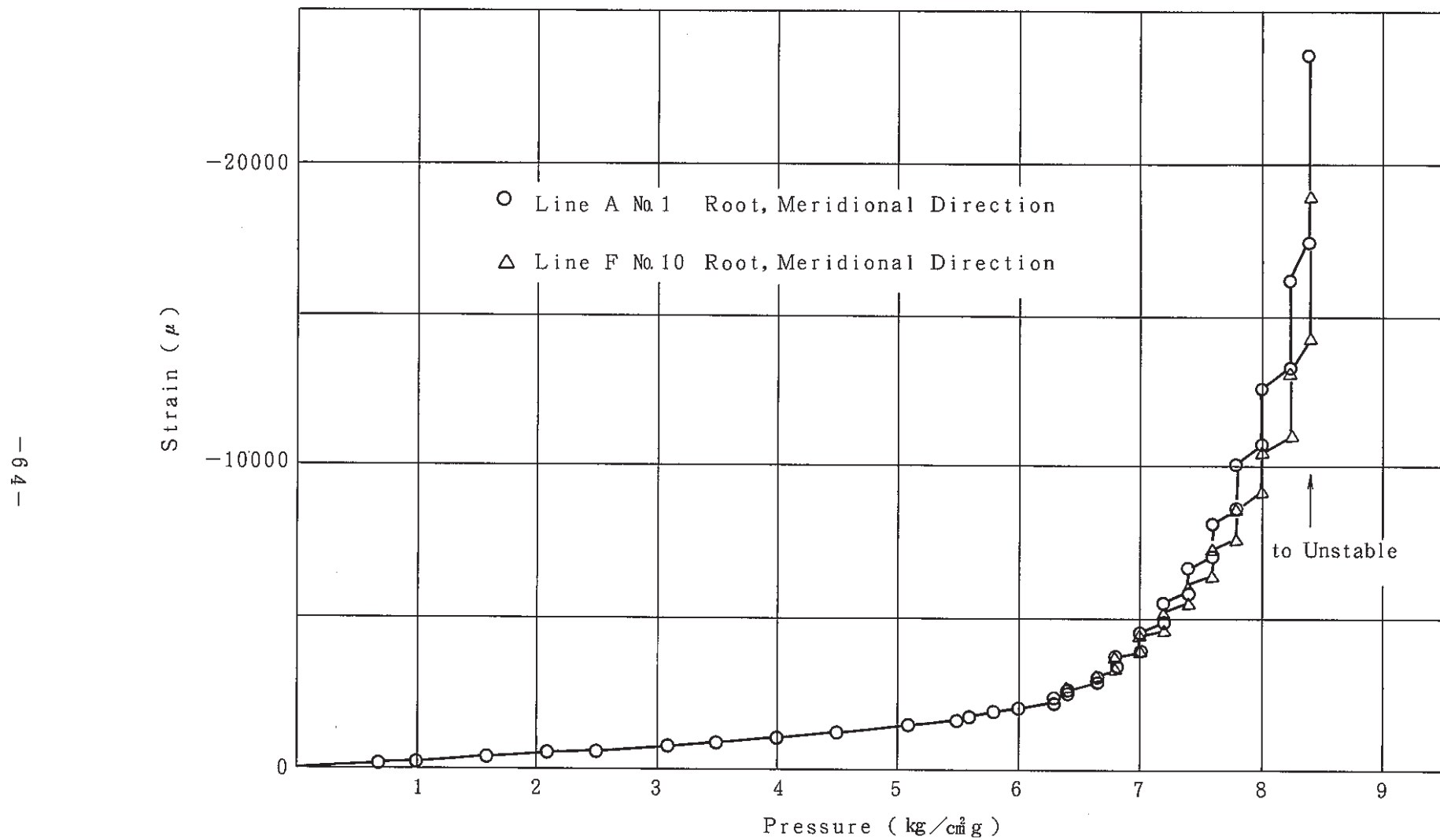
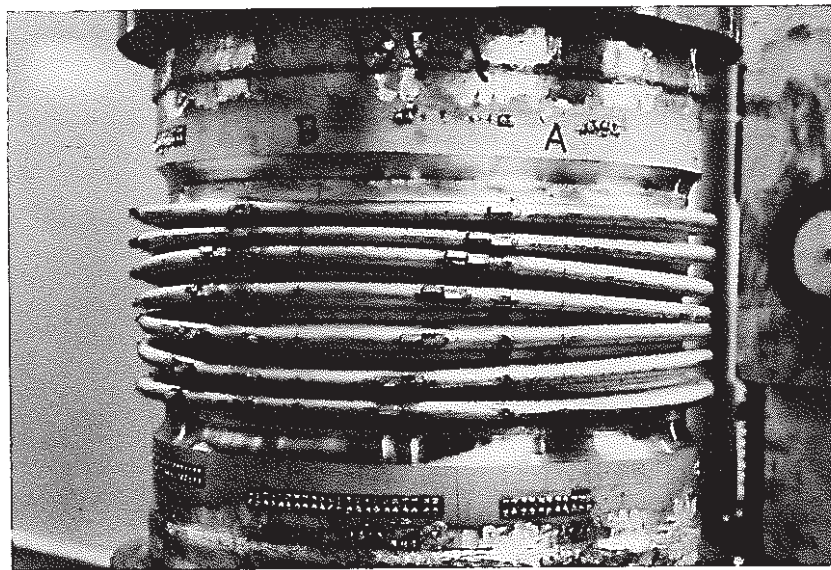
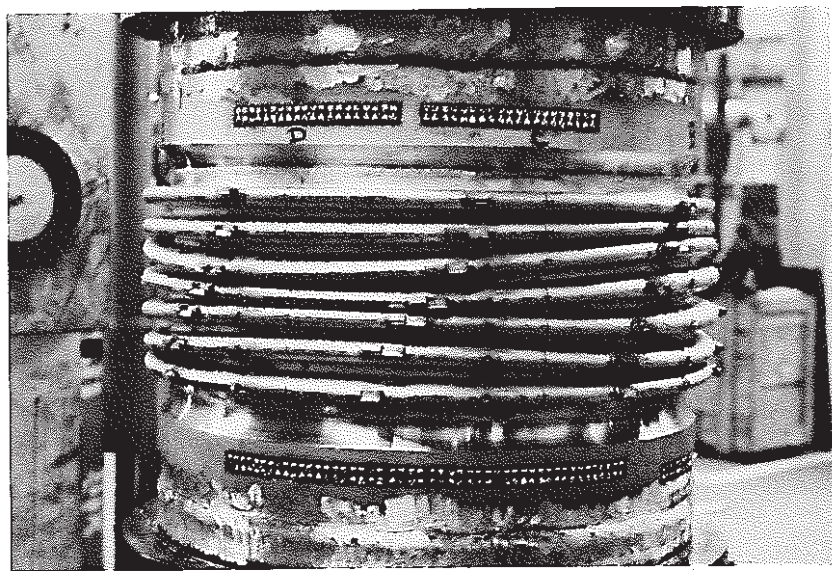


Fig. 4-4-2 Strains VS Pressure (BB21-2-2)

ひずみと圧力の関係 (BB21-2-2)

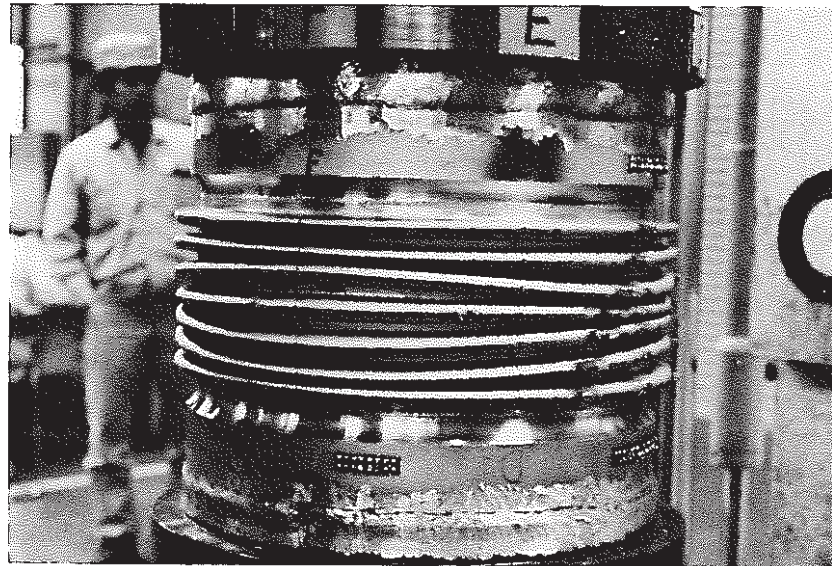


( a )

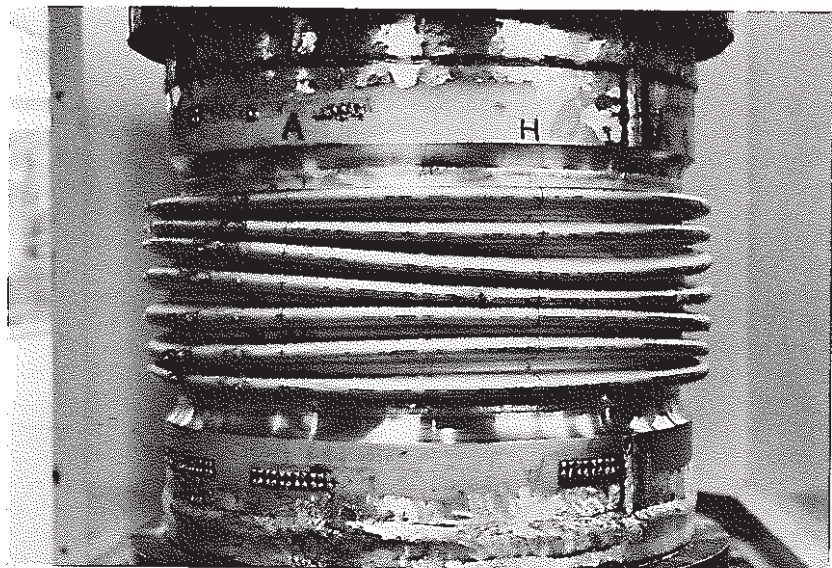


( b )

Fig. 4-5 ( 1/2 ) Deformation Mode ( BB12-1-1 )  
座屈モード ( BB12-1-1 )



( c )



( d )

Fig. 4-5 ( 2/2 ) Deformation Mode ( BB12-1-1 )  
座屈モード ( BB12-1-1 )

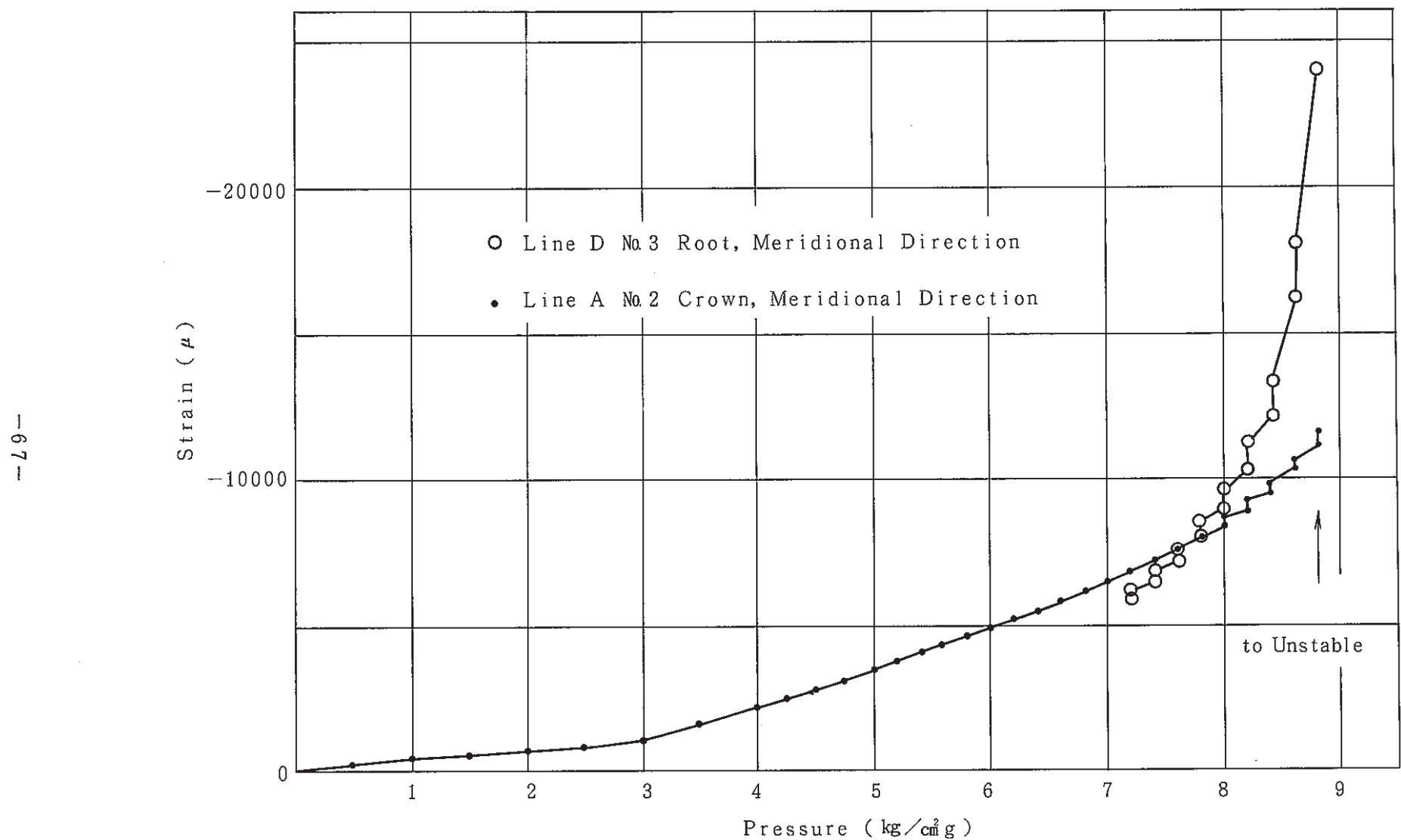
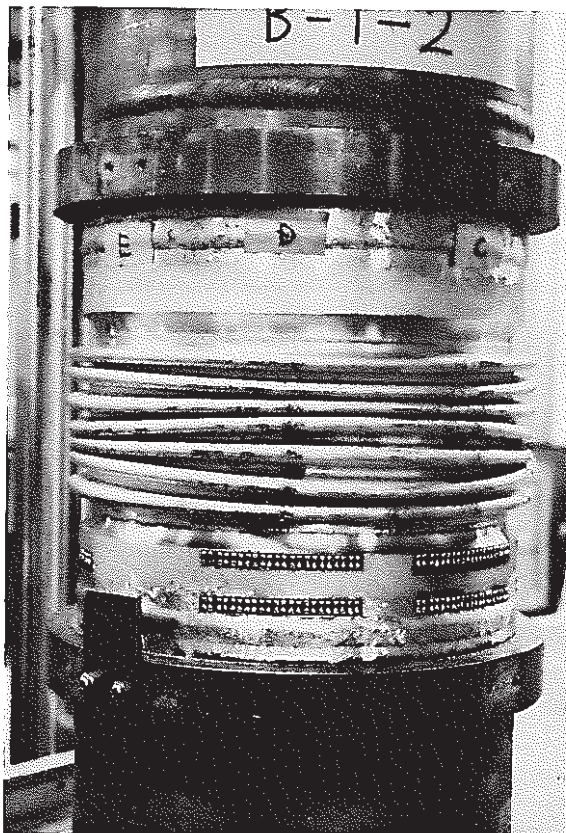
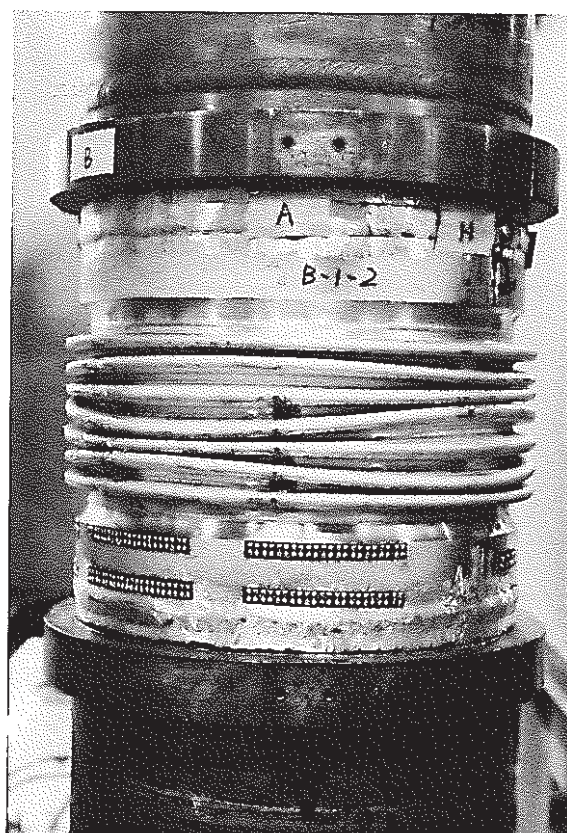


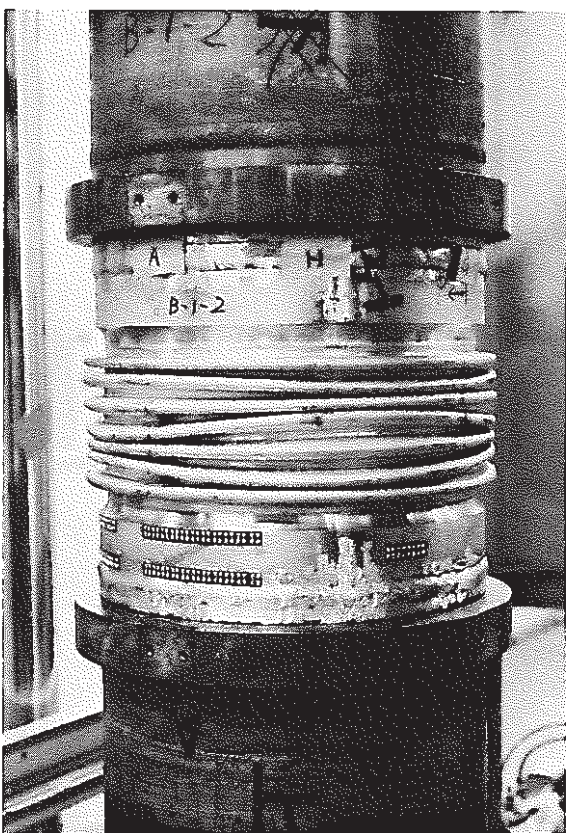
Fig. 4-6 Strains VS Pressure (BB12-1-1)  
ひずみと圧力の関係 (BB12-1-1)



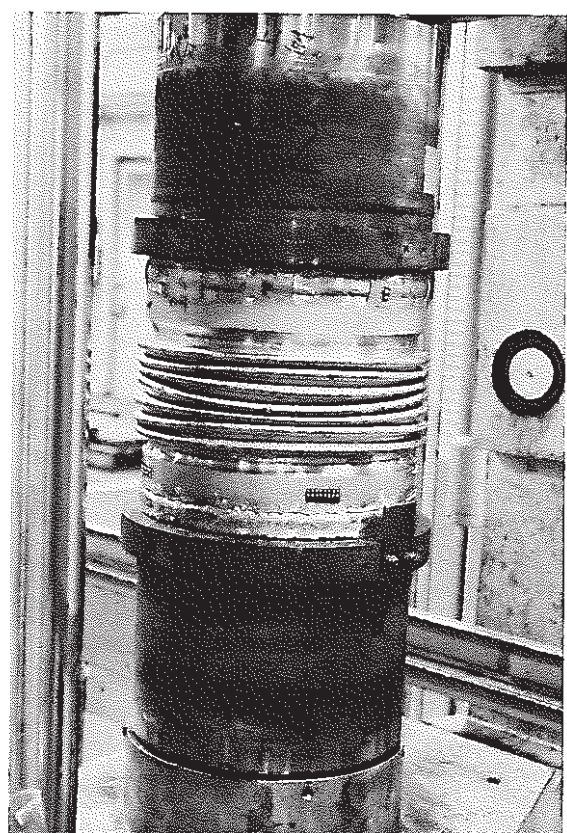
( a )



( b )



( c )



( d )

Fig. 4-7 Defomation Mode (BB12-1-2)  
座屈モード (BB12-1-2)

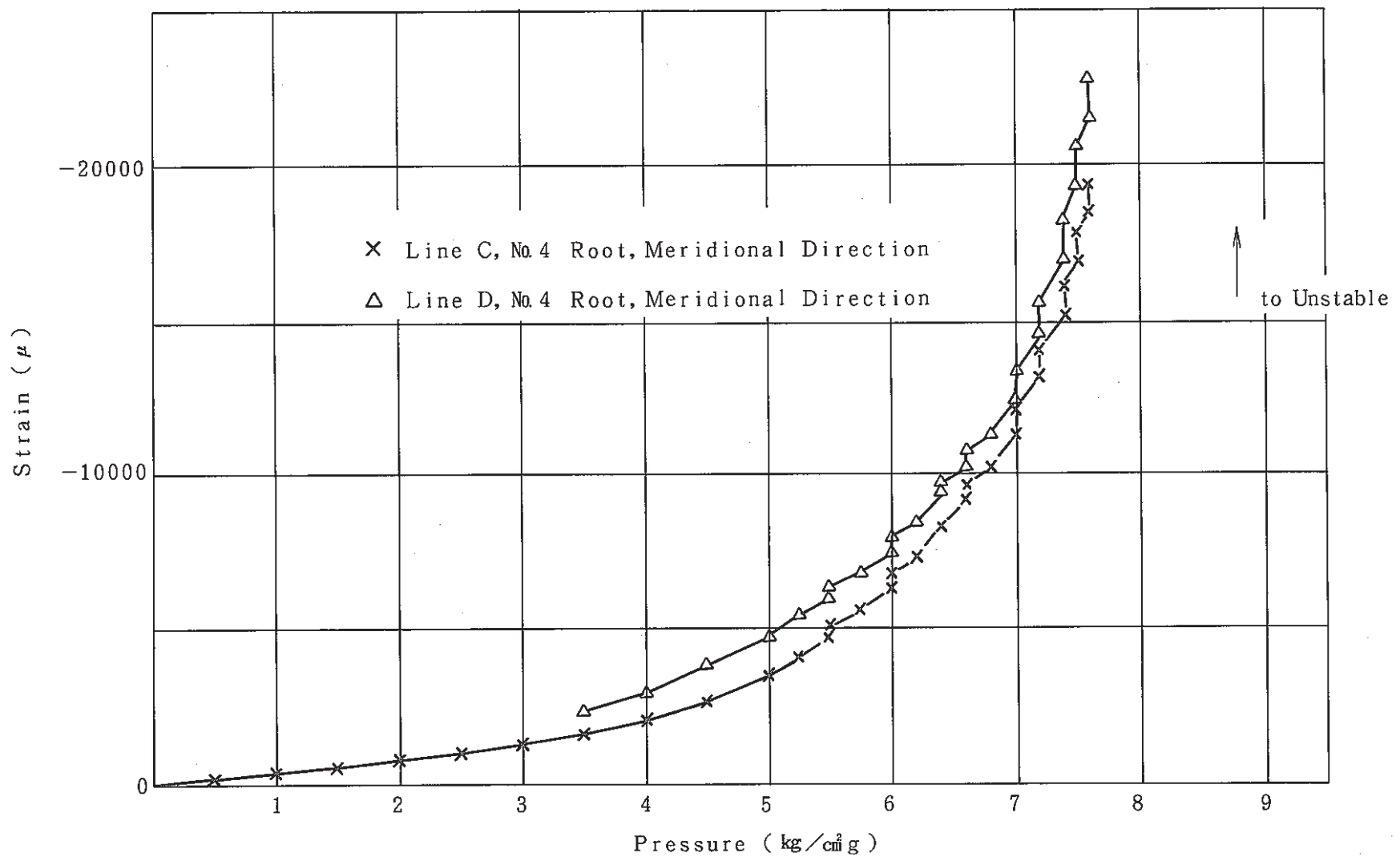


Fig. 4-8 Strains VS Pressure (BB12-1-2)

ひずみと圧力の関係 (BB12-1-2)

- 07

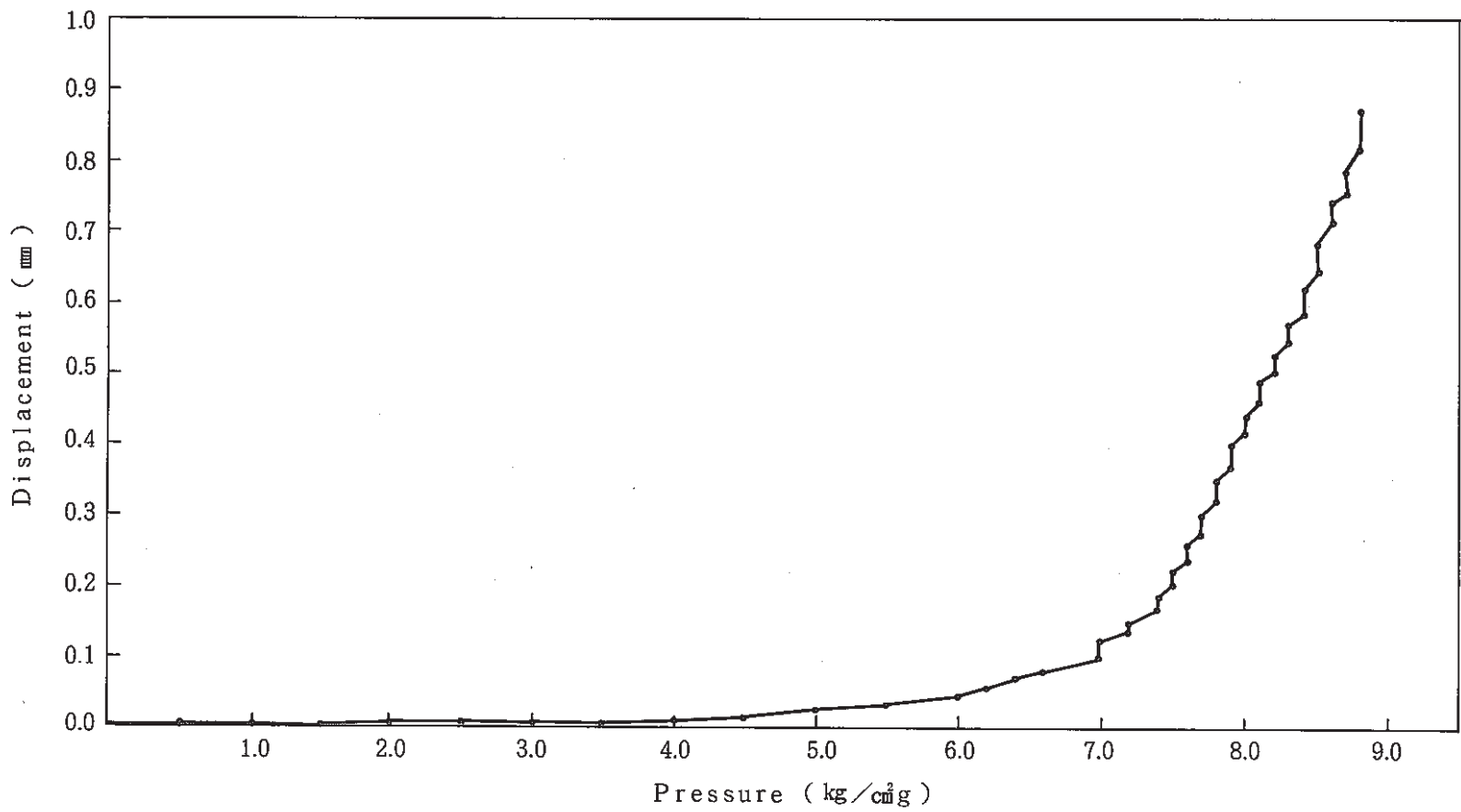
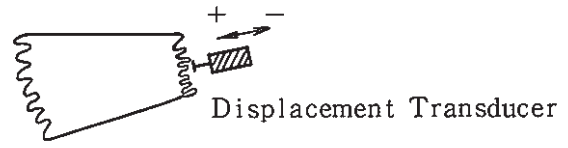
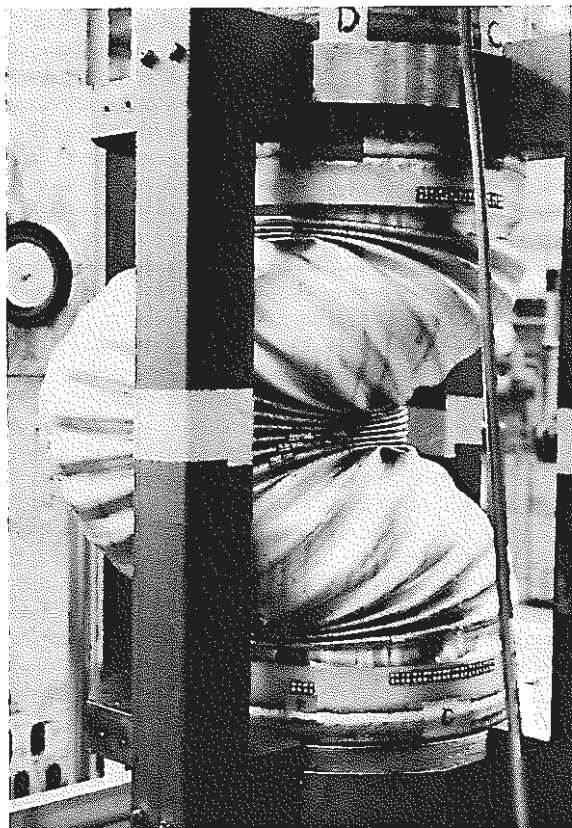
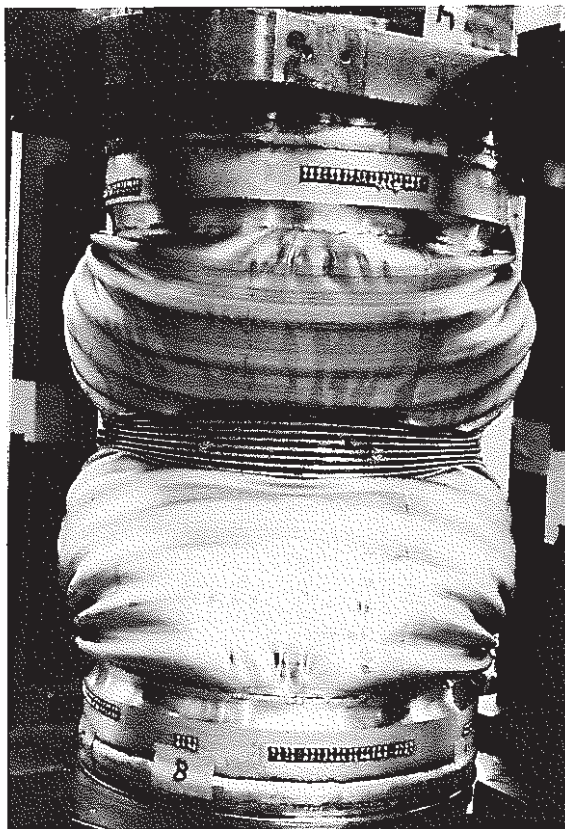


Fig. 4-9 Lateral Displacement VS Pressure (BB12-1-2)  
変位と圧力の関係 (BB12-1-2)

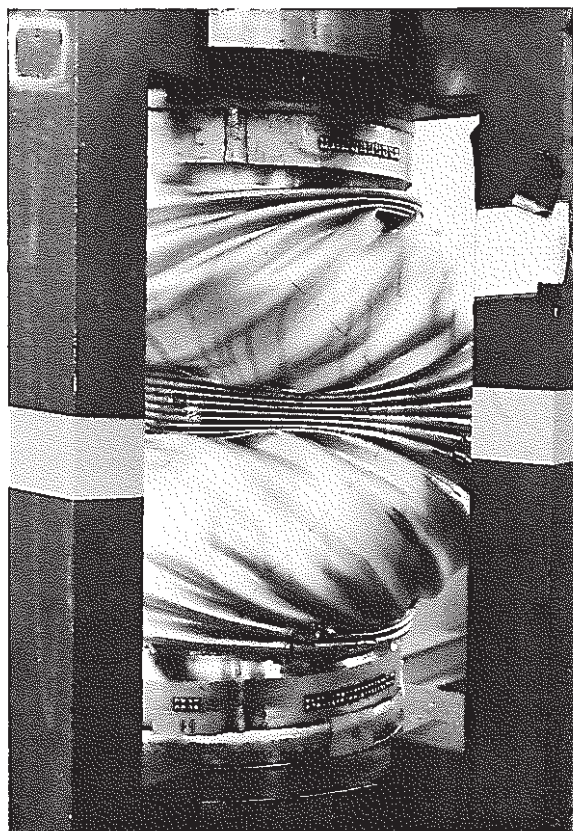




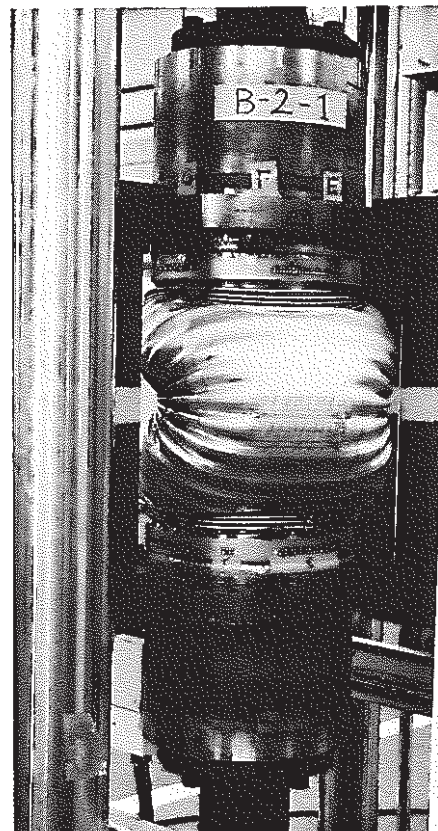
( a )



( b )



( c )



( d )

Fig. 4-10 Deformation Mode (BB12-2-1)  
座屈モード (BB12-2-1)

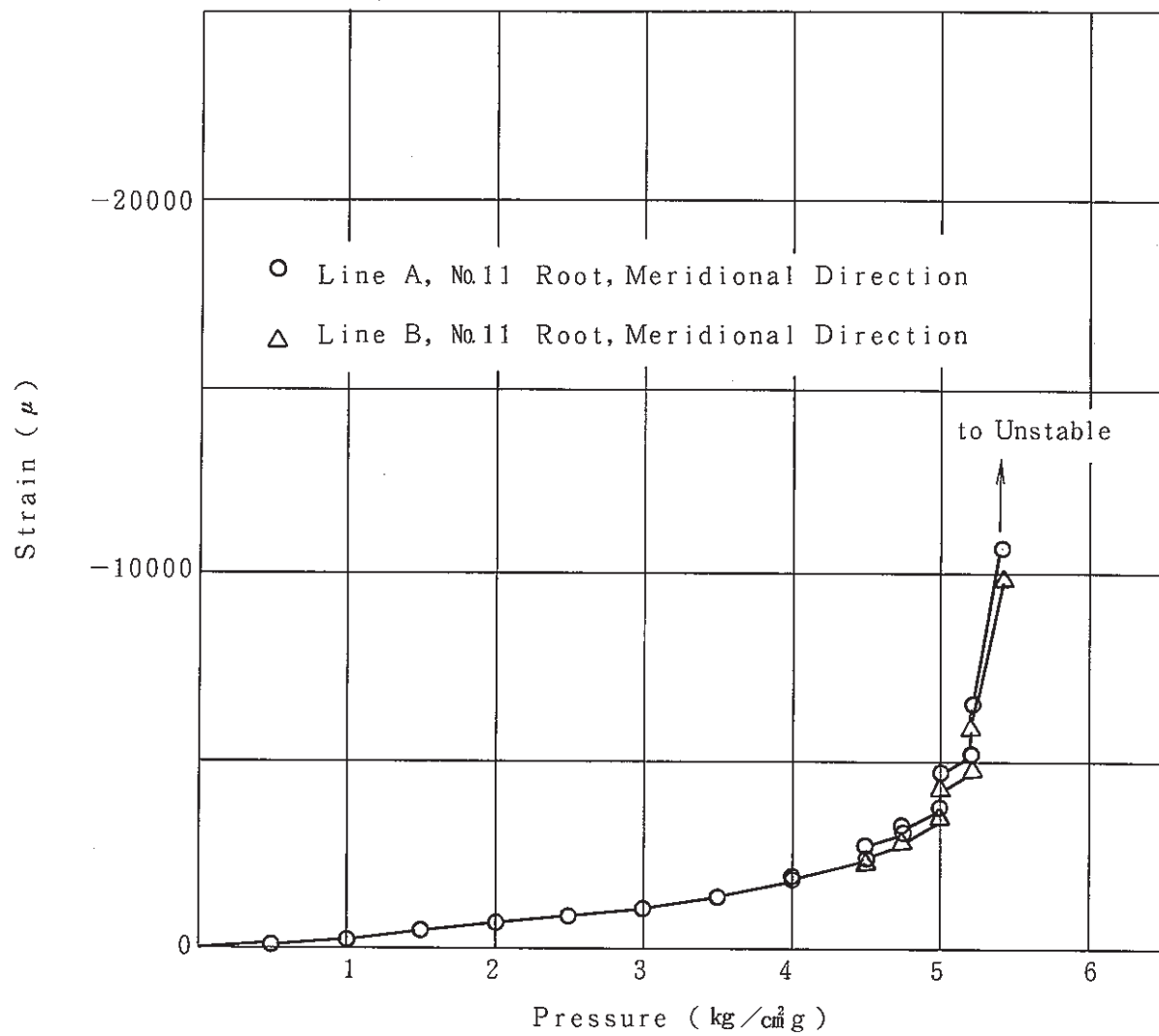
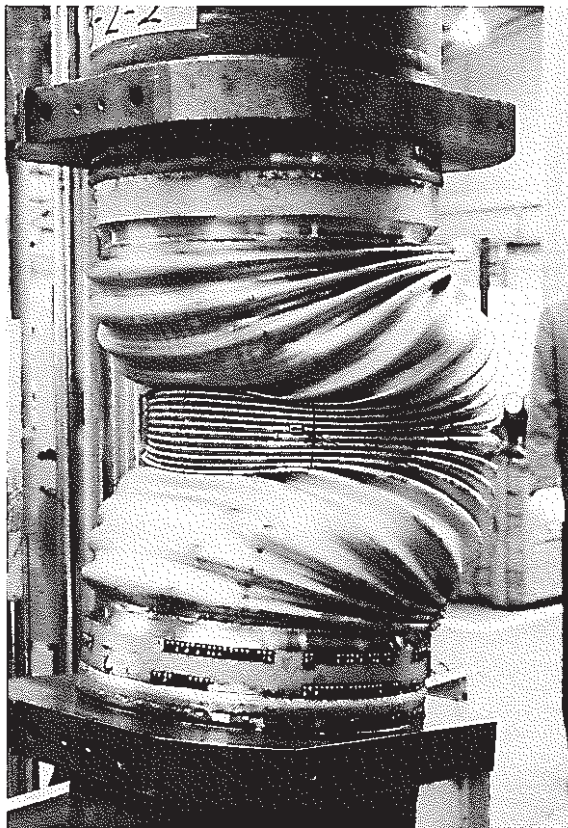
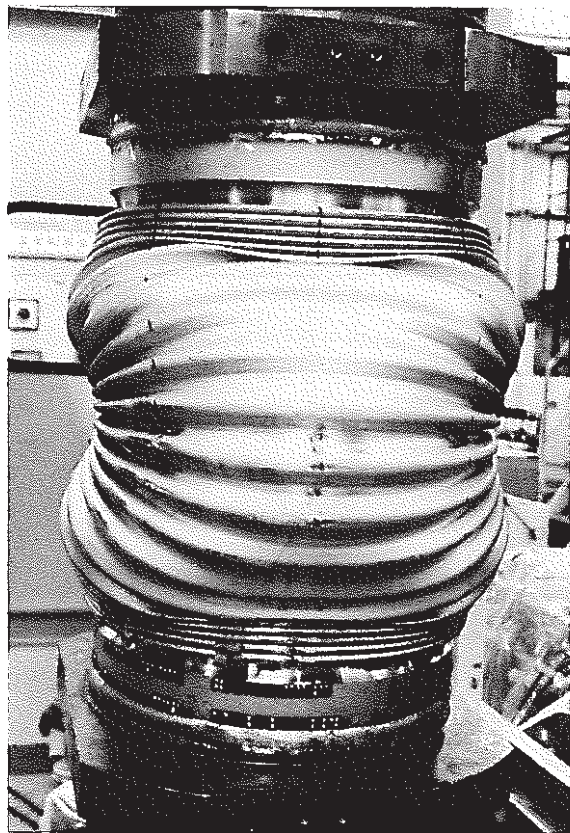


Fig. 4-11 Strains VS Pressure (BB12-2-1)

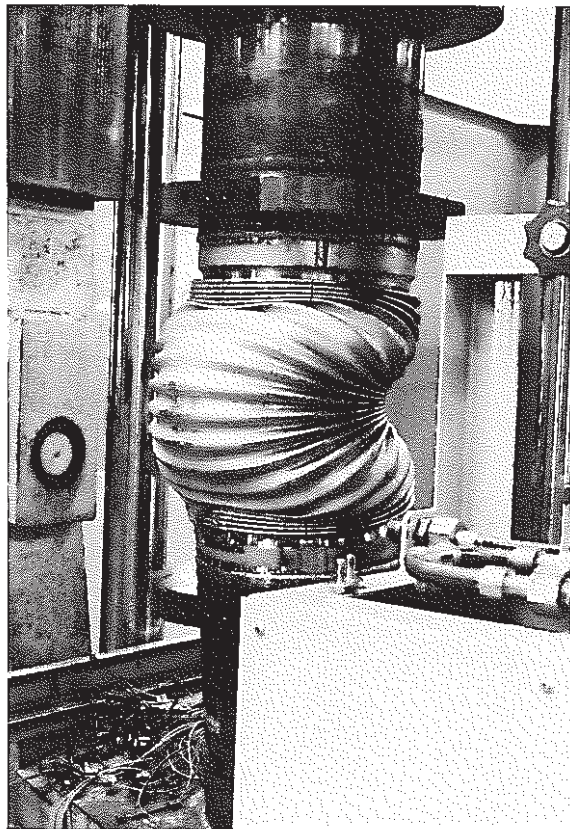
ひずみと圧力の関係 (BB12-2-1)



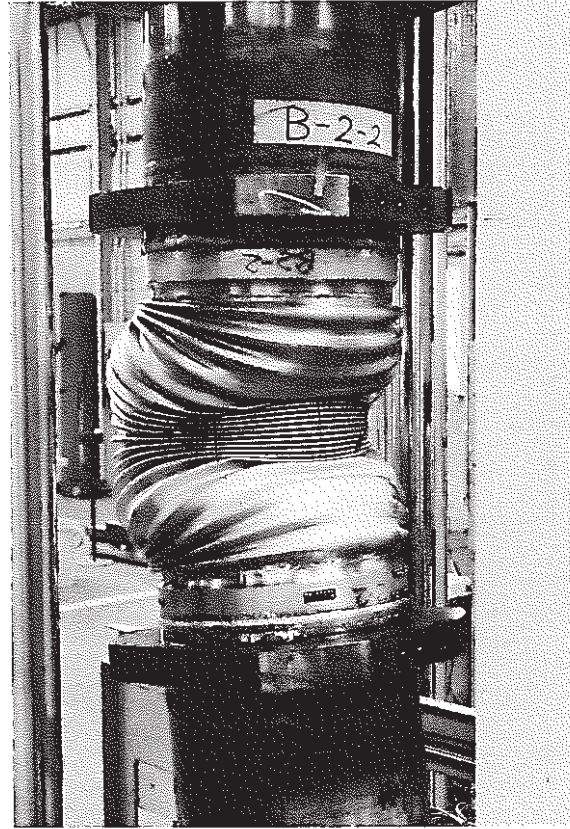
( a )



( b )



( c )



( d )

Fig. 4-12 Deformation Mode (BB12-2-2)  
座屈モード (BB12-2-2)

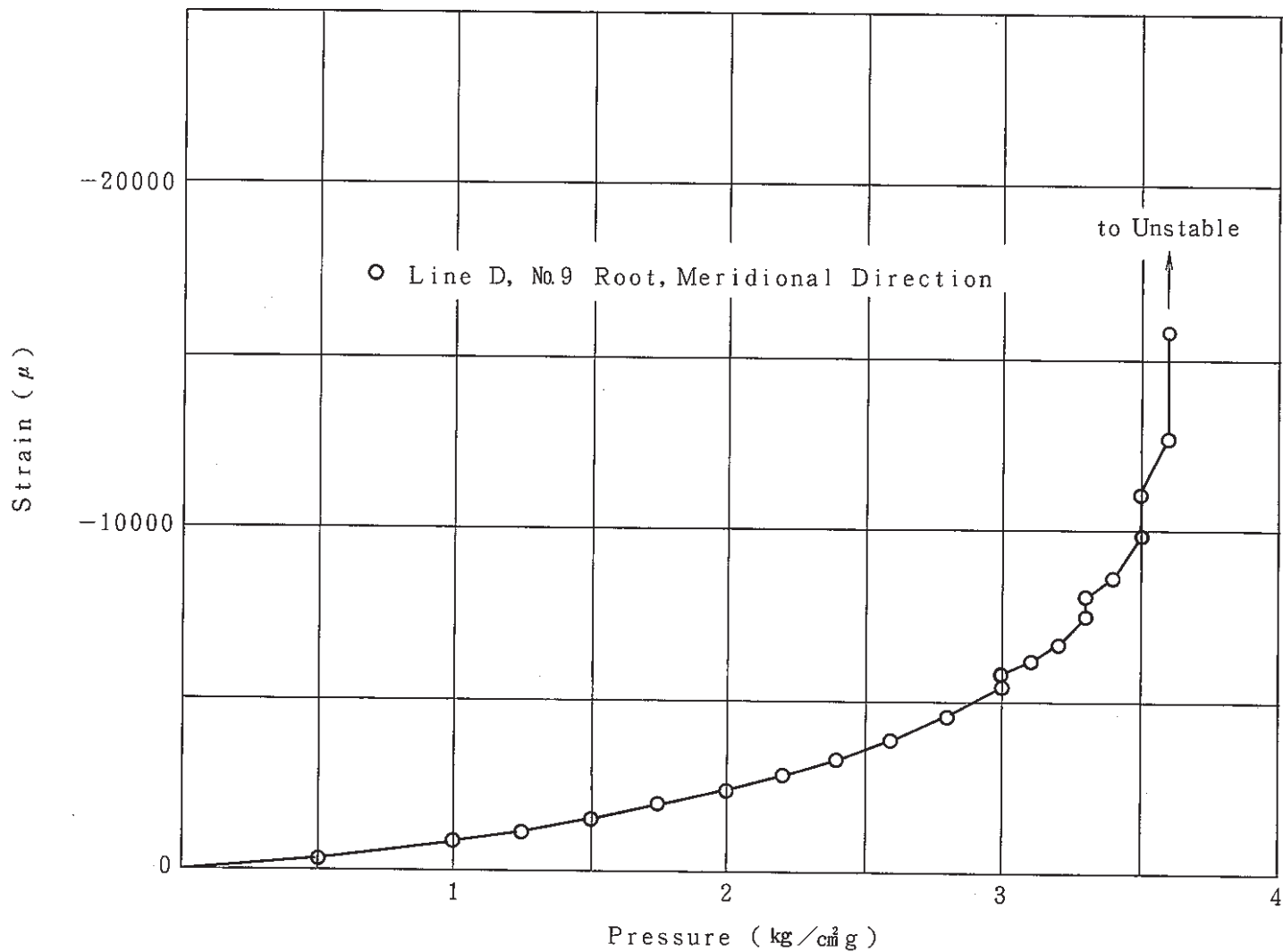


Fig. 4-13 Strain VS Pressure (BB12-2-2)

ひずみと圧力の関係 (BB12-2-2)

- 7 -

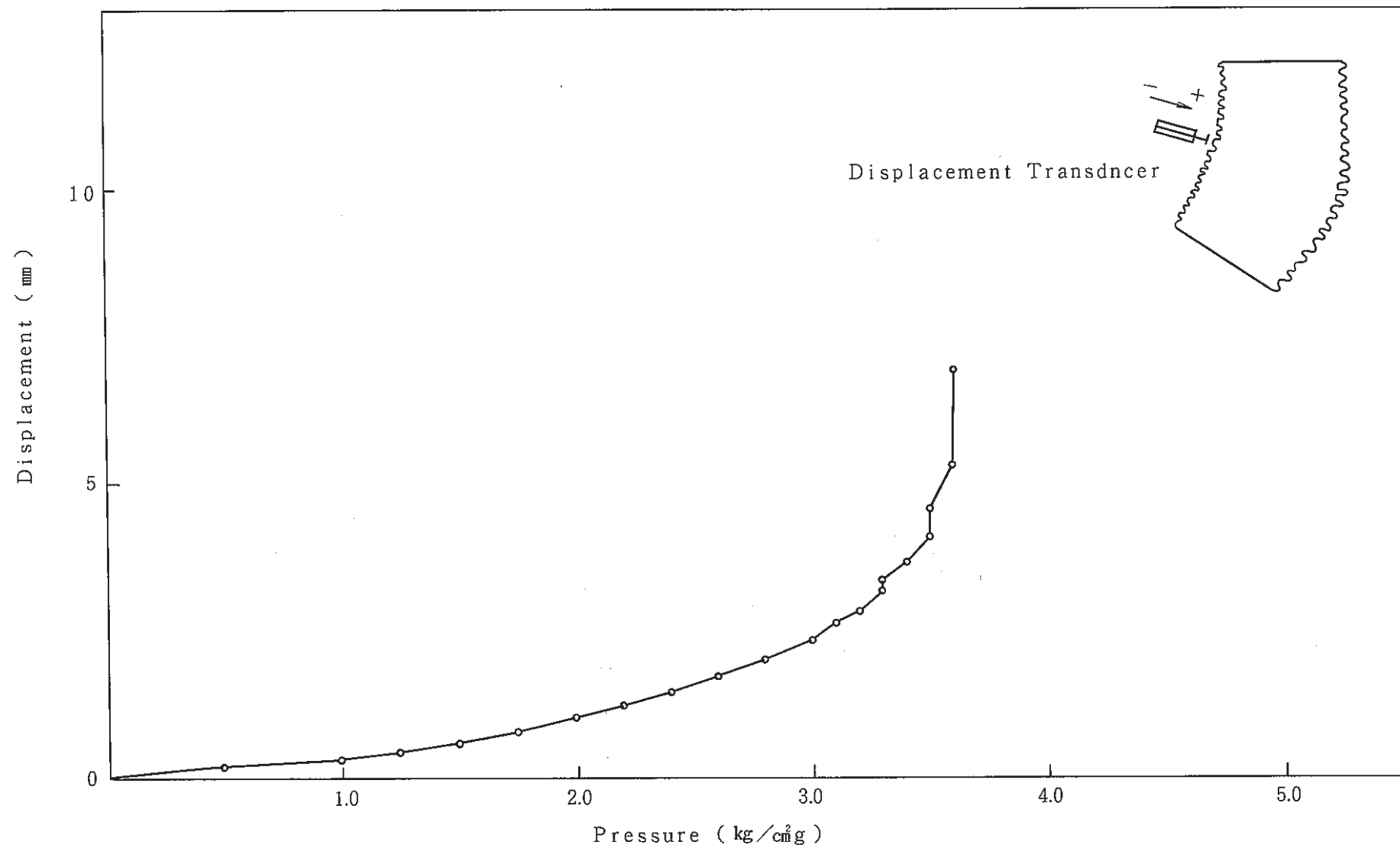
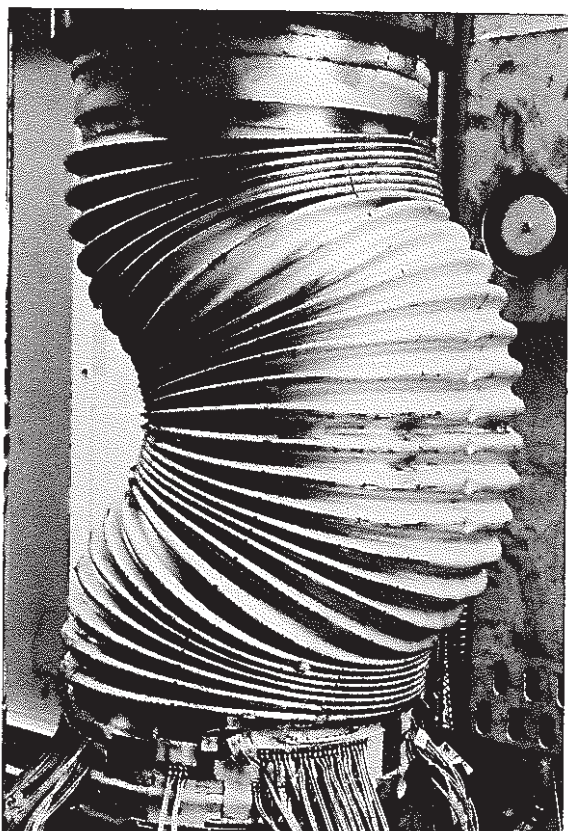
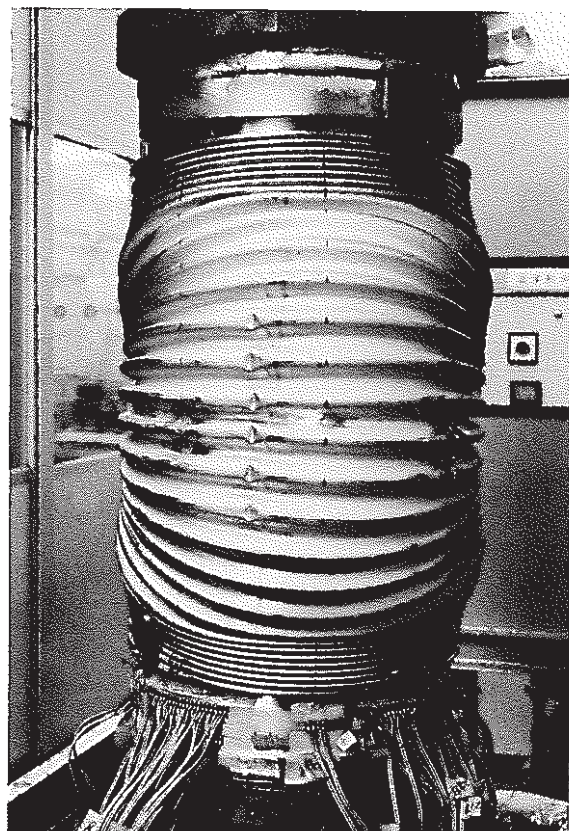


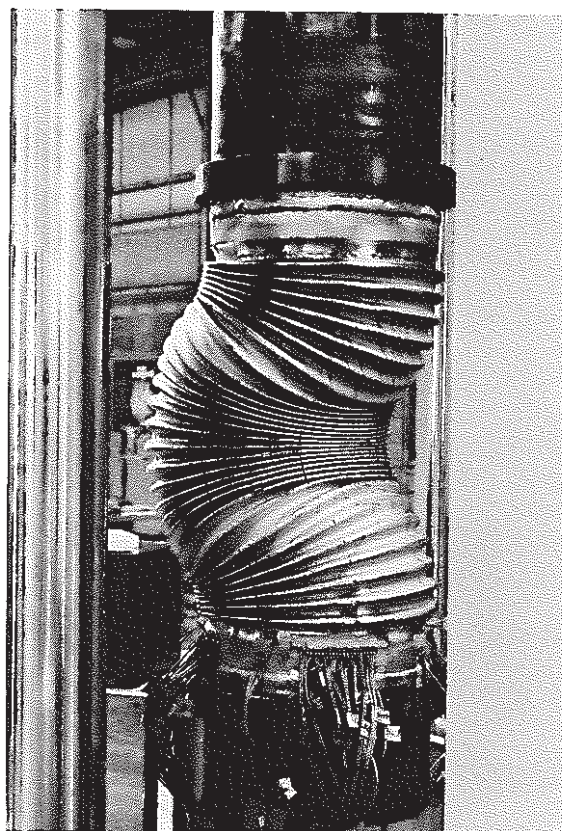
Fig. 4-14 Lateral Displacement VS Pressure (BB12-2-2)  
変位と圧力の関係 (BB12-2-2)



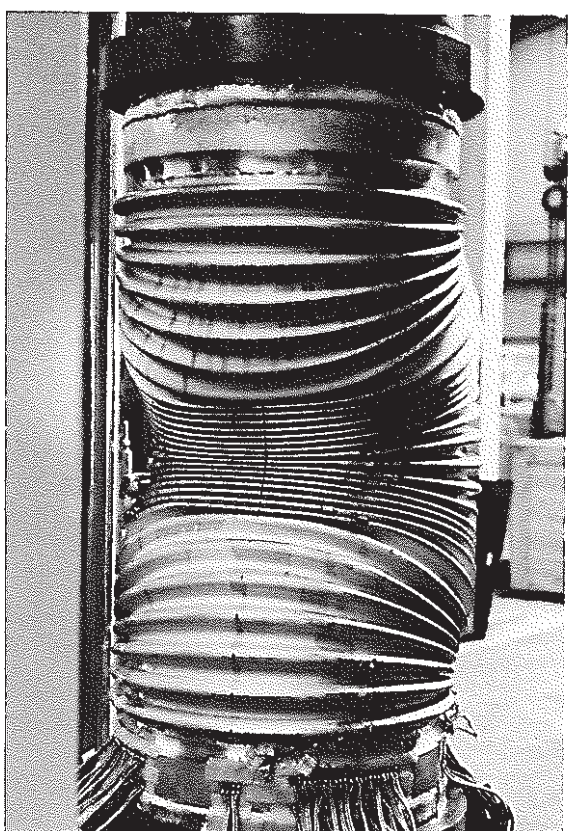
( a )



( b )



( c )



( d )

Fig. 4-15 Deformation Mode (BB12-3-1)  
座屈モード (BB12-3-1)

- 77 -

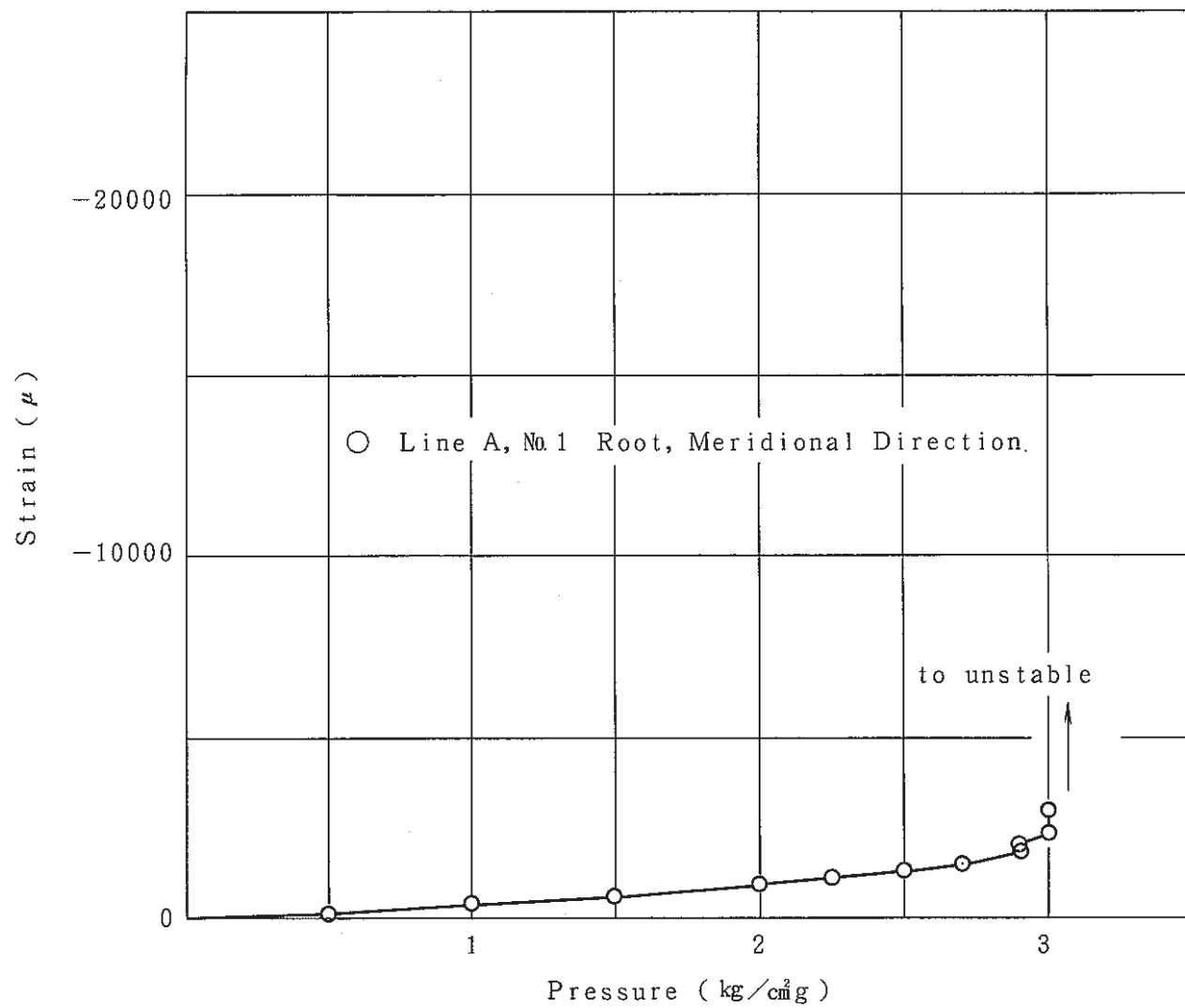
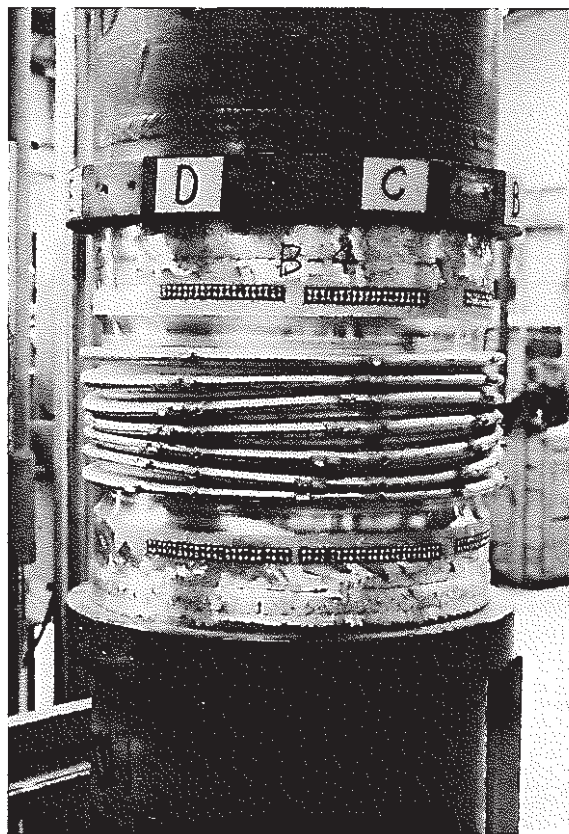
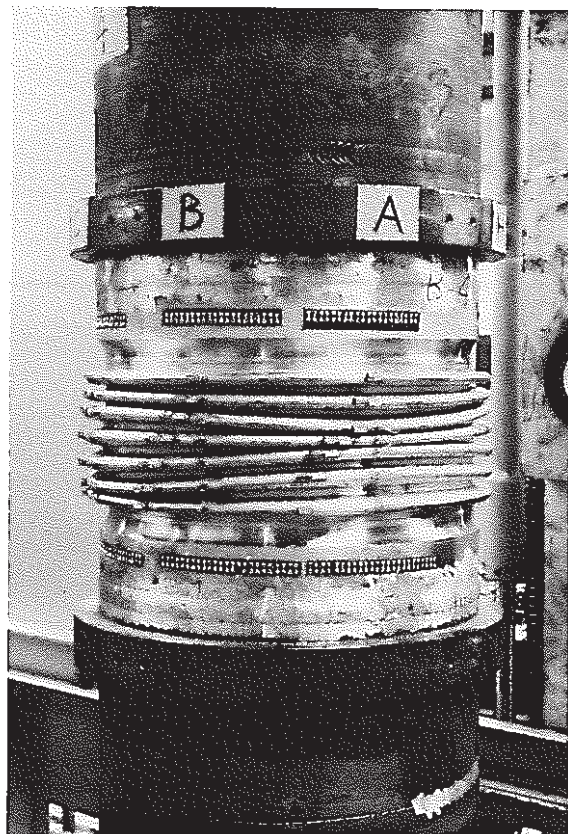


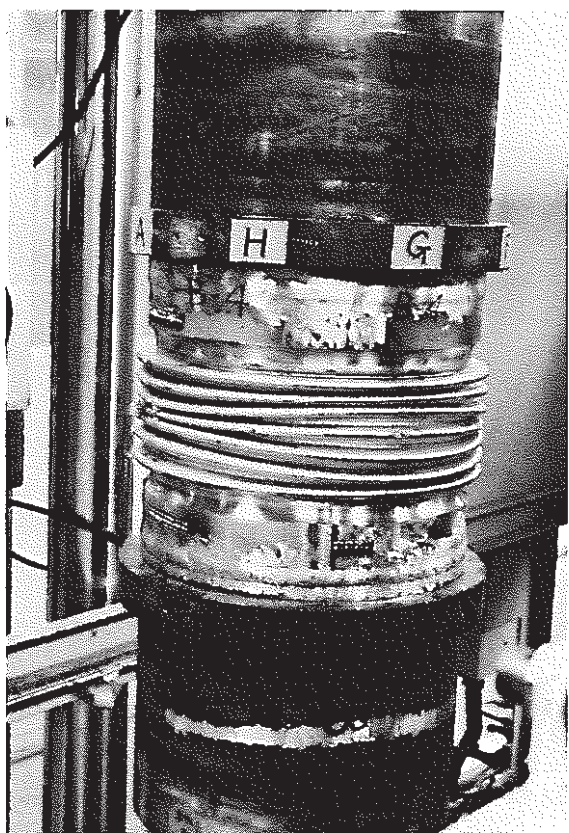
Fig. 4-16 Strain VS Pressure(BB12-3-1)  
ひずみと圧力の関係(BB12-3-1)



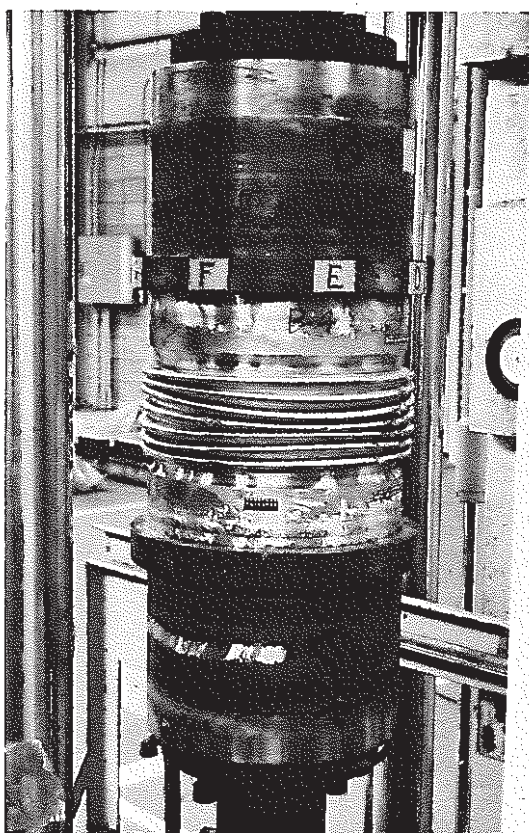
( a )



( b )



( c )



( d )

Fig. 4-17 Deformation Mode (BB12-4-1)  
座屈モード (BB12-4-1)

-79-

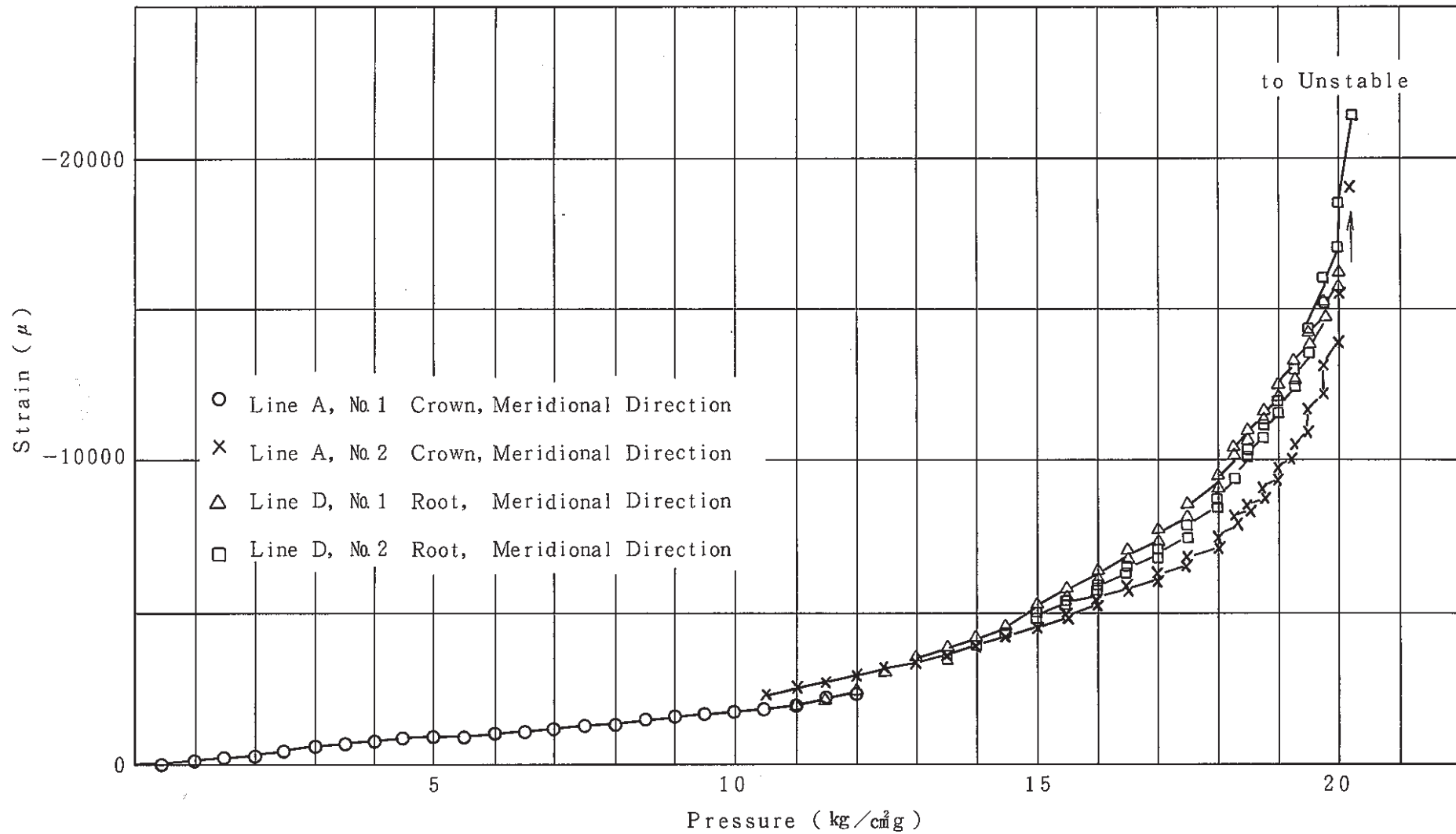
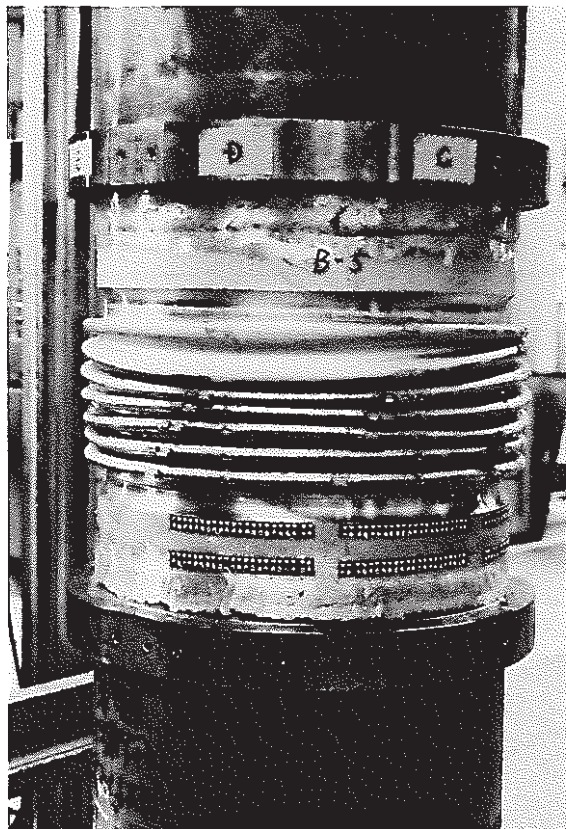
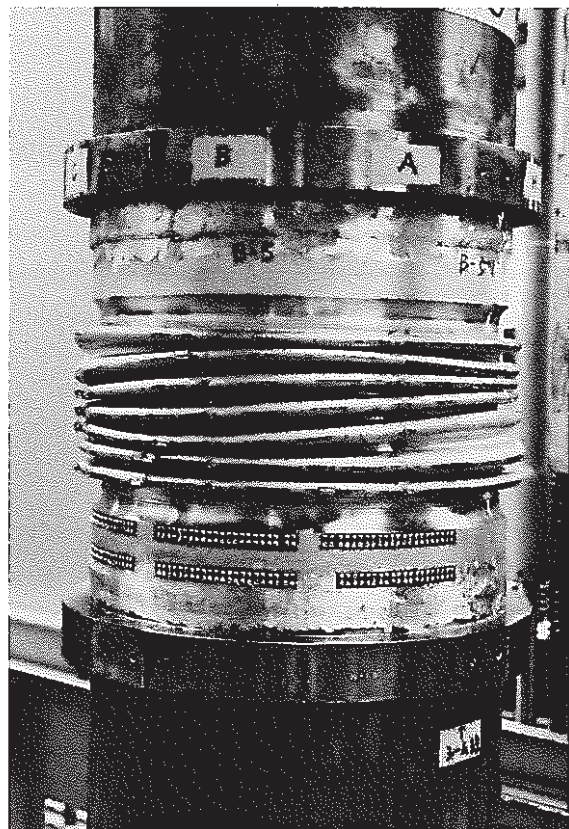


Fig. 4-18 Strains VS Pressure (BB12-4-1)

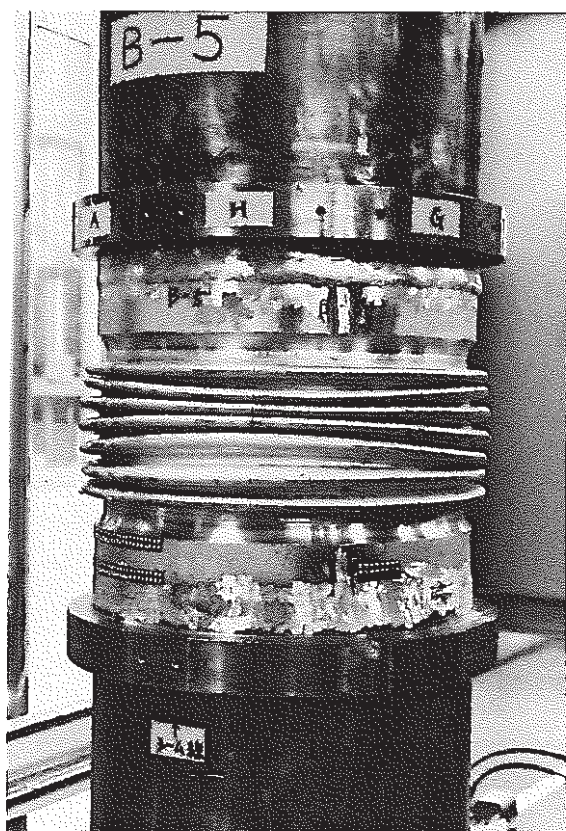
ひずみと圧力の関係 (BB12-4-1)



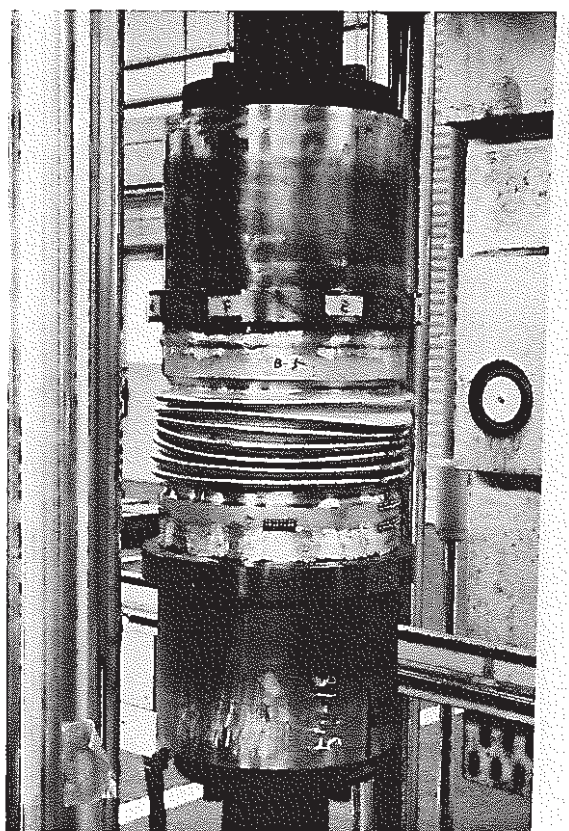
( a )



( b )



( c )



( d )

Fig. 4-19 Deformation Mode (BB12-5-1)  
座屈モード (BB12-5-1)

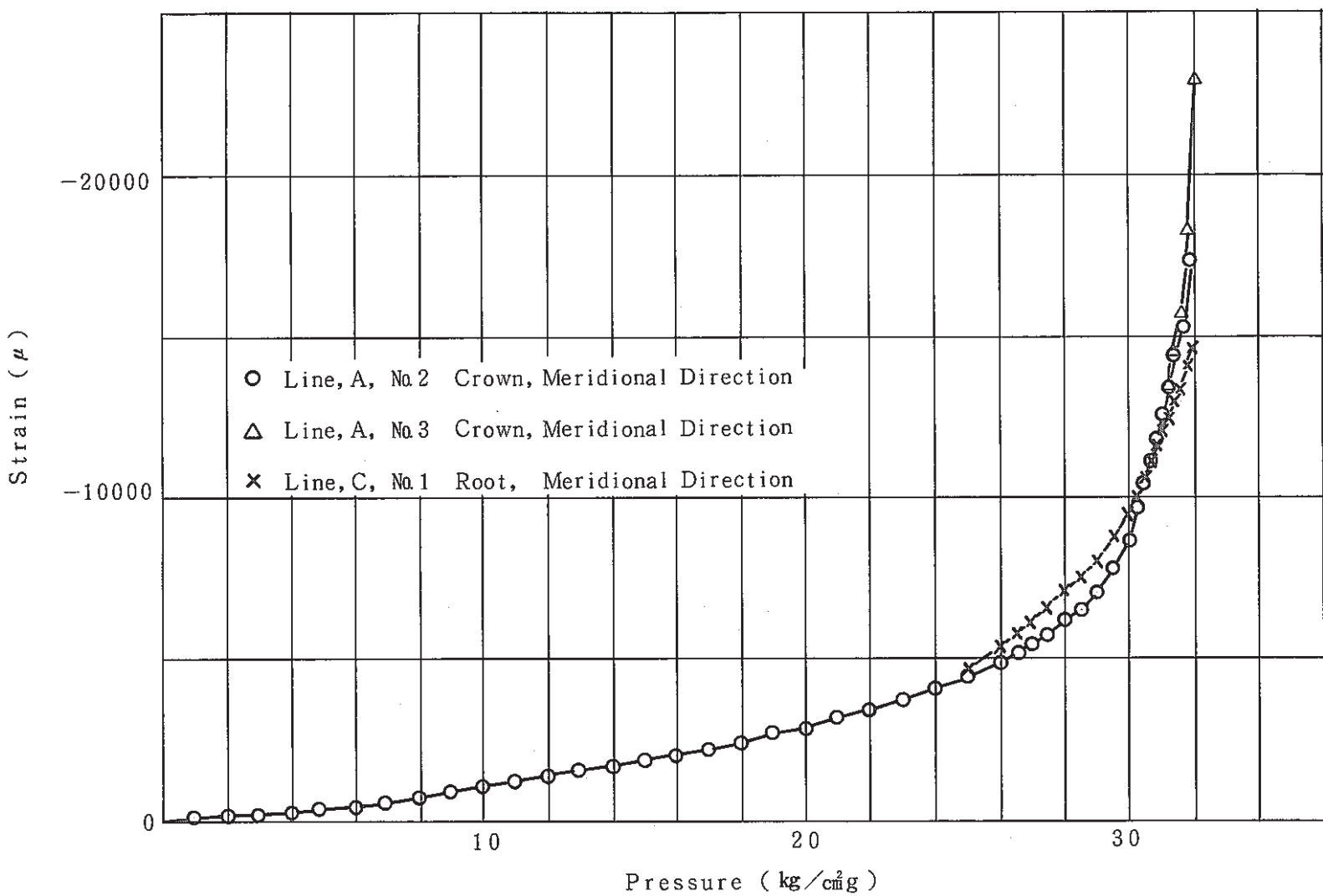


Fig. 4-20 Strains VS Pressure (BB12-5-1)

ひずみと圧力の関係 (BB12-5-1)

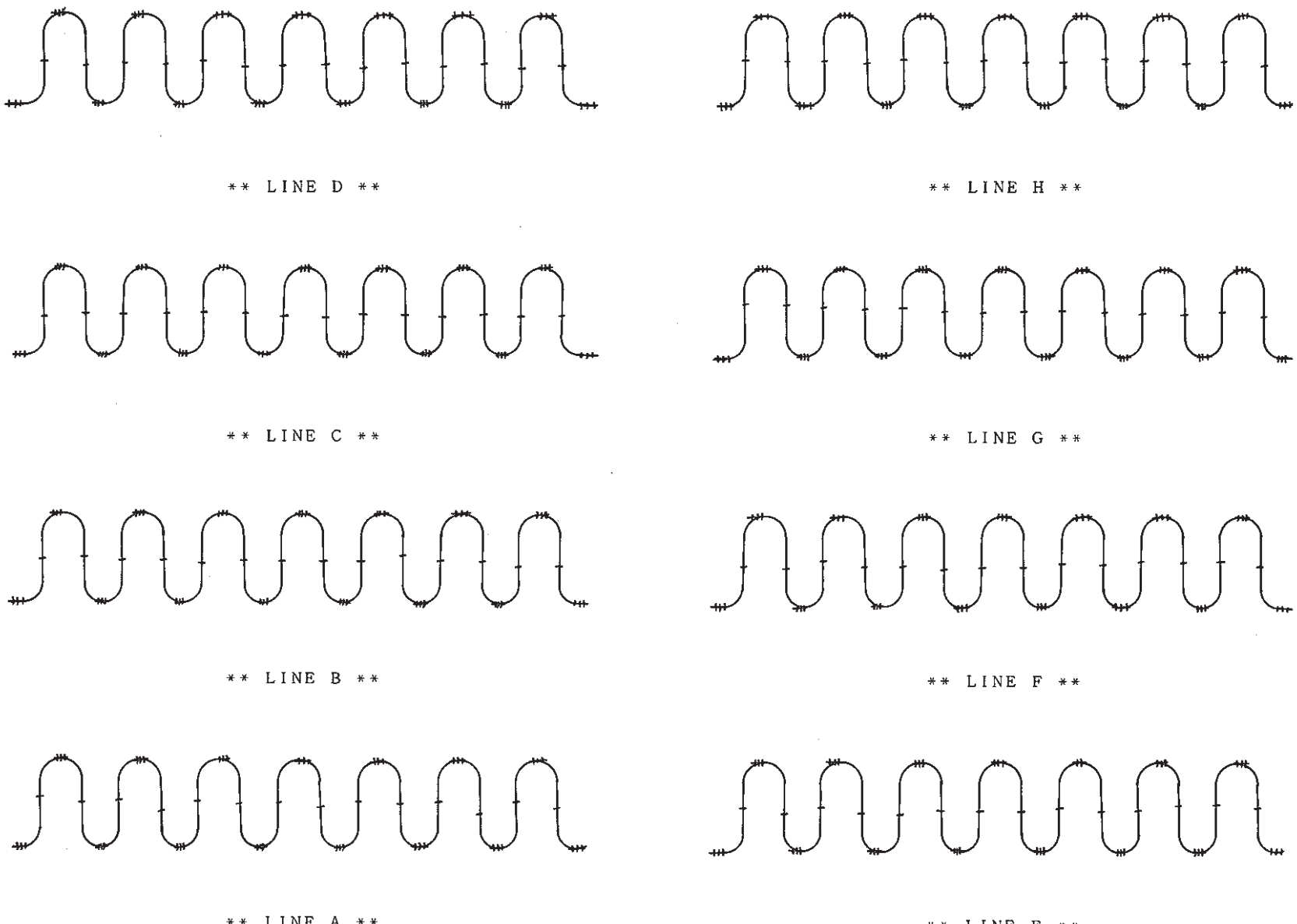


Fig. 4-21 BB12-1-1 Results of Three Dimensional Configuration Measuring (Before Test)  
BB12-1-1 形状測定結果(試験前)

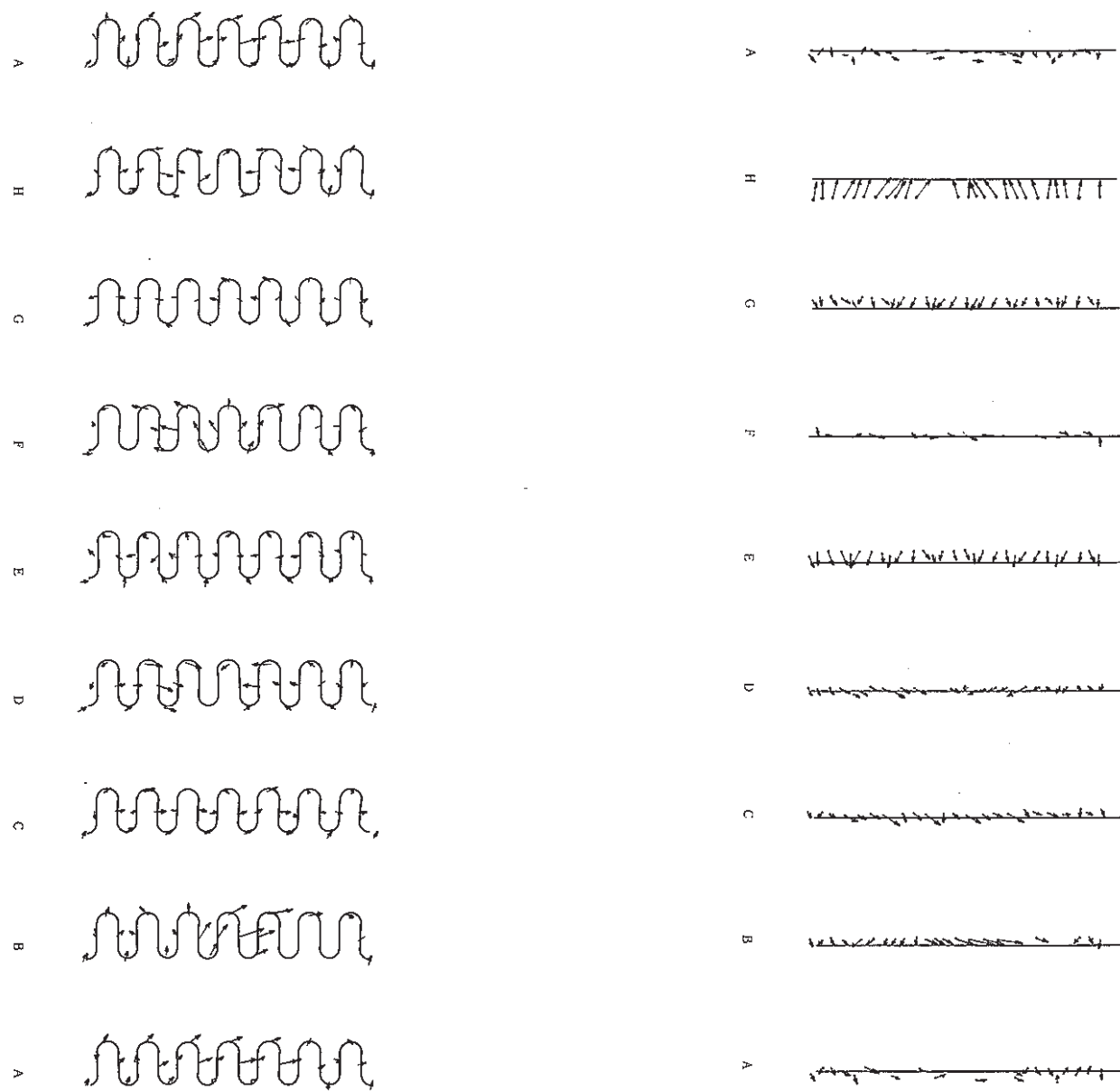
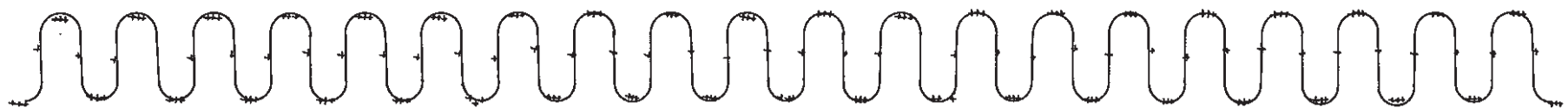
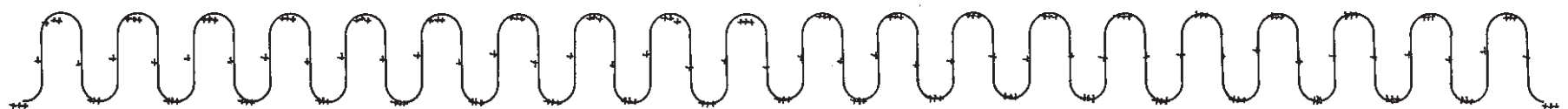


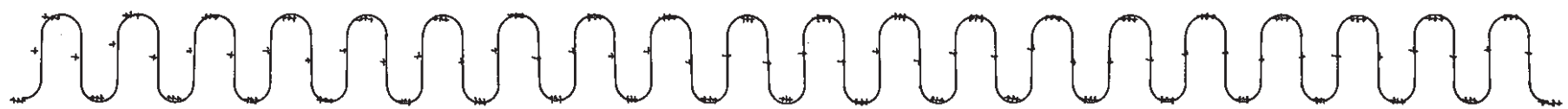
Fig. 4-22 BB12-1-1 Results of Three Dimensional Configuration Measuring (After Test)  
BB12-1-1 形状測定結果（試験後）



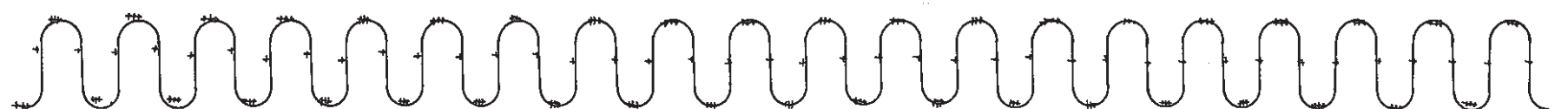
\*\* LINE D \*\*



\*\* LINE C \*\*



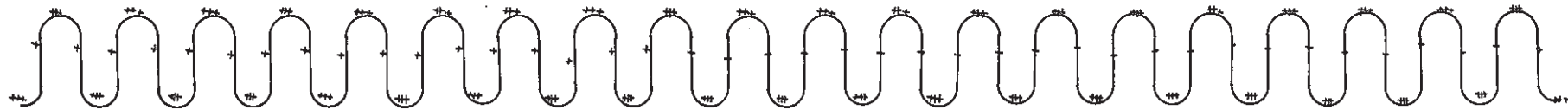
\*\* LINE B \*\*



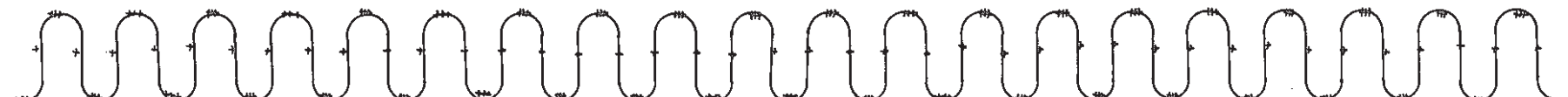
\*\* LINE A \*\*

Fig. 4-23 (1/2) BB12-2-1 Results of Three Dimensional Configuration Measuring (Before Test)  
BB12-2-1 形状測定結果（試験前）

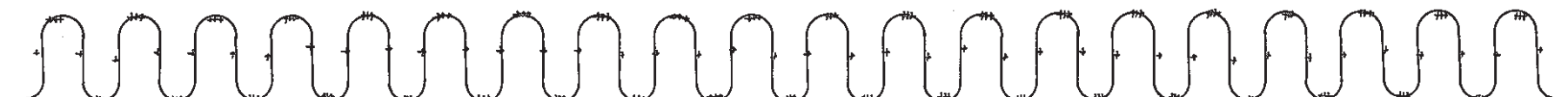
\*\* LINE H \*\*



\*\* LINE G \*\*



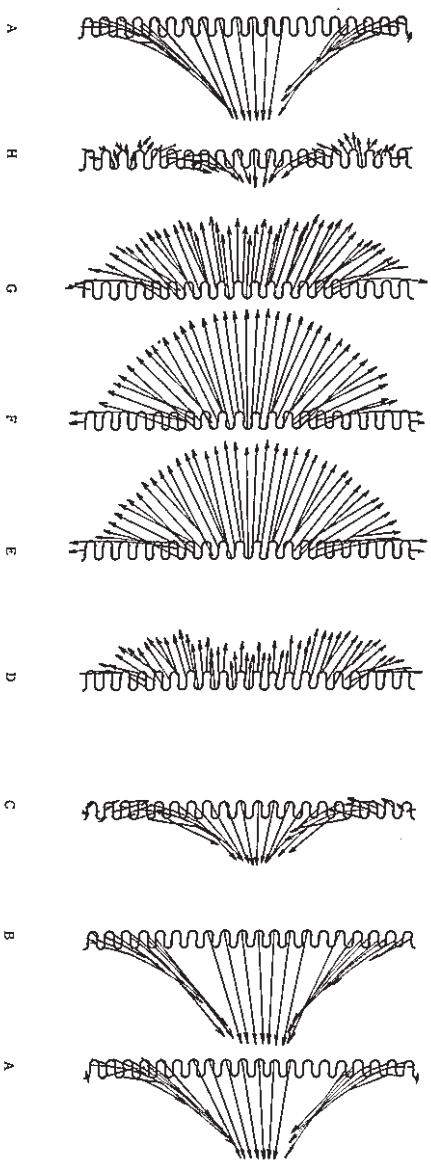
\*\* LINE F \*\*



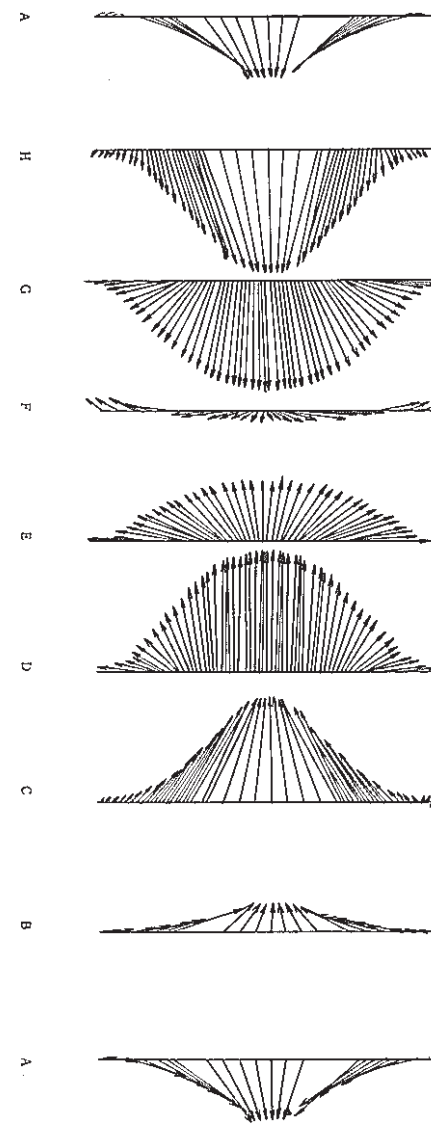
\*\* LINE E \*\*

Fig. 4-23(2/2) BB12-2-1 Results of Three Dimensional Configuration Measuring (Before Test)  
BB12-2-1 形状測定結果（試験前）

- 98 -

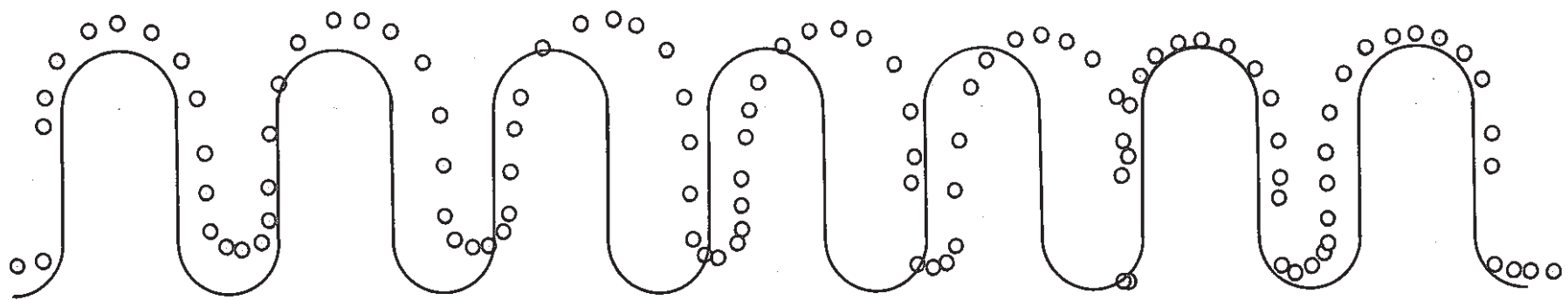


\*\*\* B-2-1 \*\*\* Axial-Meridional Direction

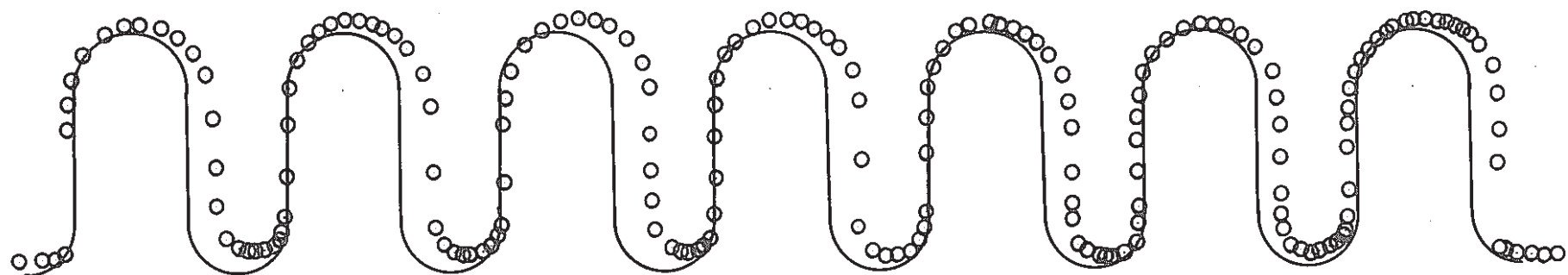


\*\*\* B-2-1 \*\*\* Axial-Circumferential Direction

Fig. 4-24 BB12-2-1 Results of Three Dimensional Configuration Measuring (After Test)  
BB12-2-1形状測定結果(試験後)



After Test



Before Test

\*\* LINE A \*\*

Fig. 4-25 BB12-1-1 Results of Detailed Three Dimensional Configuration Measuring  
BB12-1-1 詳細形状測定結果

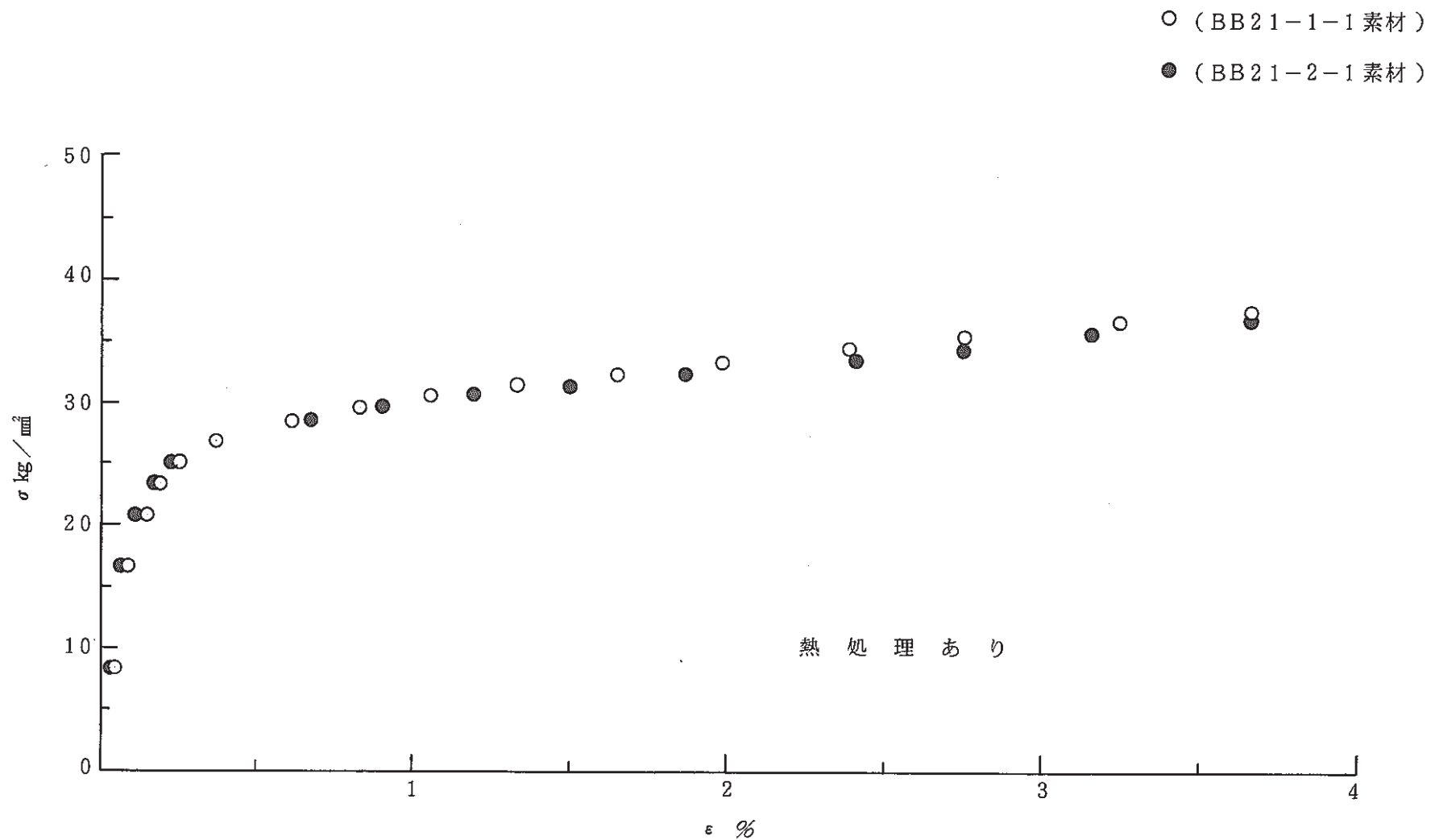


Fig. 4-26 Stress-Strain Curve of the Material (With Heat Treatment)  
ベローズ素材引張試験結果(熱処理あり)

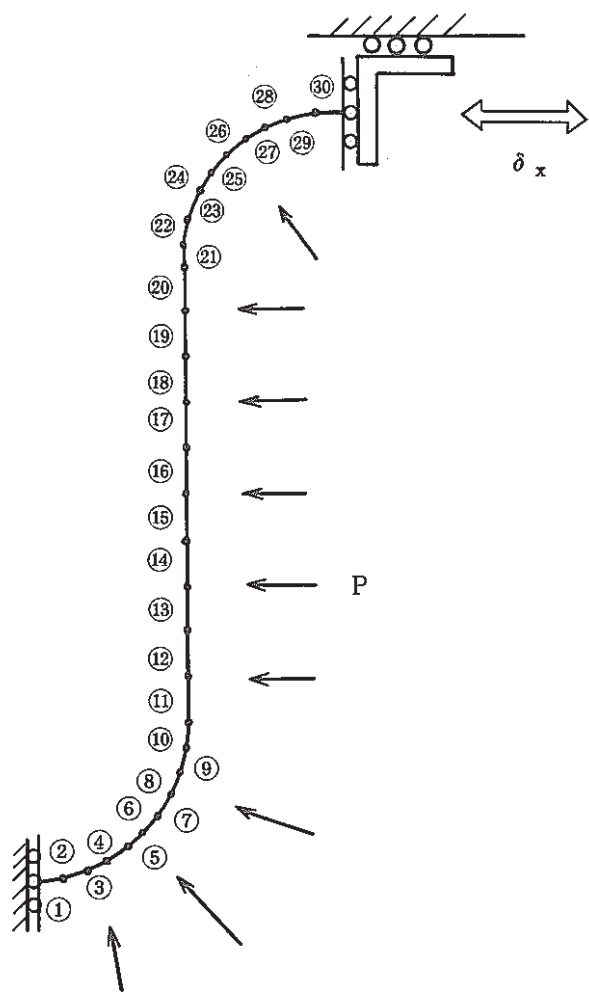


Fig. 5 - 1 Element Subdivision and Boundary Condition  
要素分割及び境界条件

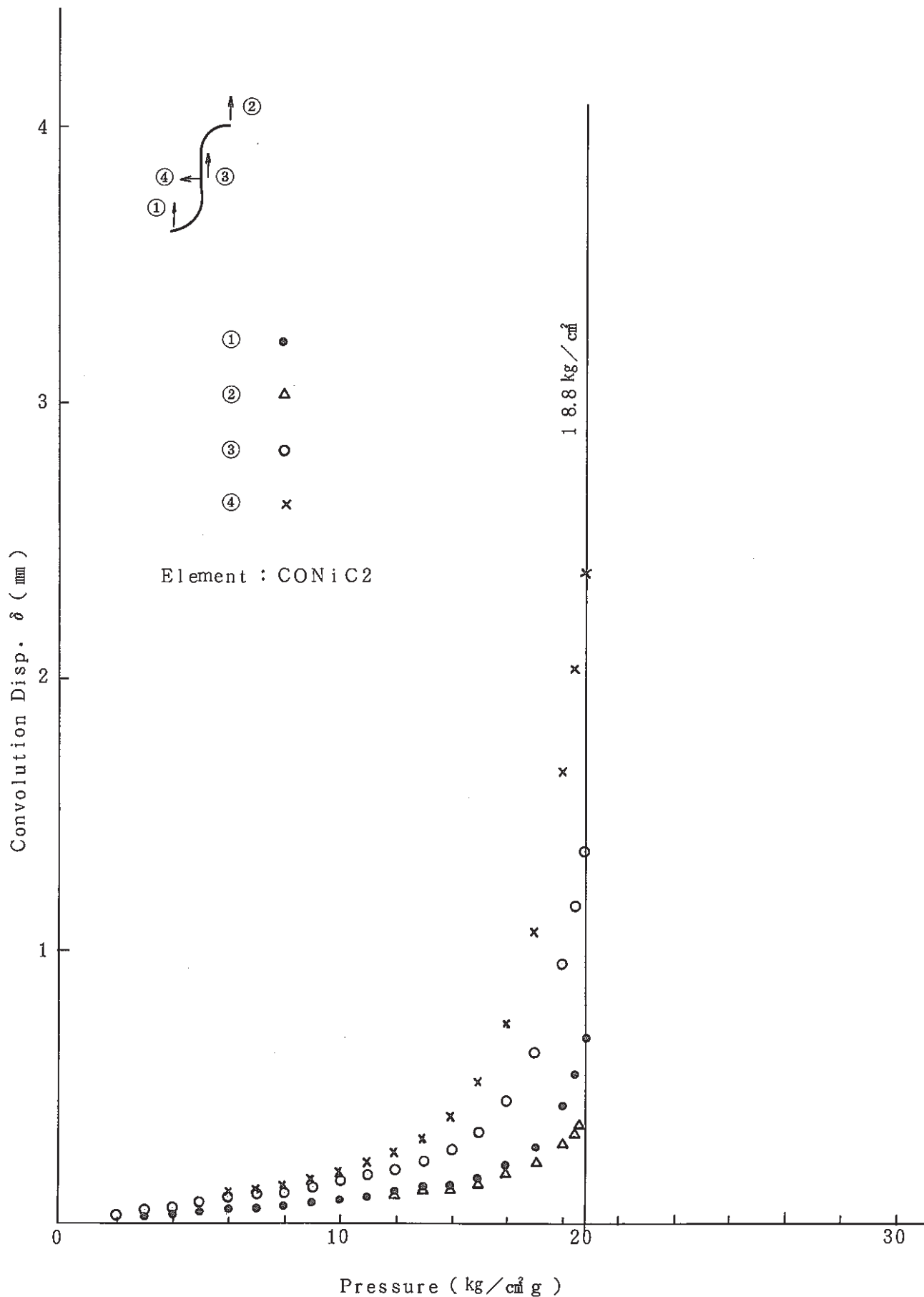


Fig. 5-2 Pressure VS Convolution Disp. (21<sup>B</sup> Bellows)

压力-コンボリューション変位関係 (21<sup>B</sup> ベローズ)

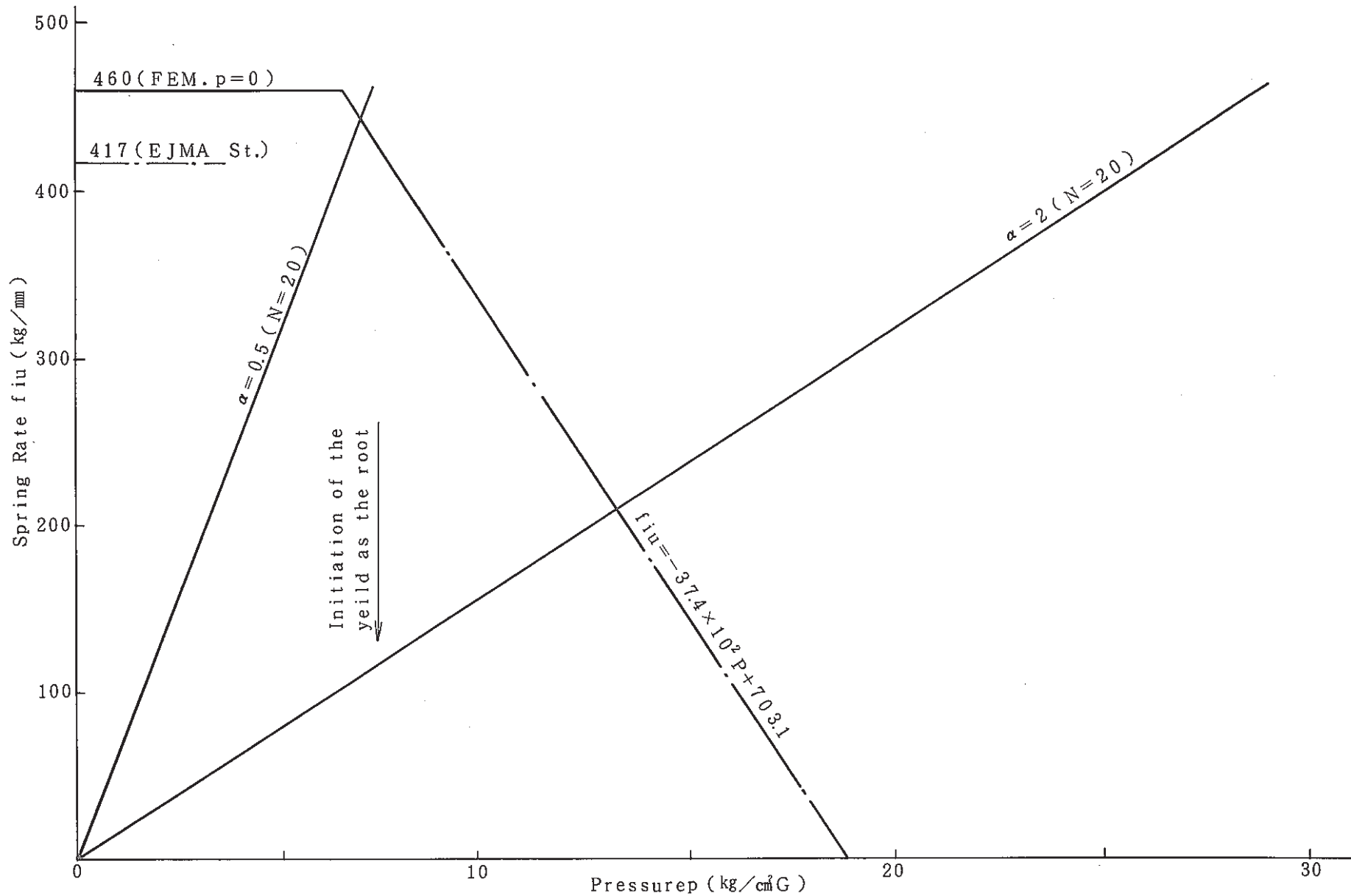


Fig. 5-3 Pressure VS Spring Rate (21<sup>B</sup> Bellows)

圧力・ばね定数関係図 (21<sup>B</sup> ベローズ)

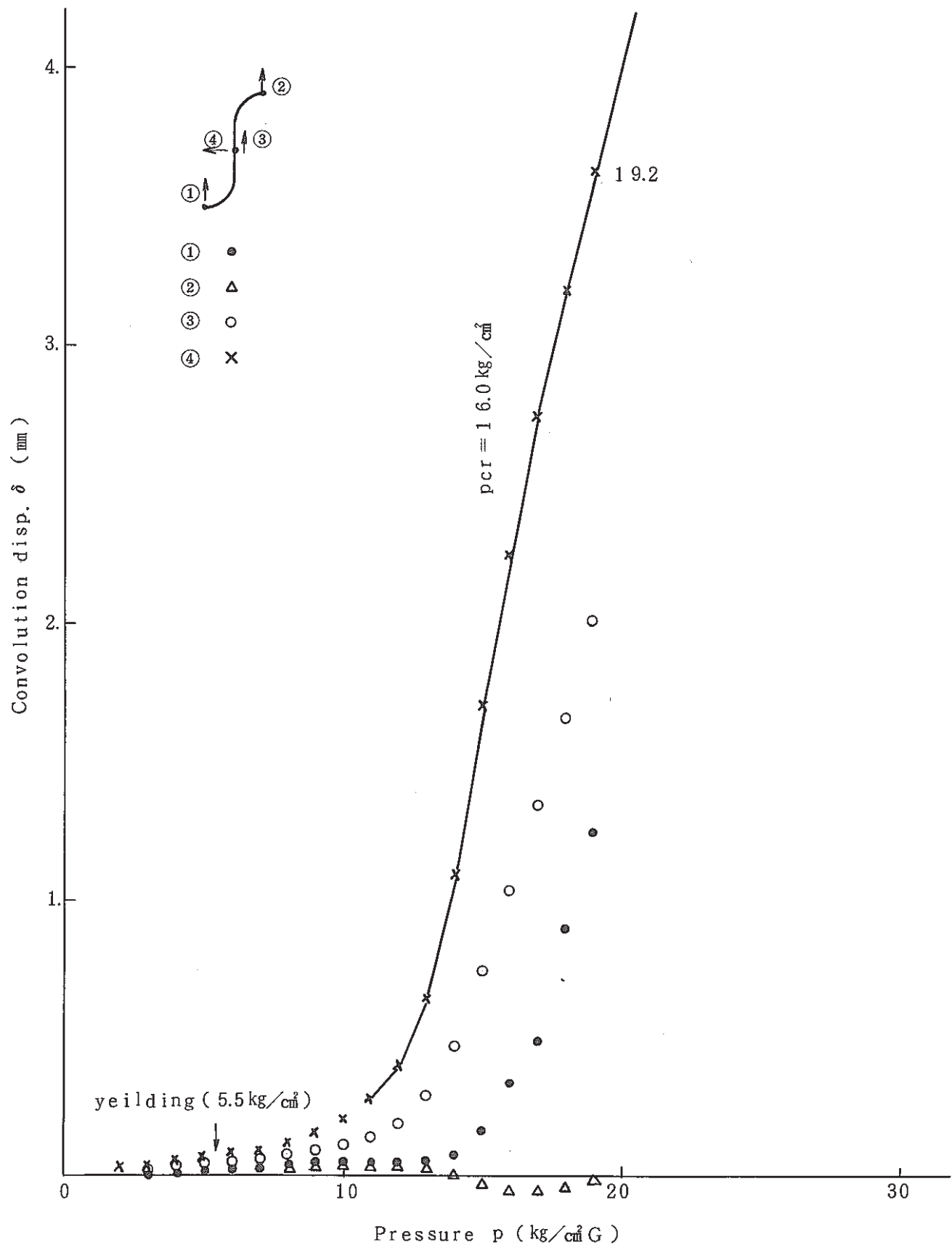


Fig. 5-4 Pressure VS Convolution disp. ( $12^B$  bellows,  $t = 0.5 \text{ mm}$ )  
圧力-変位関係図 ( $12^B$  ベローズ,  $t = 0.5 \text{ mm}$ )

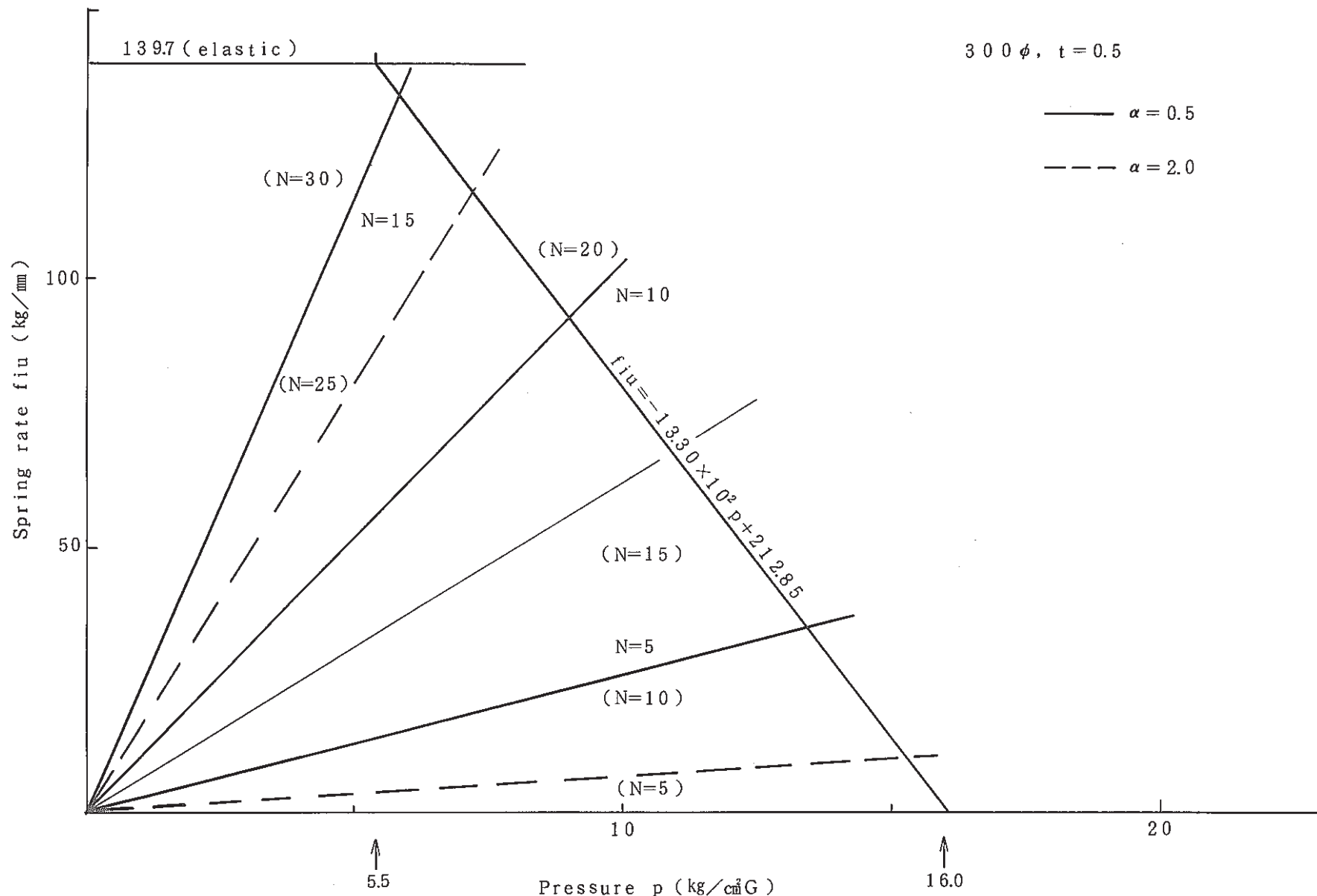


Fig. 5-5 Pressure VS Bellows Spring rate ( $12^B$  bellows,  $t = 0.5$  mm)  
圧力-ばね定数関係図 ( $12^B$  ベローズ,  $t = 0.5$  mm)

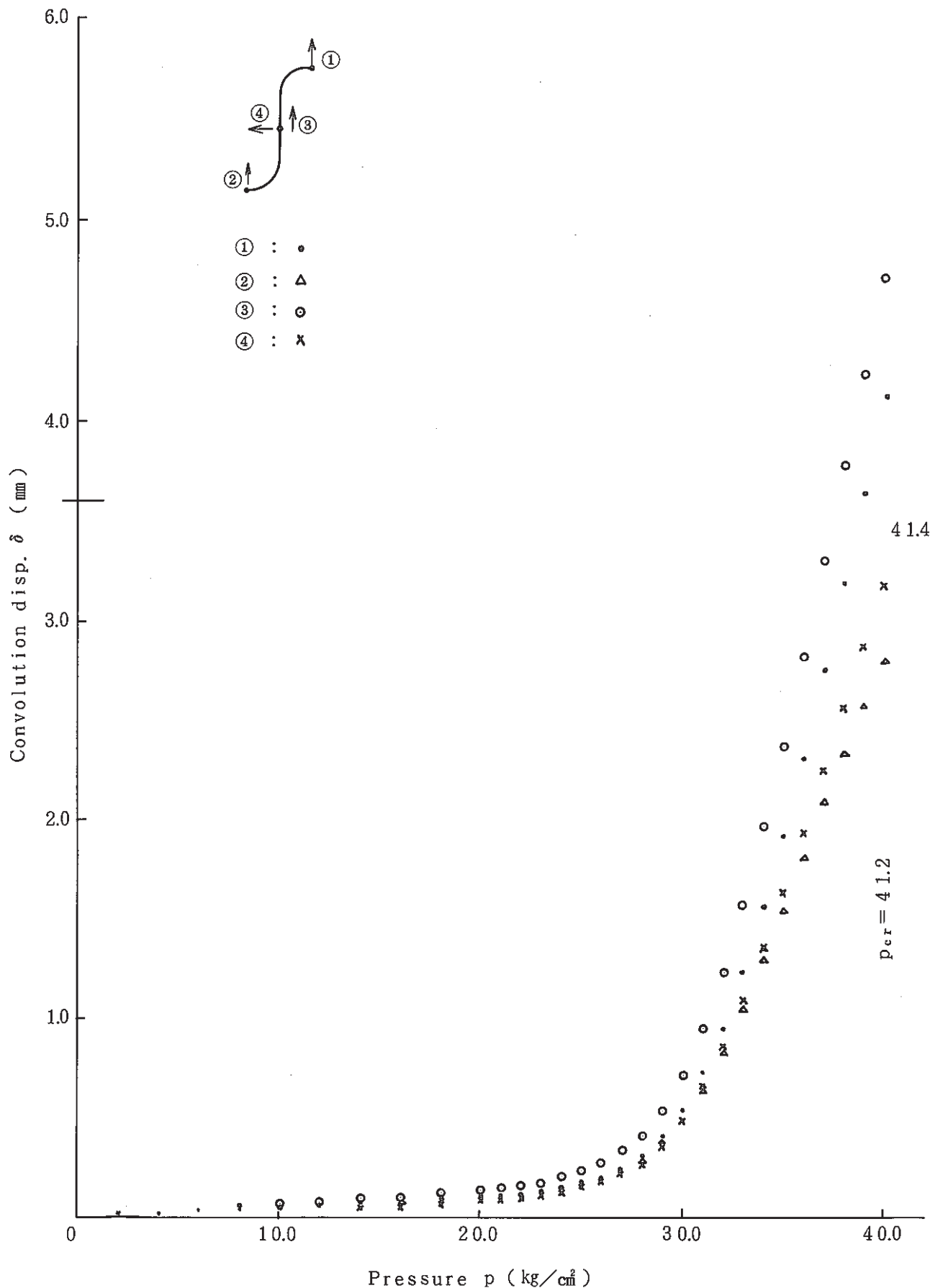


Fig. 5-6 Pressure VS Convolution disp. ( $12^B$  bellows,  $t = 0.8 \text{ mm}$ )

压力一変位関係図 ( $12^B$  ベローズ,  $t = 0.8 \text{ mm}$ )

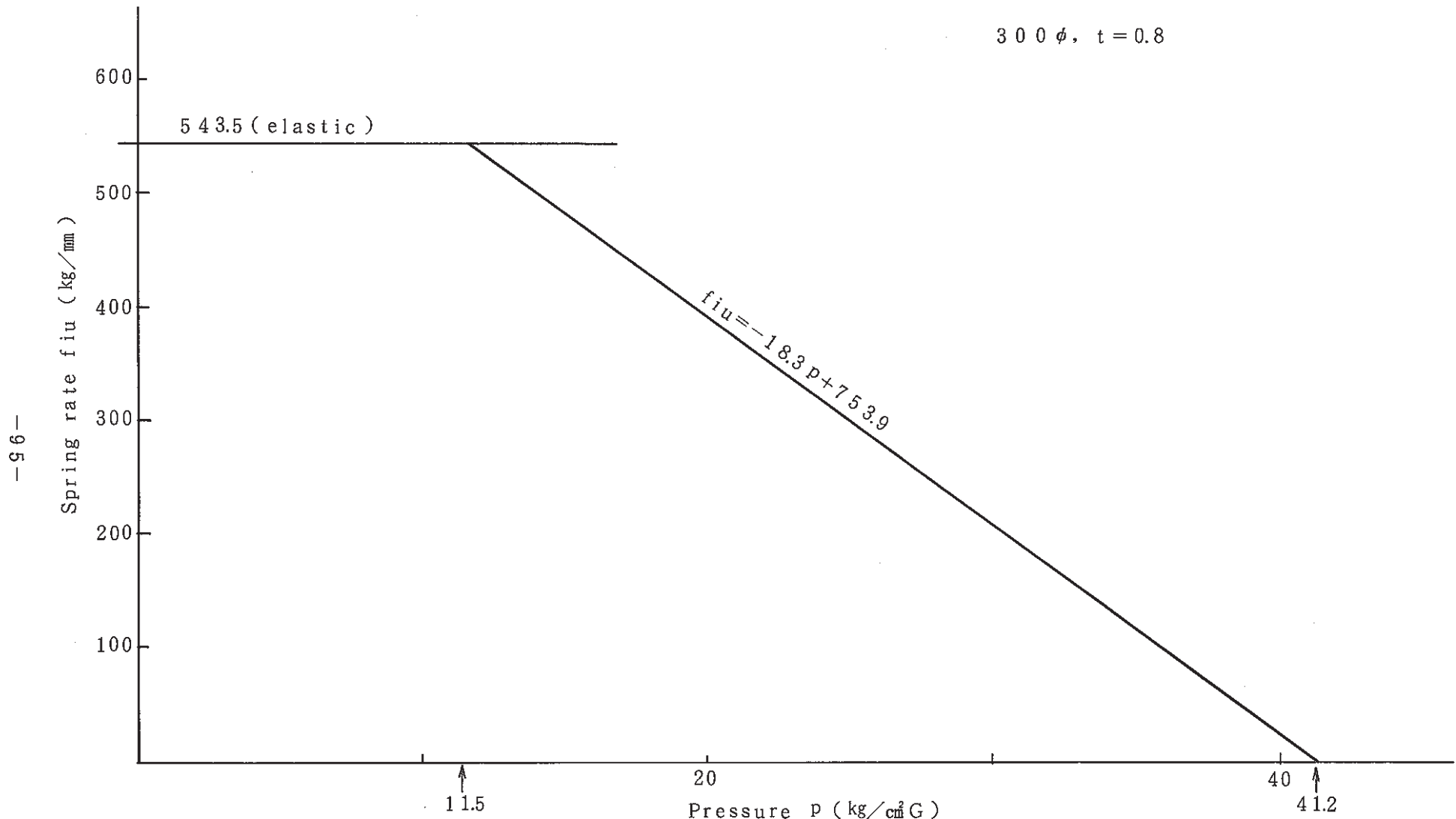


Fig. 5-7 Pressure VS Bellows Spring rate ( $12^B$  bellows,  $t = 0.8$  mm)  
 圧力-ばね定数関係図 ( $12^B$  ベローズ,  $t = 0.8$  mm)

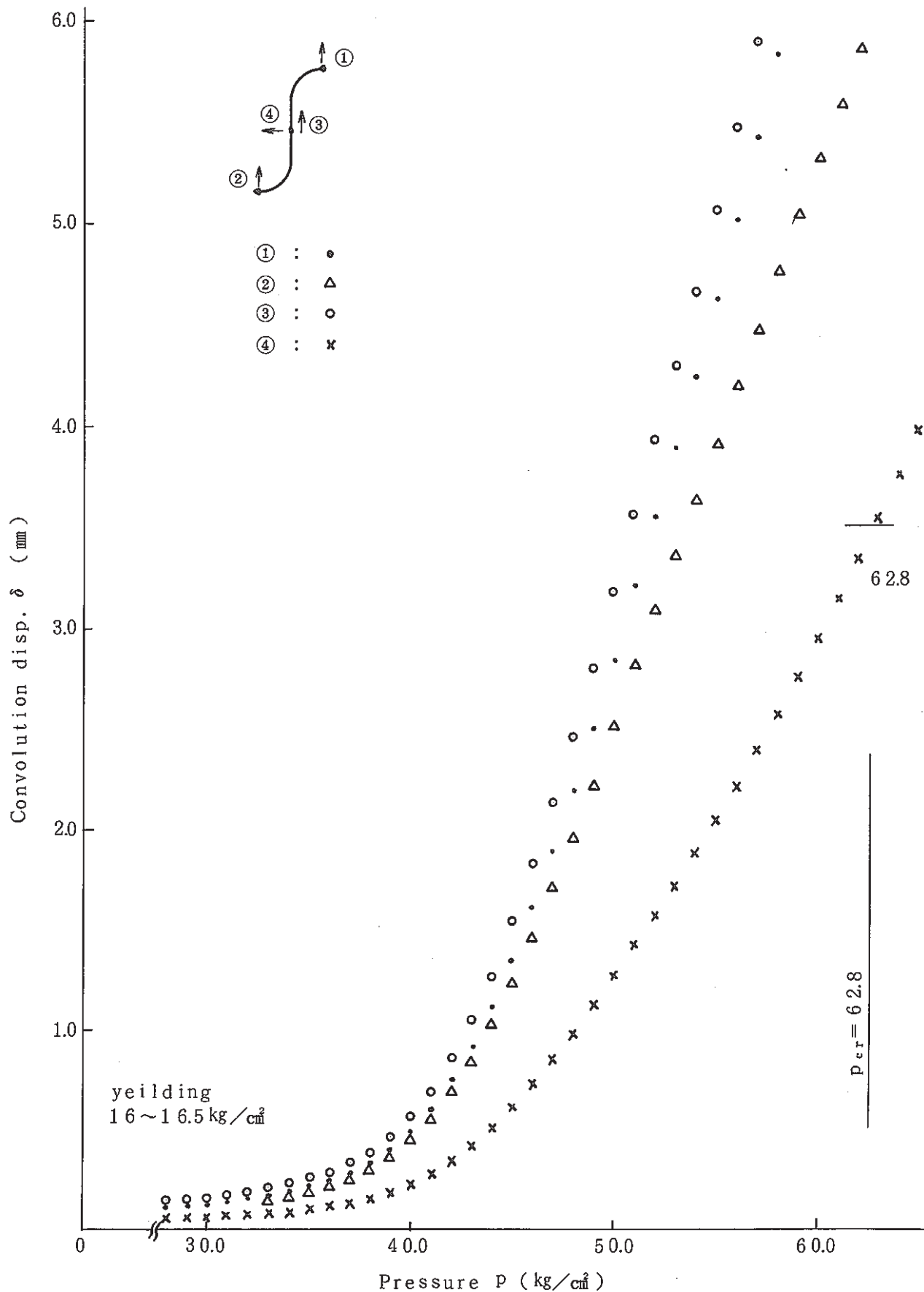
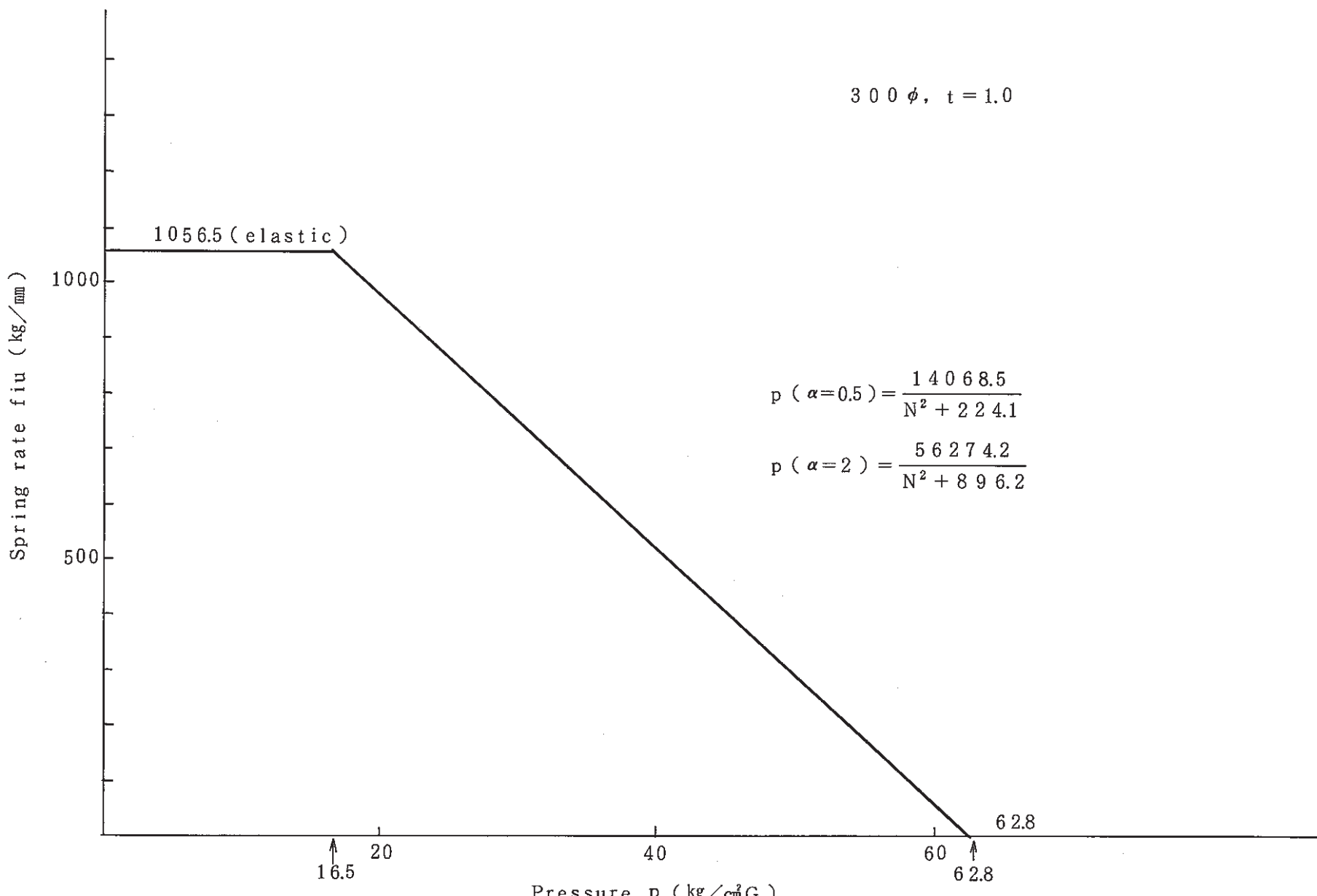


Fig. 5-8 Pressure VS Convolution disp. ( $12^B$  bellows,  $t = 1.0 \text{ mm}$ )  
压力-変位関係図 ( $12^B$  ベローズ,  $t = 1.0 \text{ mm}$ )

Fig. 5-9 Pressure VS Bellows Spring rate (12<sup>B</sup> bellows,  $t = 1.0$  mm)圧力-ばね定数関係図 (12<sup>B</sup> ベローズ,  $t = 1.0$  mm)

- 86 -

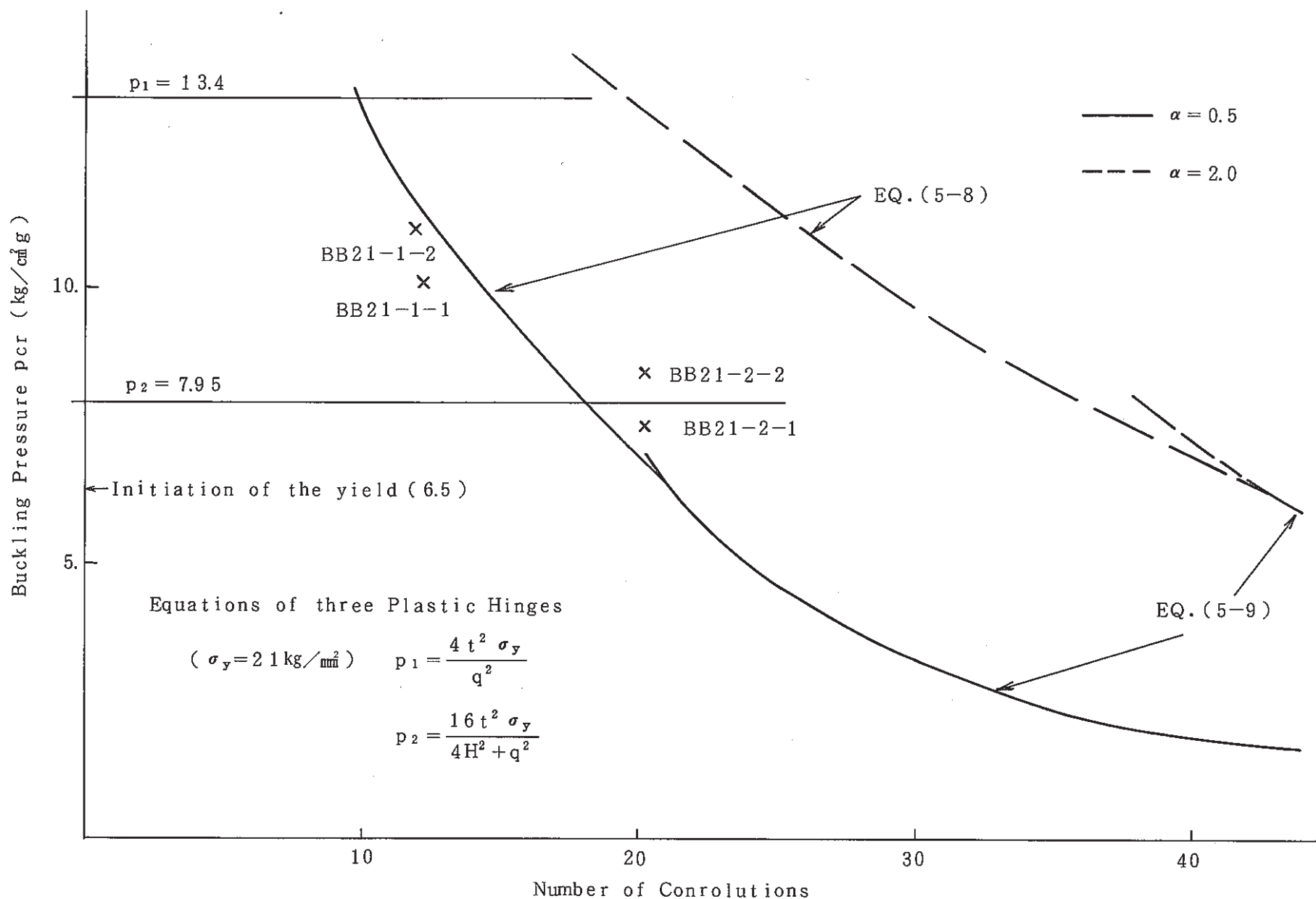
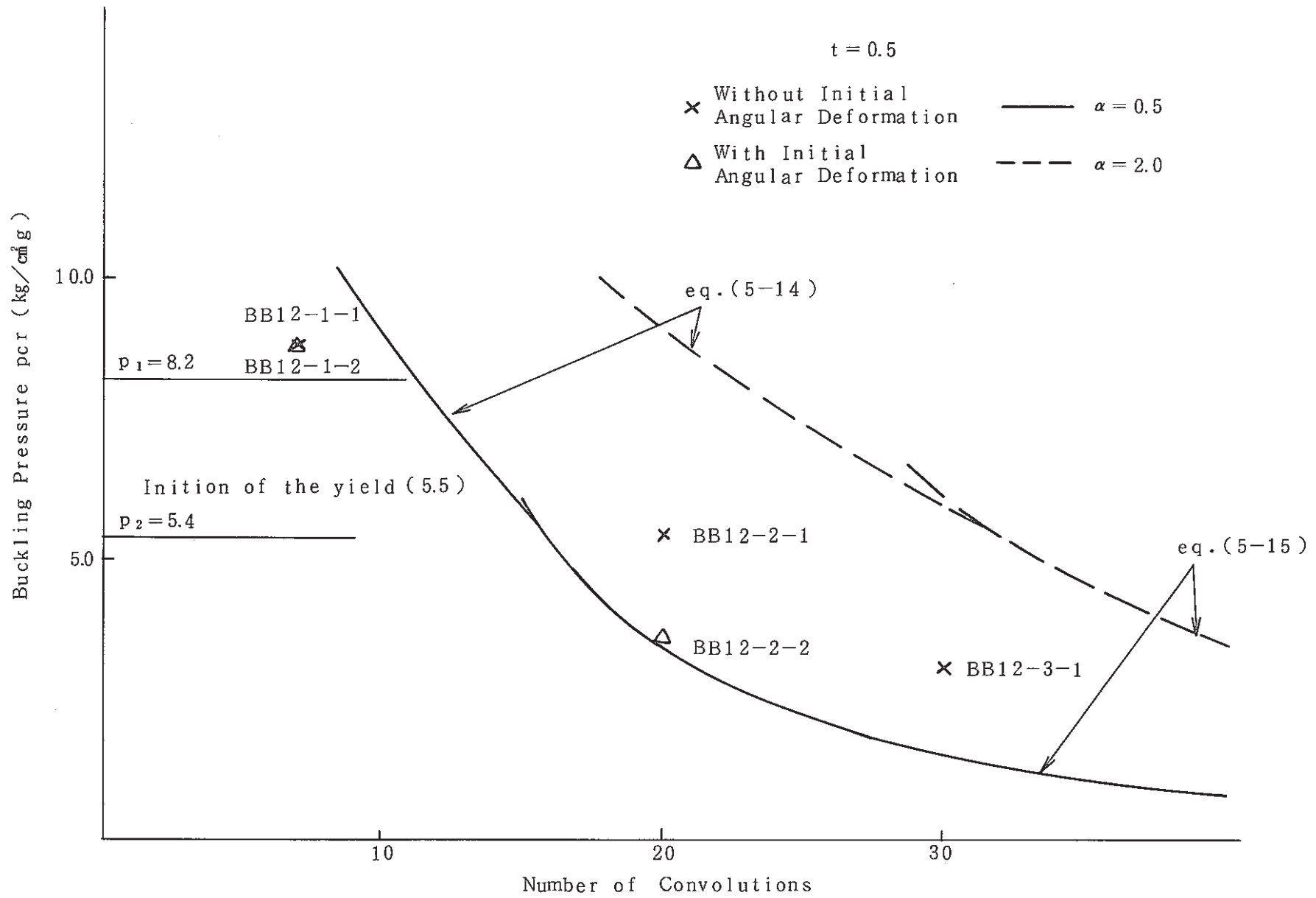


Fig. 5-10 Number of Convolutions VS Buckling Pressure ( $21^B$  Bellows  $t = 1.0 \text{ mm}$ )  
ベローズの山数と座屈圧力 ( $21^B$  ベローズ  $t = 1.0 \text{ mm}$ )

Fig. 5-11 Number of Convolutions VS Buckling Pressure ( $12^B$  Bellows,  $t = 0.5 \text{ mm}$ )ベローズの山数と座屈圧力 ( $12^B$  ベローズ,  $t = 0.5 \text{ mm}$ )

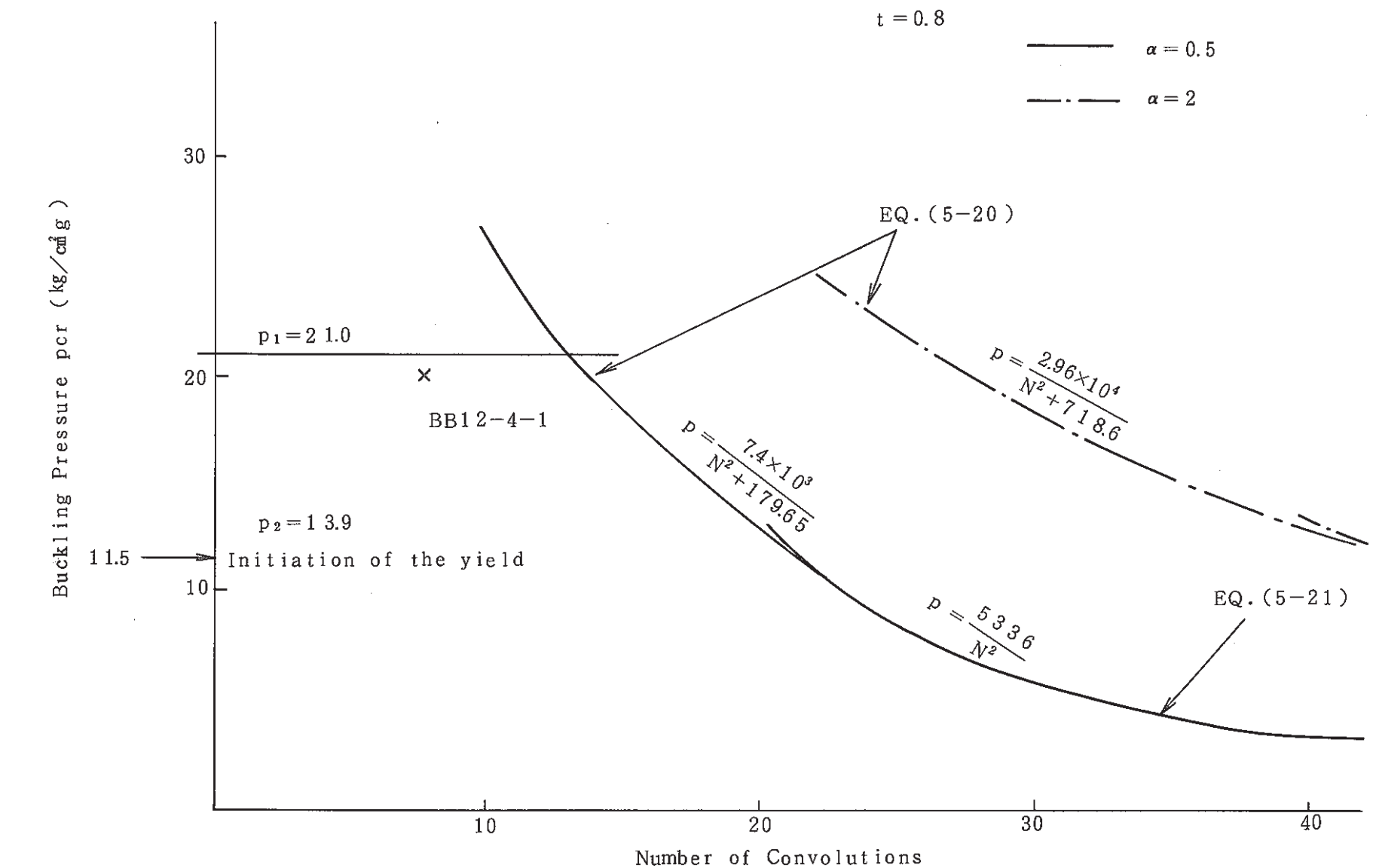
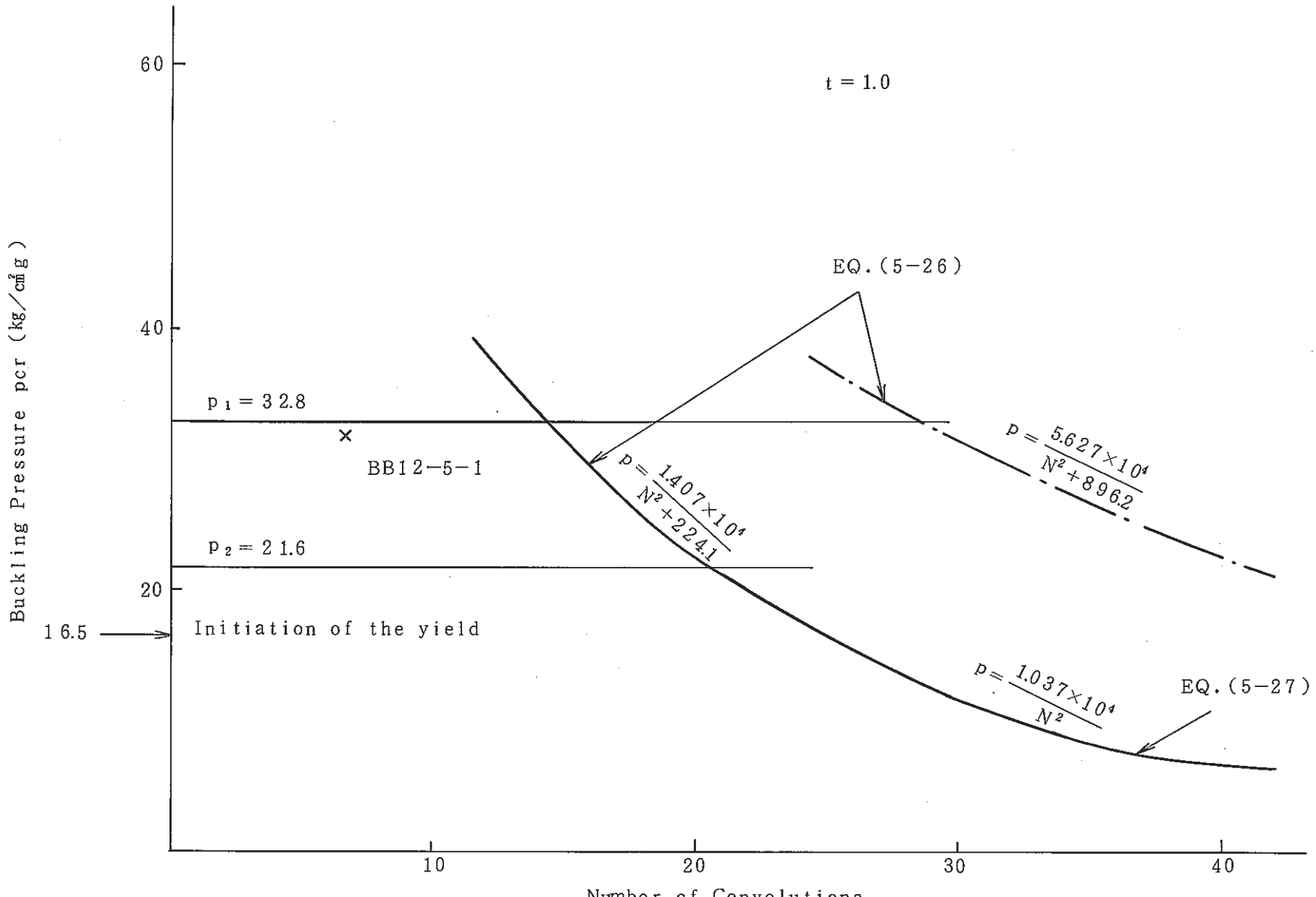


Fig. 5-12 Number of Convolutions VS Buckling Pressure (12<sup>B</sup> Bellows,  $t = 0.8 \text{ mm}$ )  
ベローズの山数と座屈圧力 (12<sup>B</sup> ベローズ,  $t = 0.8 \text{ mm}$ )

- 101 -

Fig. 5-13 Number of Convolutions VS Buckling Pressure ( $12^B$  Bellows,  $t = 1.0$  mm)ベローズの山数と座屈圧力 ( $12^B$  ベローズ  $t = 1.0$  mm)

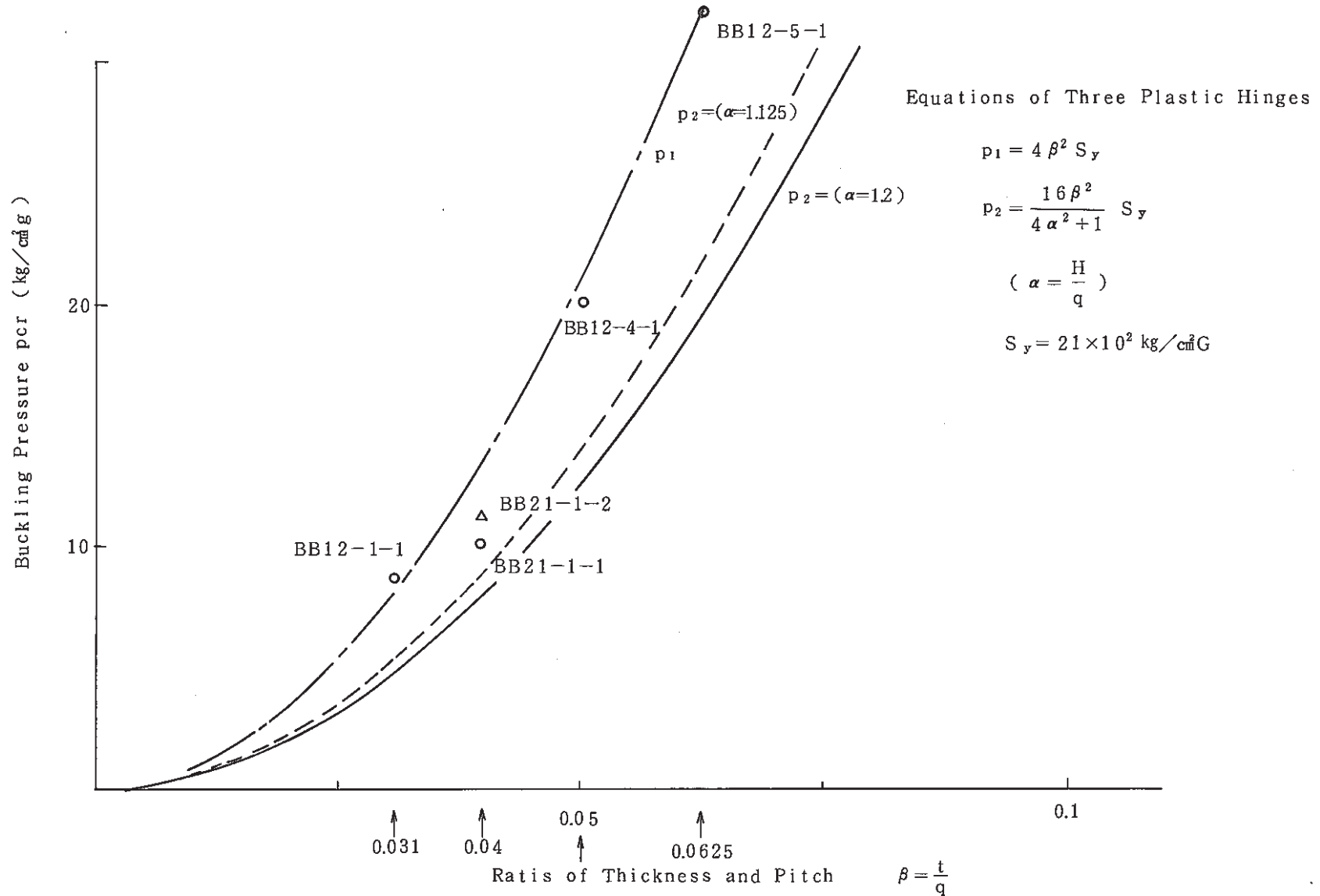


Fig. 5-14 Ratio of Thickness and Pitch VS Buckling Pressure  
ベローズの板厚・ピッチ比と座屈圧力

付録 データシート

試験体番号

BB21-1-1

BB21-1-2

BB21-2-1

BB21-2-2

BB12-1-1

BB12-1-2

BB12-2-1

BB12-2-2

BB12-3-1

BB12-4-1

BB12-5-1

試験体番号	BB21-1-1	試験期間	S59年月日～年月日						
配管ベローズ座屈試験データシート									
材料仕様	適用規格 JIS G4307	材質 SUS316	板厚 1.0	熱処理条件 1080°C 21NI-Z-06-0511					
ベローズ 製作	メーカー 東京螺旋	成型方法 液圧	製造年月日 S59.8.6	製造番号 PNC 84-0458N					
熱処理	1050°C, 12分, 水冷								
機械試験結果 (ベローズ (熱処理後)	0.2%耐力 (kg/mm²)	引張強さ (kg/mm²)	縦弾性係数 (kg/mm²)	伸び (%)					
	*	*	*	*					
供試体 (ベローズ)	測定箇所	公称値 (mm)	実測値 (mm)						
			Max.	Min.	Mean				
	全長 L	288.5	288.2	286.0	287.2				
	谷内径 Di	545	545.3	544.0	545.6				
	山高 H	31.0	32.3	31.0	31.88				
	ピッチ q	25	25.5	24.0	24.84				
	タンジェント TR	—	—	—	—				
	長さ TL	—	—	—	—				
	谷幅 Sr	11.5	11.9	10.6	11.05				
	山幅 Sc	11.5	11.8	10.3	11.25				
	板厚(谷) tr	1.0	0.99	0.96	0.97				
	板厚(山) tc	1.0	0.94	0.90	0.91				
	板厚(S.W.) ts	1.0	0.95	0.93	0.95				
コンボリューション	山数 N	12							
	層数 n	1							
形状,寸法	記号の定義								
	川重自主研究								
	* 詳細不明								

## 拳動試験

試験体番号	BB21-1-1
-------	----------

試験条件	試験日時		室温拳動試験	高温拳動試験
	負荷モード		年月日	年月日
	試験温度 T	℃		
	軸力試験 $\delta_x$	mm		
	曲げ試験 $\theta$	deg		
	せん断試験 $\delta_y$	mm		
	内圧負荷試験 p	kg/cm <sup>2</sup>		
	複合軸力試験 $\delta_x + p$	mm		
	複合曲げ試験 $\theta + p$	deg		
	複合せん断試験 $\delta_y + p$	mm		

試験結果	軸バネ定数 K <sub>x</sub>	kg/mm	室温		高温	
			試験	EJMA	FEM	試験
	曲げバネ定数 K <sub>θ</sub>	kg·mm/deg		35.6		
	せん断バネ定数 K <sub>v</sub>	kg/mm		2.58×10 <sup>4</sup>		
	軸変位による子午線方向最大歪 $\epsilon_m/\delta_x$	μ/mm		198		
	曲げ変位による子午線方向最大歪 $\epsilon_m/\theta$	μ/deg		94.2		
	せん断変位による子午線方向最大歪 $\epsilon_m/\delta_y$	μ/mm		4743		
	内圧による子午線方向最大歪 $\epsilon_m/p$	μ/kg/cm <sup>2</sup>		905.9		
				177.1		

## 座屈・クリープ座屈試験

試験体番号	BB21-1-1
-------	----------

試験日時			昭和59年9月7日					
試験条件	温度 T	°C	R.T					
	初期変形 $\delta_x, \delta_y, \theta$	deg or mm	なし					
	昇圧時間 t	minute	—					
	予想座屈圧	kg/cm² G	EJMA	ルートバルジ スクワーム	11.2 11.2	R.I.	半ピッチ 1ピッチ	7.6 12.8
	保持圧力 $p_h$ (クリープ座屈)	kg/cm² G	—					
	予想座屈時間 (クリープ座屈)	hr	—	等時応力ひずみ線図 ( $\epsilon = \mu \varepsilon$ )				

試験結果	座屈圧力 $p_{cr}$	kg/cm² G	10.2				
	座屈時間 $t_{cr}$ (クリープ座屈)	hr	—				
	昇圧速度 $\dot{p}$	kg/cm²/sec	—				
	最大ひずみ 0.2%ひずみ発生相当 の圧力を加えた時	$\mu \varepsilon$ $p=5.8 \text{ kg/cm}^2 \text{ g}$	Max. -1328	Min. -1110	Mean -1219	Max. Mean 1.09	
	座屈形状	ルートバルジ					
	座屈後の変形写真						
	特記事項						

試験体番号	BB21-2-1	試験期間	S59年月日~年月日
-------	----------	------	------------

## 配管ベローズ座屈試験データシート

材 料 仕 様	適用規格		材 質	板 厚	熱処理条件	ミルシート No.				
	JIS G4307	SUS316		1.0	1080°C	21NI-Z-06-0511				
ベローズ 製 作	メー カ	成 型 方 法	製 造 年 月 日		製 造 番 号					
	東京螺旋	液 壓	S 5 9.8.6	84-0458N	メー カ	P N C				
熱 処 理	1050°C, 12分, 水 冷									
機械試験結果 (ベローズ) (熱処理後)	0.2%耐力 (kg/mm <sup>2</sup> )	引張強さ (kg/mm <sup>2</sup> )	縦弾性係数 (kg/mm <sup>2</sup> )	伸 び (%)	ブリネル硬さ (HB)					
	*	*	*	*	*					
供 試 体 (ベローズ)	測 定 箇 所		公 称 値 (mm)	実 測 値 (mm)						
				Max.	Min.	Mean				
	全長	L	488.5	491.5	490.7	491.1				
	谷内径	Di	545	545.4	544.0	544.7				
	山高	H	31.0	32.5	31.4	32				
	ピッヂ	q	25	25.5	24.5	23.7				
	タンジエント	TR	-	-	-	-				
	長さ	TL	-	-	-	-				
	谷幅	Sr	11.5	11.6	10.0	11.8				
	山幅	Sc	11.5	12.0	10.8	11.6				
	板厚(谷)	tr	1.0	1.0	0.95	0.99				
	板厚(山)	tc	1.0	0.94	0.92	0.93				
	板厚(S.W.)	ts	1.0	0.94	0.92	0.92				
コンボリューション	山数	N	20							
	層数	n	1							
形 状 , 寸 法	記号の定義									
特 記 事 項	川重自主研究 * 詳細不明									

## 拳動試験

試験体番号	BB21-2-1
-------	----------

試験条件	試験日時		室温拳動試験	高温拳動試験
	負荷モード		年月日	年月日
試験温度 T	°C			
軸力試験 δx	mm			
曲げ試験 θ	deg			
せん断試験 δy	mm			
内圧負荷試験 p	kg/cm²			
複合軸力試験 δx + p	mm			
複合曲げ試験 θ + p	deg			
複合せん断試験 δy + p	mm			

試験結果	軸バネ定数 Kx	kg/mm	室温		高温	
			試験	EJMA	FEM	試験
曲げバネ定数 Kθ	kg·mm/deg			1.55×10⁴		
せん断バネ定数 Kv	kg/mm			42.7		
軸変位による子午線方向最大歪 εm/δx	μ/mm			56.6		
曲げ変位による子午線方向最大歪 εm/θ	μ/deg			285.0		
せん断変位による子午線方向最大歪 εm/δy	μ/mm			326.6		
内圧による子午線方向最大歪 εm/p	μ/kg/cm²			177.1		

座屈・クリープ座屈試験

試験体番号	BB21-2-1
-------	----------

試験日時			昭和59年11月9日					
試験条件	温度 T	°C	R.T					
	初期変形 $\delta_x, \delta_y, \theta$	deg or mm	なし					
	昇圧時間 t	minute	—					
	予想座屈圧	kg/cm² G	EJMA	ルートボルジ スクワーム	11.2 4.0	R. I.	半ピッチ 1ピッチ	7.6 12.8
	保持圧力 $p_h$ (クリープ座屈)	kg/cm² G	—					
	予想座屈時間 (クリープ座屈)	hr	—			等時応力ひずみ線図 ( $\epsilon = \mu \epsilon$ )		

試験結果	座屈圧力 $p_{cr}$	kg/cm² G	7.3				
	座屈時間 $h_{cr}$ (クリープ座屈)	hr	—				
	昇圧速度 $\dot{p}$	kg/cm²/sec	—				
	最大ひずみ 0.2%ひずみ発生相当 の圧力を加えた時	$\mu \epsilon$ $p = 4.9$	Max. -1715	Min. -619	Mean -1167	Max. Mean 1.47	
	座屈形状	スクワーム					
	座屈後の変形写真						
	特記事項						

試験体番号	BB21-1-2	試験期間	S60年月日～年月日		
配管ベローズ座屈試験データシート					
材料仕様	適用規格 JIS G4307	材質 SUS316	板厚 1.0	熱処理条件 1080°C	ミルシートNo 21NI-Z-06-0511
ベローズ 製作	メーカー 東京螺旋	成型方法 液圧	製造年月日 S60.12.7	製造番号 PNC 86-0080N-1(A1)	
熱処理	1050°C, 12分, 水冷				
機械試験結果 (ベローズ (熱処理後))	0.2%耐力 (kg/mm <sup>2</sup> ) 24.3 *2	引張強さ (kg/mm <sup>2</sup> ) 66.7 *2	縦弾性係数 (kg/mm <sup>2</sup> ) 2.12×10 <sup>4</sup> *1	伸び (%) 50.6 *2	ブリネル硬さ (HB) —
供試体 (ベローズ)	測定箇所	公称値 (mm)	実測値 (mm)		
	全長 L	288.5	Max.	Min.	Mean
	谷内径 Di	54.5	54.5	54.3.6	544.02
	山高 H	31.0	31.4	30.0	30.6
	ピッチ q	25	26.5	24.5	23.5
	タンジェント TR	—	16.0	15.8	15.9
	長さ TL	—	16.0	15.6	15.8
	谷幅 Sr	11.5	11.5	10.8	11.24
	山幅 Sc	11.5	12.3	11.4	12.11
	板厚(谷) tr	1.0	0.98	0.92	0.96
	板厚(山) tc	1.0	0.92	0.91	0.915
	板厚(S.W.) ts	1.0	0.98	0.95	0.97
形状,寸法	山数 N		12		
	層数 n		1		
記号の定義					
特記事項	*1 同一コイル、同一熱処理材による再試験 *2 2本の平均値				

## 挙動試験

試験体番号	BB21-1-2
-------	----------

試験条件	試験日時		室温挙動試験	高温挙動試験
	負荷モード		年月日	年月日
	試験温度 T	°C		
	軸力試験 δx	mm		
	曲げ試験 θ	deg		
	せん断試験 δy	mm		
	内圧負荷試験 p	kg/cm²		
	複合軸力試験 δx + p	mm		
	複合曲げ試験 θ + p	deg		
	複合せん断試験 δy + p	mm		

試験結果	軸バネ定数 Kx	kg/mm	室温		高温	
			試験	EJMA	FEM	試験
	曲げバネ定数 Kθ	kg·mm/deg		2.58×10⁴		
	せん断バネ定数 Kv	kg/mm		198		
	軸変位による子午線方向最大歪 εm/δx	μ/mm		942		
	曲げ変位による子午線方向最大歪 εm/θ	μ/deg		4743		
	せん断変位による子午線方向最大歪 εm/δy	μ/mm		905.9		
	内圧による子午線方向最大歪 εm/p	μ/kg/cm²		177.1		

座屈・クリープ座屈試験

試験体番号	BB21-1-2								
試験日時	昭和61年1月8日								
試験条件	温度 T	°C	R.T						
	初期変形 $\delta_x, \delta_y, \theta$	deg or mm	なし						
	昇圧時間 t	minute							
	予想座屈圧	kg/cm <sup>2</sup> G	EJMA	ルートノジレジ スクワーム	11.2 11.2	R.I.	半ピッチ 1ピッチ	7.6 12.8	
	保持圧力 p <sub>h</sub> (クリープ座屈)	kg/cm <sup>2</sup> G	—						
	予想座屈時間 (クリープ座屈)	hr	—		等時応力ひずみ線図 ( $\epsilon = \mu \epsilon$ )				
試験結果	座屈圧力 p <sub>cr</sub>	kg/cm <sup>2</sup> G	11.4						
	座屈時間 h <sub>cr</sub> (クリープ座屈)	hr	—						
	昇圧速度 $\dot{p}$	kg/cm <sup>2</sup> /sec	—						
	最大ひずみ 0.2%ひずみ発生相当 の圧力を加えた時	$\mu \epsilon$ $p = 6.01$	Max. -1527	Min. -634	Mean -1081	Max. Mean 1.41			
	座屈形状	スクワーム							
	座屈後の変形写真								
	特記事項								

試験体番号	BB21-2-2	試験期間	S60年月日～年月日
-------	----------	------	------------

## 配管ベローズ座屈試験データシート

供試体 (ベローズ)	材料仕様	適用規格	材質	板厚	熱処理条件	ミルシートNo
		JIS G4307	SUS316	1.0	1080°C	NI-Z-06-0511
	ベローズ 製作	メーク	成型方法	製造年月日	製造番号	
		東京螺旋	液圧	S61.1.10	メーク PNC 86-0081N-1(A-2)	
	熱処理	1040°C, 14分				
	機械試験結果 (ベローズ 熱処理後)	0.2%耐力 (kg/mm²)	引張強さ (kg/mm²)	縦弾性係数 (kg/mm²)	伸び (%)	ブリネル硬さ (HB)
		24.3 *2	66.7 *2	2.12×10*1	50.6 *2	-
	コンボリューション	測定箇所	公称値 (mm)	実測値 (mm)		
				Max.	Min.	Mean
		全長 L	488.6	488.8	486.6	487.7
		谷内径 Di	545	546.0	544.0	545.0
		山高 H	31.0	31.2	30.4	30.9
		ピッチ q	25	25.5	24.0	24.9
		タンジエント TR	8.75	15.8	15.6	15.7
		長さ TL	8.75	15.5	15.4	15.45
		谷幅 Sr	11.5	11.4	10.7	11.06
		山幅 Sc	11.5	12.3	11.0	11.9
	形状、寸法	板厚(谷) tr	1.0	0.98	0.92	0.96
		板厚(山) tc	1.0	0.92	0.91	0.915
		板厚(S.W) ts	1.0	-	-	-
		山数 N		20		
	記号の定義	層数 n		1		
	特記事項	<p>*1 同一コイル、同一熱処理材による再試験            *2 2本の平均値</p>				

## 拳動試験

試験体番号	BB21-2-2		室温拳動試験	高温拳動試験		
試験日時		年月日		年月日		
試験条件	負荷モード					
	試験温度 T	°C				
	軸力試験 $\delta_x$	mm				
	曲げ試験 $\theta$	deg				
	せん断試験 $\delta_y$	mm				
	内圧負荷試験 p	kg/cm <sup>2</sup>				
	複合軸力試験 $\delta_x + p$	mm				
	複合曲げ試験 $\theta + p$	deg				
	複合せん断試験 $\delta_y + p$	mm				

試験結果	試験	室温		高温	
		EJMA	FEM	EJMA	FEM
軸バネ定数 K <sub>x</sub>	kg/mm		214		
曲げバネ定数 K <sub>θ</sub>	kg·mm/deg		1.55×10 <sup>4</sup>		
せん断バネ定数 K <sub>v</sub>	kg/mm		42.7		
軸変位による子午線方向最大歪 $\epsilon_m/\delta_x$	μ/mm		56.6		
曲げ変位による子午線方向最大歪 $\epsilon_m/\theta$	μ/deg		285.0		
せん断変位による子午線方向最大歪 $\epsilon_m/\delta_y$	μ/mm		326.6		
内圧による子午線方向最大歪 $\epsilon_m/p$	μ/kg/cm <sup>2</sup>		177.1		

座屈・クリープ座屈試験

試験体番号	BB21-2-2
-------	----------

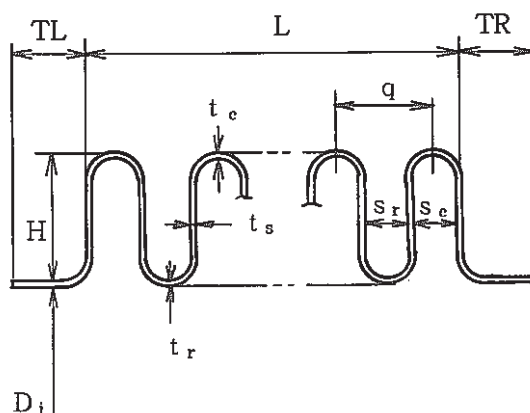
試験日時		昭和61年2月17日						
試験条件	温度 T	°C	R.T					
	初期変形 $\delta_x, \delta_y, \theta$	deg or mm	0					
	昇圧時間 t	minute	—					
	予想座屈圧	kg/cm² G	EJMA	ルートンシレジ スクワーム	11.2 4.0	R. I.	半ピッチ 1ピッチ	7.6 12.8
	保持圧力 $p_h$ (クリープ座屈)	kg/cm² G	—					
	予想座屈時間 (クリープ座屈)	hr	—			等時応力ひずみ線図 ( $\epsilon = \mu \epsilon$ )		

試験結果	座屈圧力 $p_{cr}$	kg/cm² G	8.4			
	座屈時間 $t_{cr}$ (クリープ座屈)	hr	—			
	昇圧速度 $\dot{p}$	kg/cm²/sec	—			
	最大ひずみ 0.2%ひずみ発生相当 の圧力を加えた時	$\mu \epsilon$ $p=6.01$	Max. -1918	Min. -715	Mean -1317	Max. Mean 1.46
	座屈形状	スクワーム				
	座屈後の変形写真					
	特記事項					
8.4 kg/cm² g 昇圧、5分保持後、急速に変形が進行						

試験体番号	BB12-1-1	試験期間	S60年月日～年月日
-------	----------	------	------------

## 配管ベローズ座屈試験データシート

供試体 (ベローズ)	材料仕様	適用規格	材質	板厚	熱処理条件	ミルシートNo
		JIS G4305	SUS316	0.5	N S	N S
	ベローズ 製作	メーク	成型方法	製造年月日	製造番号	
		東京螺旋	液圧	S60,12.13	メーク P N C	86-0080N-5
	熱処理	1040°C	12分			
	機械試験結果 (ベローズ 熱処理後)	0.2%耐力 (kg/mm²)	引張強さ (kg/mm²)	綫弾性係数 (kg/mm³)	伸び (%)	ブリネル硬さ (HB)
		22.1 *1	62.0 *1	-	46.5 *1	-
	コンボリューション	測定箇所	公称値 (mm)	実測値 (mm)		
				Max.	Min.	Mean
		全長 L	104.5	104.5	103.9	104.3
		谷内径 D <sub>i</sub>	301	301.3	301.0	301.1
		山高 H	17.5	17.3	17.0	17.1
		ピッチ q	16	16.5	15	15.3
		タンジメント TR	8.75	8.8	8.7	8.75
		長さ TL	8.75	8.8	8.7	8.78
		谷幅 S <sub>r</sub>	7.5	7.3	7.1	7.2
		山幅 S <sub>c</sub>	7.5	7.9	7.5	7.6
	形状、寸法	板厚(谷) t <sub>r</sub>	0.5	0.47	0.46	0.46
		板厚(山) t <sub>c</sub>	0.5	0.44	0.43	0.43
		板厚(S.W) t <sub>s</sub>	0.5	0.46	0.44	0.45
		山数 N		7		
	記号の定義	層数 n		1		
特記事項	*1 2本の平均値					



## 拳動試験

試験体番号	BB12-1-1
-------	----------

試験条件	試験日時		室温拳動試験	高温拳動試験
	負荷モード		年月日	年月日
	試験温度 T	℃		
	軸力試験 $\delta_x$	mm		
	曲げ試験 $\theta$	deg		
	せん断試験 $\delta_y$	mm		
	内圧負荷試験 p	kg/cm <sup>2</sup>		
	複合軸力試験 $\delta_x + p$	mm		
	複合曲げ試験 $\theta + p$	deg		
	複合せん断試験 $\delta_y + p$	mm		

試験結果			室温		高温			
			試験	EJMA	FEM	試験	EJMA	FEM
軸バネ定数 K <sub>x</sub>	kg/mm			19.1				
曲げバネ定数 K <sub>θ</sub>	kg·mm/deg			424×10 <sup>3</sup>				
せん断バネ定数 K <sub>v</sub>	kg/mm			10.5				
軸変位による子午線方向最大歪 $\epsilon_m/\delta_x$	$\mu/mm$			2169				
曲げ変位による子午線方向最大歪 $\epsilon_m/\theta$	$\mu/deg$			6038				
せん断変位による子午線方向最大歪 $\epsilon_m/\delta_y$	$\mu/mm$			3305.1				
内圧による子午線方向最大歪 $\epsilon_m/p$	$\mu/kg/cm^2$			244.0				

座屈・クリープ座屈試験

試験体番号	BB12-1-1						
試験日時	昭和61年1月31日						
試験条件	温度 T	°C	R.T				
	初期変形 $\delta_x, \delta_y, \theta$	deg or mm	0 *1				
	昇圧時間 t	minute					
	予想座屈圧	kg/cm <sup>2</sup> G	EJMA ルートバージ スクワーム	8.1 16.8	R.I.	半ピッチ 1ピッチ	5.1 7.8
	保持圧力 $p_h$ (クリープ座屈)	kg/cm <sup>2</sup> G		—			
	予想座屈時間 (クリープ座屈)	h r		—	等時応力ひずみ線図 ( $\epsilon = \mu \sigma$ )		
試験結果	座屈圧力 $p_{cr}$	kg/cm <sup>2</sup> G	8.8				
	座屈時間 $h_{cr}$ (クリープ座屈)	h r		—			
	昇圧速度 $\dot{p}$	kg/cm <sup>2</sup> /sec		—			
	最大ひずみ 0.2%ひずみ発生相当 の圧力を加えた時	$\mu \epsilon$ $p=4.02$	Max. -2132	Min. -790	Mean -1461	Max. Mean 1.46	
	座屈形状		ルートバージ				
	座屈後の変形写真						
	特記事項						

\*1 据付時、軸芯に 2mm のずれあり、強制的に軸芯を合せて取付けた。

試験体番号	BB12-1-2	試験期間	S60年月日～年月日		
配管ベローズ座屈試験データシート					
材料仕様	適用規格 JIS G4305	材質 SUS316	板厚 0.5	熱処理条件 N.S	
ベローズ製作	メーカー 東京螺旋	成型方法 液圧	製造年月日 S60.12.13	製造番号 PNC 86-0080N -5	
熱処理	1050°C, 12分, 水冷				
機械試験結果 (ベローズ (熱処理後)	0.2%耐力 (kg/mm²) *1 22.1	引張強さ (kg/mm²) *1 62.0	縦弾性係数 (kg/mm²) —	伸び (%) *1 46.5	
供試体 (ベローズ)	測定箇所	公称値 (mm)	実測値 (mm)		
			Max.	Min.	Mean
	全長 L	104.5	104.8	103.7	104.2
	谷内径 D <sub>i</sub>	301	301.5	301.0	301.2
	山高 H	17.5	17.3	16.9	17.2
	ピッチ q	16	16.5	15.5	16.1
	タンジエント TR	8.75	8.7	8.6	8.63
	長さ TL	8.75	8.8	8.7	8.7
	谷幅 S <sub>r</sub>	7.5	7.3	7.1	7.2
	山幅 S <sub>c</sub>	7.5	7.9	7.3	7.7
	板厚(谷) t <sub>r</sub>	0.5	0.47	0.46	0.46
	板厚(山) t <sub>c</sub>	0.5	0.44	0.43	0.43
	板厚(S.W) t <sub>s</sub>	0.5	0.46	0.44	0.45
	山数 N		7		
コンボリューション	層数 n		1		
	記号の定義				
形状, 寸法					
	*1 2本の平均値				
特記事項					

## 拳動試験

試験体番号	BB12-1-2
-------	----------

試験条件	負荷モード		室温拳動試験	高温拳動試験
	試験日時		年月日	年月日
	試験温度 T	℃		
	軸力試験 δ x	mm		
	曲げ試験 θ	deg		
	せん断試験 δ y	mm		
	内圧負荷試験 p	kg/cm <sup>2</sup>		
	複合軸力試験 δ x + p	mm		
	複合曲げ試験 θ + p	deg		
	複合せん断試験 δ y + p	mm		

試験結果	軸バネ定数 Kx	kg/mm	室温		高温	
			試験	EJMA	FEM	試験
	曲げバネ定数 Kθ	kg·mm/deg	*	424×10 <sup>3</sup>		
	せん断バネ定数 Kv	kg/mm	*	10.5		
	軸変位による子午線方向最大歪 εm/δx	μ/mm		216.9		
	曲げ変位による子午線方向最大歪 εm/θ	μ/deg		603.8		
	せん断変位による子午線方向最大歪 εm/δy	μ/mm		3305.1		
	内圧による子午線方向最大歪 εm/p	μ/kg/cm <sup>2</sup>	*	244.0		

\* 試験結果については本文参照

## 座屈・クリープ座屈試験

試験体番号	BB12-1-2
-------	----------

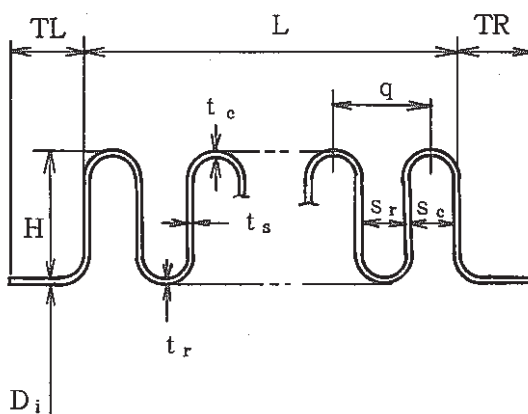
試験日時			昭和61年3月13日					
試験条件	温度 T	°C	R.T					
	初期変形 $\delta_x, \delta_y, \theta$	deg or mm		1.85°				
	昇圧時間 t	minute		—				
	予想座屈圧	kg/cm² G	EJMA	ルートンダレジ スクワーム		R.I.	半ピッチ 1ピッチ	
	保持圧力 $p_h$ (クリープ座屈)	kg/cm² G		—				
	予想座屈時間 (クリープ座屈)	hr		—		等時応力ひずみ線図 ( $\epsilon = \mu \epsilon$ )		

試験結果	座屈圧力 $p_{cr}$	kg/cm² G	8.8			
	座屈時間 $t_{cr}$ (クリープ座屈)	hr	—			
	昇圧速度 $\dot{p}$	kg/cm²/sec	—			
	最大ひずみ 0.2%ひずみ発生相当 の圧力を加えた時	$\mu \epsilon$ $p = 3.0$	Max. -1494	Min. -67.8	Mean -1086	Max. Mean 1.38
	座屈形状	ルートバルジ				
	座屈後の変形写真					
	特記事項					
8.8 kg/cm² g 負荷後においても、変形(ひずみ)は安定しており、急速な変形の進展は見られなかったが、適度な変形状態となったため試験完了とした。						

試験体番号	BB12-2-1	試験期間	S60年月日～年月日
-------	----------	------	------------

## 配管ベローズ座屈試験データシート

供試体 (ベローズ)	材料仕様	適用規格	材質	板厚	熱処理条件	ミルシートNo.
	JIS G4305	SUS316	0.5	N.S	N.S	
	ベローズ 製作	メーカー 東京螺旋	成型方法 液圧	製造年月日 S60.12.17	製造番号 PNC 86-0080N -6, No.1	
	熱処理	1050°C, 12分, 水冷				
	機械試験結果 (ベローズ 熱処理後)	0.2%耐力 (*1 22.1)	引張強さ (*1 62.0)	綫弾性係数 —	伸び (*1 46.5)	ブリネル硬さ —
		測定箇所	公称値 (mm)		実測値 (mm)	
				Max.	Min.	Mean
	全長	L	312.5	315.0	313.5	314.3
	谷内径	Di	301	301.7	301.1	301.3
	山高	H	17.5	17.3	17.0	17.1
コンボリューション	ピッチ	q	16	16.5	15.5	16.0
	タンジェント	TR	8.75	9.0	8.7	8.88
	長さ	TL	8.75	8.9	8.7	8.8
	谷幅	Sr	7.5	7.2	7.0	7.1
	山幅	Sc	7.5	7.7	7.3	7.5
	板厚(谷)	tr	0.5	0.47	0.46	—
	板厚(山)	tc	0.5	0.44	0.43	—
	板厚(S.W)	ts	0.5	0.46	0.44	—
	山数	N		20		
	層数	n		1		
形状, 寸法	記号の定義					
特記事項	*1 2本の平均値					
	*2 BB12-2-1, BB12-2-2, BB12-3-1 同一レプリカによる測定					



## 拳動試験

試験体番号	BB12-2-1
-------	----------

試験条件	試験日時		室温拳動試験	高温拳動試験
	負荷モード		年月日	年月日
試験温度 T	°C			
軸力試験 δ <sub>x</sub>	mm			
曲げ試験 θ	deg			
せん断試験 δ <sub>y</sub>	mm			
内圧負荷試験 p	kg/cm <sup>2</sup>			
複合軸力試験 δ <sub>x</sub> + p	mm			
複合曲げ試験 θ + p	deg			
複合せん断試験 δ <sub>y</sub> + p	mm			

試験結果	試験	室温		高温	
		EJMA	FEM	試験	EJMA
軸バネ定数 K <sub>x</sub>	kg/mm	6.68			
曲げバネ定数 K <sub>θ</sub>	kg·mm/deg	1.48×10 <sup>3</sup>			
せん断バネ定数 K <sub>v</sub>	kg/mm	3.11			
軸変位による子午線方向最大歪 ε <sub>m</sub> /δ <sub>x</sub>	μ/mm	76.0			
曲げ変位による子午線方向最大歪 ε <sub>m</sub> /θ	μ/deg	211.6			
せん断変位による子午線方向最大歪 ε <sub>m</sub> /δ <sub>y</sub>	μ/mm	405.3			
内圧による子午線方向最大歪 ε <sub>m</sub> /p	μ/kg/cm <sup>2</sup>	244.0			

座屈・クリープ座屈試験

試験体番号	BB12-2-1
-------	----------

試験日時			昭和61年2月7日					
試験条件	温度 T	°C	R.T					
	初期変形 $\delta_x, \delta_y, \theta$	deg or mm	0 *2					
	昇圧時間 t	minute	—					
	予想座屈圧	kg/cm² G	EJMA	ルートバレジ スクワーム	8.1 2.1	R.I.	半ピッチ 1ピッチ	5.1 7.8
	保持圧力 $p_h$ (クリープ座屈)	kg/cm² G	—					
	予想座屈時間 (クリープ座屈)	hr	—			等時応力ひずみ線図 ( $\epsilon = \mu \epsilon$ )		

試験結果	座屈圧力 $p_{cr}$	kg/cm² G	5.4 *1				
	座屈時間 $t_{cr}$ (クリープ座屈)	hr	—				
	昇圧速度 $\dot{p}$	kg/cm²/sec	—				
	最大ひずみ 0.2%ひずみ発生相当 の圧力を加えた時	$\mu \epsilon$ $p = 4.0$	Max. -1465	Min. -743	Mean -1104	Max. Mean 1.33	
	座屈形状	スクワーム					
	座屈後の変形写真						
	特記事項						

\* 1 5.4 kg/cm² g 昇圧直後データ採取時に、大きな音とともに変形した。

\* 2 初期 2 mm の軸芯のずれがあったが強制的に軸芯を合せた。

試験体番号	BB12-2-2	試験期間	S60年月日～年月日
-------	----------	------	------------

## 配管ベローズ座屈試験データシート

供試体 (ベローズ)	材料仕様	適用規格	材質	板厚	熱処理条件	ミルシートNo.				
		JIS G4305	SUS316	0.5	N.S	N.S				
	ベローズ 製作	メーク	成型方法	製造年月日	製造番号					
		東京螺旋	液圧	S60.12.17	メーク PNC 86-0080N -6 No.2					
	熱処理	1050°C, 12分, 水冷								
	機械試験結果 (ベローズ 熱処理後)	0.2%耐力 (kg/mm²)	引張強さ (kg/mm²)	綫弾性係数 (kg/mm²)	伸び (%)	ブリネル硬さ (HB)				
		*1 22.0	*1 62.0	-	*1 46.5	-				
	コンボリューション 形状, 寸法	測定箇所		公称値 (mm)	実測値 (mm)					
					Max.	Min.				
		全長	L	312.5	314.0	312.4				
		谷内径	Di	301	301.8	301.1				
		山高	H	17.5	17.5	17.0				
		ピッチ	q	16	16.5	15.5				
		タンジメント 長さ	TR	8.75	8.9	8.7				
			TL	8.75	8.8	8.7				
		谷幅	Sr	7.5	7.2	7.0				
		山幅	Sc	7.5	7.6	7.3				
		板厚(谷)	tr	0.5	0.47	0.46				
		板厚(山)	tc	0.5	0.44	0.43				
		板厚(S.W)	ts	0.5	0.46	0.44				
		山数	N	20						
		層数	n	1						
記号の定義										
特記事項	*1 2本の平均値									
	*2 BB12-2-1, BB12-2-2, BB12-3-1 同一レプリカによる測定									

## 拳動試験

試験体番号	BB12-2-2
-------	----------

試験条件	試験日時		室温拳動試験	高温拳動試験
	負荷モード		年月日	年月日
試験温度 T	°C			
軸力試験 δx	mm			
曲げ試験 θ	deg			
せん断試験 δy	mm			
内圧負荷試験 p	kg/cm²			
複合軸力試験 δx + p	mm			
複合曲げ試験 θ + p	deg			
複合せん断試験 δy + p	mm			

試験結果			室温			高温		
			試験	EJMA	FEM	試験	EJMA	FEM
軸バネ定数 Kx	kg/mm	7.12	6.68					
曲げバネ定数 Kθ	kg·mm/deg	*	1.48×10³					
せん断バネ定数 Kv	kg/mm	*	10.5					
軸変位による子午線方向最大歪 εm/δx	μ/mm		76.0					
曲げ変位による子午線方向最大歪 εm/θ	μ/deg		211.6					
せん断変位による子午線方向最大歪 εm/δy	μ/mm		405.3					
内圧による子午線方向最大歪 εm/p	μ/kg/cm²	*	244.0					

\* 試験結果については本文参照

座屈・クリープ座屈試験

試験体番号	BB12-2-2
-------	----------

試験日時			昭和61年3月20					
試験条件	温度 T	°C	R.T					
	初期変形 $\delta_x, \delta_y, \theta$	deg or mm	5.29°					
	昇圧時間 t	minute	—					
	予想座屈圧	kg/cm² G	EJMA	ルートンセレジ スクワーム		R.I.	半ピッチ 1ピッチ	
	保持圧力 $p_h$ (クリープ座屈)	kg/cm² G	—					
	予想座屈時間 (クリープ座屈)	hr	—			等時応力ひずみ線図 ( $\epsilon = \mu \epsilon$ )		

試験結果	座屈圧力 $p_{cr}$	kg/cm² G	3.6				
	座屈時間 $t_{cr}$ (クリープ座屈)	hr	—				
	昇圧速度 $\dot{p}$	kg/cm²/sec	—				
	最大ひずみ 0.2%ひずみ発生相当 の圧力を加えた時	$\mu \epsilon$ $p = 1.75$	Max. -1616	Min. 267	Mean -675	Max. Mean 2.39	
	座屈形状	スクワーム					
	座屈後の変形写真						
	特記事項						

試験体番号	BB12-3-1	試験期間	年月日～年月日
-------	----------	------	---------

## 配管ベローズ座屈試験データシート

供試体 (ベローズ)	材 料 仕 様	適用規格	材 質	板 厚	熱処理条件	ミルシートNo.					
		JIS G4305	SUS316	0.5	N.S	N.S					
	ベ ロ 一 ズ 製 作	メー カ	成 型 方 法	製 造 年 月 日	製 造 番 号						
		東京螺旋	液 壓	S60.12.17	メー カ P.N.C 86-0080N -7						
熱 処 理		1050°C, 13分, 水冷									
機械試験結果 (ベローズ 熱処理後)	0.2%耐力 (kg/mm <sup>2</sup> )	引張強さ (kg/mm <sup>2</sup> )	綫弾性係数 (kg/mm <sup>2</sup> )	伸 び (%)	ブリネル硬さ (HB)						
	*1 22.1	*1 62.0	-	*1 46.5	-						
コンボリューション 形状, 寸法	測定箇所		公称値 (mm)	実測値 (mm)							
				Max.	Min.	Mean					
	全長	L	472.5	475.5	475.0	475.3					
	谷内径	Di	301	301.6	301.0	301.4					
	山高	H	17.5	17.6	17.0	17.3					
	ピッチ	q	16	16.5	15.0	16.0					
	タンジェント	TR	8.75	8.9	8.7	8.78					
	長さ	TL	8.75	8.9	8.6	8.75					
	谷幅	Sr	7.5	7.3	7.0	7.1					
	山幅	Sc	7.5	7.6	7.3	7.4					
	板厚(谷)	tr	0.5	0.47	0.46	-					
	板厚(山)	tc	0.5	0.44	0.43	-					
	板厚(S.W)	ts	0.5	0.46	0.44	-					
記号の定義											
特記事項	*1 2本の平均値										
	*2 BB12-1-2, BB12-2-2, BB12-3-1 同一レプリカによる測定										

## 拳動試験

試験体番号	BB12-3-1
-------	----------

試験条件	試験日時		室温拳動試験	高温拳動試験
	負荷モード		年月日	年月日
試験温度 T	°C			
軸力試験 δx	mm			
曲げ試験 θ	deg			
せん断試験 δy	mm			
内圧負荷試験 p	kg/cm²			
複合軸力試験 δx + p	mm			
複合曲げ試験 θ + p	deg			
複合せん断試験 δy + p	mm			

試験結果			室温			高温		
			試験	EJMA	FEM	試験	EJMA	FEM
軸バネ定数 Kx	kg/mm	4.02	4.45					
曲げバネ定数 Kθ	kg·mm/deg	*	9.88×10²					
せん断バネ定数 Kv	kg/mm	*	3.11					
軸変位による子午線方向最大歪 εm/δx	μ/mm		5.06					
曲げ変位による子午線方向最大歪 εm/θ	μ/deg		140.9					
せん断変位による子午線方向最大歪 εm/δy	μ/mm		179.9					
内圧による子午線方向最大歪 εm/p	μ/kg/cm²	*	244.0					

\* 試験結果については本文参照

座屈・クリープ座屈試験

試験体番号	BB12-3-1								
試験日時	昭和61年3月7日								
試験条件	温度 T	°C	R.T						
	初期変形 $\delta_x, \delta_y, \theta$	deg or mm	なし						
	昇圧時間 t	minute	—						
	予想座屈圧	kg/cm <sup>2</sup> G	EJMA	ルートバレジ スクワーム	8.1 0.9	R.I.	半ピッチ 1ピッチ	5.1 7.8	
	保持圧力 $p_h$ (クリープ座屈)	kg/cm <sup>2</sup> G	—						
	予想座屈時間 (クリープ座屈)	hr	—		等時応力ひずみ線図 ( $\epsilon = \mu \epsilon$ )				
試験結果	座屈圧力 $p_{cr}$	kg/cm <sup>2</sup> G	3.0						
	座屈時間 $t_{cr}$ (クリープ座屈)	hr	—						
	昇圧速度 $\dot{p}$	kg/cm <sup>2</sup> /sec	—						
	最大ひずみ 0.2%ひずみ発生相当 の圧力を加えた時	$\mu \epsilon$ $p = 2.9$	Max.	Min.	Mean	Max. Mean			
	座屈形状	スクワーム							
	座屈後の変形写真								
	特記事項								

試験体番号	BB12-4-1	試験期間	S60年月日～年月日		
配管ベローズ座屈試験データシート					
材料仕様	適用規格 JIS G4307	材質 SUS316	板厚 0.8	熱処理条件 NS	
ベローズ製作	メーカー 東京螺旋	成型方法 液圧	製造年月日 S60.1.1.3	製造番号 PNC 86-0080N-8	
熱処理	1050°C, 12分, 水冷				
機械試験結果 (ベローズ) 熱処理後	0.2%耐力 (*1 22.3)	引張強さ (*1 61.5)	綫弾性係数 (*2 2.65×10 <sup>4</sup> )	伸び (*1 48.2)	ブリネル硬さ (HB)
供試体 (ベローズ)	測定箇所	公称値 (mm)	実測値 (mm)		
			Max.	Min.	Mean
	全長 L	104.8	104.1	103.9	104.0
	谷内径 D <sub>i</sub>	30.04	30.10	30.00	30.06
	山高 H	17.2	17.5	17.1	17.3
	ピッチ q	16.	16.5	15.0	15.9
	タンジェント TR	8.6	8.7	8.6	8.7
	長さ TL	8.6	8.6	8.5	8.5
	谷幅 S <sub>r</sub>	7.2	7.2	6.8	7.0
	山幅 S <sub>c</sub>	7.2	7.4	7.0	7.2
コンボリューション	板厚(谷) t <sub>r</sub>	0.8	0.76	0.73	0.75
	板厚(山) t <sub>c</sub>	0.8	0.71	0.71	0.71
	板厚(S.W) t <sub>s</sub>	0.8	0.74	0.74	0.74
	山数 N		7		
形状,寸法	層数 n		1		
	記号の定義				
	*1 2本の平均値				
	*2 同一コイル同一熱処理材による再試験				

## 拳動試験

試験体番号	BB12-4-1
-------	----------

試験条件	室温拳動試験		高温拳動試験	
	試験日時	年月日	年月日	
負荷モード				
試験温度 T	°C			
軸力試験 δx	mm			
曲げ試験 θ	deg			
せん断試験 δy	mm			
内圧負荷試験 p	kg/cm²			
複合軸力試験 δx + p	mm			
複合曲げ試験 θ + p	deg			
複合せん断試験 δy + p	mm			

試験結果		室温			高温		
		試験	EJMA	FEM	試験	EJMA	FEM
軸バネ定数 Kx	kg/mm	68.0	76.9				
曲げバネ定数 Kθ	kg·mm/deg	*	1.71×10⁴				
せん断バネ定数 Kv	kg/mm	*	965				
軸変位による子午線方向最大歪 εm/δx	μ/mm		355.1				
曲げ変位による子午線方向最大歪 εm/θ	μ/deg		990.4				
せん断変位による子午線方向最大歪 εm/δy	μ/mm		5411.0				
内圧による子午線方向最大歪 εm/p	μ/kg/cm²	*	98.8				

\* 試験結果については本文参照

## 座屈・クリープ座屈試験

試験体番号	BB12-4-1
-------	----------

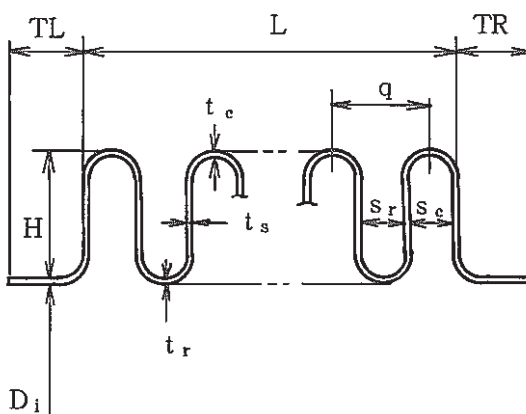
試験日時			昭和61年2月24日					
試験条件	温度 T	°C	R. T					
	初期変形 $\delta x, \delta y, \theta$	deg or mm	なし					
	昇圧時間 t	minute	—					
	予想座屈圧	kg/cm² G	EJMA	ルート・シレジ スクワーム	20.5 66.2	R. I.	半ピッチ 1ピッチ	13.1 19.9
	保持圧力 $p_h$ (クリープ座屈)	kg/cm² G	—					
	予想座屈時間 (クリープ座屈)	hr	—	等時応力ひずみ線図 ( $\epsilon = \mu \epsilon$ )				

試験結果	座屈圧力 $p_{cr}$	kg/cm² G	20.2				
	座屈時間 $t_{cr}$ (クリープ座屈)	hr	—				
	昇圧速度 $\dot{p}$	kg/cm²/sec	—				
	最大ひずみ 0.2%ひずみ発生相当 の圧力を加えた時	$\mu \epsilon$ $p = 9.52$	Max. -1936	Min. -729	Mean -1333	Max. Mean 1.45	
	座屈形状	ルート・バルジ					
	座屈後の変形写真						
	特記事項						

試験体番号	BB12-5-1	試験期間	S60年月日～年月日
-------	----------	------	------------

## 配管ベローズ座屈試験データシート

供試体 (ベローズ)	材料仕様	適用規格	材質	板厚	熱処理条件	ミルシートNo					
	ベローズ 製作	JIS G4307	SUS316	1.0	N.S	N.S					
		メーク	成型方法	製造年月日	製造番号	PNC					
	東京螺旋	液圧	S60.12.13	*2 86-0080N -9							
	熱処理	1050°C, 12分, 水冷									
	機械試験結果 (ベローズ) (熱処理後)	0.2%耐力 (kg/mm²)	引張強さ (kg/mm²)	縦弾性係数 (kg/mm³)	伸び (%)	ブリネル硬さ (HB)					
		*1 23.9	*1 66.9	*2 2.12×10⁴	*1 51.1	-					
	コンボリューション	測定箇所	公称値 (mm)	実測値 (mm)							
				Max.	Min.	Mean					
		全長 L	105	105.7	105.1	105.4					
		谷内径 Di	300	301.0	300.0	300.3					
		山高 H	17	17.5	17.1	17.3					
		ピッチ q	16	16.5	15.0	16.0					
		タンジェント TR	8.5	8.7	8.5	8.6					
		長さ TL	8.5	8.6	8.5	8.6					
		谷幅 Sr	7.0	7.0	6.6	6.7					
		山幅 Sc	7.0	7.3	6.9	7.1					
	形状,寸法	板厚(谷) tr	1.0	0.97	0.97	0.97					
		板厚(山) tc	1.0	0.92	0.94	0.93					
		板厚(S.W) ts	1.0	0.96	0.97	0.965					
		山数 N		7							
	記号の定義	層数 n		1							
特記事項	*1 2本の平均値										
	*2 同一コイル, 同一熱処理材による再試験										



## 拳動試験

試験体番号	BB12-5-1
-------	----------

試験条件件	試験日時		室温拳動試験	高温拳動試験
	負荷モード		年月日	年月日
	試験温度 T	℃		
	軸力試験 $\delta_x$	mm		
	曲げ試験 $\theta$	deg		
	せん断試験 $\delta_y$	mm		
	内圧負荷試験 p	kg/cm²		
	複合軸力試験 $\delta_x + p$	mm		
	複合曲げ試験 $\theta + p$	deg		
	複合せん断試験 $\delta_y + p$	mm		

試験結果		軸バネ定数 Kx	室温		高温	
			試験	EJMA	FEM	試験
	曲げバネ定数 $K\theta$	kg·mm/deg	*	$328 \times 10^4$		
	せん断バネ定数 Kv	kg/mm	*	1860		
	軸変位による子午線方向最大歪 $\epsilon_m/\delta_x$	$\mu/mm$		491.3		
	曲げ変位による子午線方向最大歪 $\epsilon_m/\theta$	$\mu/deg$		1372.0		
	せん断変位による子午線方向最大歪 $\epsilon_m/\delta_y$	$\mu/mm$		7486.5		
	内圧による子午線方向最大歪 $\epsilon_m/p$	$\mu/kg/cm^2$	*	65.1		

\* 試験結果については本文参照

## 座屈・クリープ座屈試験

試験体番号	BB12-5-1								
試験日時	昭和61年3月31日								
試験条件	温度 T	℃	R. T						
	初期変形 $\delta_x, \delta_y, \theta$	deg or mm	なし						
	昇圧時間 t	minute	—						
	予想座屈圧	kg/cm <sup>2</sup> G	EJMA	ルートバレジ スクワーム	31.5 127.9	R. I.	半ピッチ 1ピッチ	20.5 31.1	
	保持圧力 p <sub>h</sub> (クリープ座屈)	kg/cm <sup>2</sup> G	—						
	予想座屈時間 (クリープ座屈)	h r	—		等時応力ひずみ線図 ( $\epsilon = \mu \epsilon$ )				
試験結果	座屈圧力 p <sub>cr</sub>	kg/cm <sup>2</sup> G	32.0						
	座屈時間 h <sub>cr</sub> (クリープ座屈)	h r	—						
	昇圧速度 $\dot{p}$	kg/cm <sup>2</sup> /sec	—						
	最大ひずみ 0.2%ひずみ発生相当 の圧力を加えた時	$\mu \epsilon$ $p=16.02$	Max. -2036	Min. -544	Mean -1290	Max. Mean 1.58			
	座屈形状	ルートバルジ							
	座屈後の変形写真								
	特記事項								